



محله دانشگاه پزشکی اصفهان

شماره استاندارد بین المللی: ۱۰۲۷-۷۵۹۵
شماره استاندارد آنلاین: ۱۷۳۵-۸۵۴۸

هفته‌نامه

سال سی و سوم / شماره ۳۴۹ / هفته اول آبان ۱۳۹۴

JOURNAL OF
ISFAHAN MEDICAL SCHOOL



Print ISSN: 1027-7595
Online ISSN: 1735-854x

Weekly Vol. 33, No. 349, 1st Week, November 2015

مقالات‌های پژوهشی

- ارزیابی خواص ساختاری و رفتار سلولی داریست الکتروریزی شده آلبومی پلی(هیدروکسی بوتیرات)/کیتوسان به منظور کاربرد در مهندسی بافت غضروف ۱۴۴۱
داده صادقی، دکتر سعید کرباسی، دکتر شاهین بنکدار، دکتر شهناز رضوی
بررسی تأثیر آهن و روژیم غذایی پر کلسترول بر آپوپتوز در شکنج دندانه‌دار از تشکیلات هایپوکامب ۱۴۵۹
دکتر علام‌حساً دشتی، دکتر بهمن رشیدی، دکتر پریهام رئیسی، لیلا راه‌افروز
بررسی تأثیر پیش داروی خوراکی آپرازولام بر کنترل فشار خون بیماران مبتلا به پرفشاری خون حین عمل جراحی ۱۴۶۸
دکتر پروین ساجدی، مرتضی رضایی
افزایش ایمنی زایی ساقی‌ی پروتئین هماگلوبولین ویروس انفلوآنزا در همراهی با پروتئین شوک حرارتی Leishmania major ۱۴۷۵
سعیده صادقی نشاط، دکتر بهرج فرهنگ، دکتر زهراء کیان‌مهر، سیمہ زمانی، مریم صالح، دکتر فاطمه قتوحی

نامه به سردبیر

- وضعیت نظام مراقبت بیماری سرخک در کشور ایران در سال ۱۳۹۳ ۱۴۸۷
سلمان خزایی، حمید صالحی‌نیا، رضا پاکزاد، عبدالله محمدیان‌فشنجانی

Original Articles

- Evaluation of the Structural Properties and Cellular Behavior of Electrospun Poly(hydroxybutyrate)/Chitosan Blend Scaffolds for Cartilage Tissue Engineering 1458
Davoud Sadeghi MSc, Saeed Karbasi PhD, Shahin Bonakdar PhD, Shahnaz Razavi PhD
The Effect of Iron and Cholesterol on Neuronal Apoptosis in Dentate Gyrus of Hippocampus in Rabbits Fed with High-Cholesterol Diet 1467
Gholam Reza Dashti PhD, Bahman Rashidi PhD, Parham Reisi PhD, Leila Rah-Afrouz
Cotimparative Evaluation of Oral Alprazolam, as Premedication, on Controlling Blood Pressure in Hypertensive Patients during Surgery 1474
Parvin Sajedi MD, Mortaza Rezaie
Immunogenicity Enhancement of Influenza Virus Stalk Domain Using Leishmania Major Heat Shock Protein, One Step Closer to Universal Vaccine 1486
Saeideh Sadeghi Neshat MSc, Behrokh Farahmand PhD, Zahra Kianmehr PhD, Somayeh Zamani MSc, Maryam Saleh MSc, Fatemeh Fotouhi PhD

Letter to Editor

- The Status of Iran Measles Surveillance System in 2014 1490
Salman Khazaei MSc, Hamid Salehinya MSc, Reza Pakzad MSc, Abdollah Mohammadian-Hafshejani MSc



محله دانشکده پزشکی اصفهان

سال سی و سوم، شماره (۳۴۹)، هفته اول آبان ۱۳۹۴

صاحب امتیاز:

دانشگاه علوم پزشکی و خدمات بهداشتی- درمانی استان اصفهان

مدیر مسؤول: دکتر منصور شعلهور

سردبیر افتخاری: دکتر رویا کلیشادی

سردبیر: دکتر مجید برکتین

معاون سردبیر: دکتر رضا روزبهانی

امور نشر:

(ویراستاری، صفحه آرایی، طراحی و چاپ)

شرکت فرزانگان راداندیش

اصفهان، صندوق پستی ۸۱۴۶۵-۱۷۹۸

تلفن و دورنگار: ۰۳۱-۳۶۶۸۶۳۰۲

f.radandish@gmail.com
www.farzaneganco.ir

تیراژ: ۵۰۰ نسخه

ناشر:

انتشارات دانشگاه علوم پزشکی اصفهان

نشانی: اصفهان، خیابان هزار جریب، دانشگاه علوم پزشکی اصفهان

E-mail: publications@mui.ac.ir

دفتر مجله: دانشکده پزشکی صندوق پستی: ۸۱۷۴۴/۱۷۶

مسئول دفتر: گلنazar رجبی

دورنگار: ۰۳۱-۳۷۹۲۲۲۹۱

تلفن: ۰۳۱-۳۶۶۹۴۷۳۷

E-mail: jims@med.mui.ac.ir

http://www.journals.mui.ac.ir/jims

وب سایت مجله:

این مجله در نمایه‌های بین‌المللی زیر در دسترس قرار دارد.

- | | |
|---|--|
| ■ Scopus | ■ Google Scholar |
| ■ Chemical Abstracts | ■ Index Copernicus |
| ■ Islamic World Science Citation Center (ISC) | ■ Directory of Open Access Journal (DOAJ) |
| ■ Academic Search Complete EBSCO Publishing databases | ■ Index Academicus |
| ■ WHO/EMRO/Index Medicus | ■ Scientific Information Database (www.sid.ir) |
| | ■ www.iranmedex.com |

کپیرایت: چاپ مطالب مندرج در این مجله به شرط ذکر منبع مجله بلامانع است.

تصاویر رنگی مقالات و کلیپهای ویدئویی بر روی وب سایت مجله قابل دسترسی می‌باشند

اعضای شورای نویسندگان مجله دانشکده پزشکی اصفهان (به ترتیب حروف الفبا)

نام و نام خانوادگی	مرتبه علمی
۱- دکتر مجتبی اطحی	دانشیار، متخصص گوش و حلق و بینی، دانشگاه علوم پزشکی اصفهان، اصفهان، ایران
۲- دکتر ابراهیم اسفندیاری	استاد، متخصص علوم تشریحی، دانشگاه علوم پزشکی اصفهان، اصفهان، ایران
۳- دکتر محمد اسماعیل اکبری	استاد، فوق تخصص جراحی، دانشگاه علوم پزشکی تهران، تهران، ایران
۴- دکتر فرامرز اسماعیل بیگی	استاد، متخصص داخلی، دانشکده پزشکی، آمریکا
۵- دکتر افسون امامی	دانشیار، فوق تخصص نفروЛОژی، دانشگاه علوم پزشکی اصفهان، اصفهان، ایران
۶- شاهین امامی	گروه بیوشیمی و غدد داخلی، بیمارستان سن آنتونیو، فرانسه
۷- دکتر علیرضا امامی	دانشیار، متخصص بیماری های عفونی و گرمسیری، دانشگاه علوم پزشکی اصفهان، اصفهان، ایران
۸- دکتر بابک امرا	استاد، فوق تخصص رید، دانشگاه علوم پزشکی اصفهان، اصفهان، ایران
۹- دکتر رضا امین	استاد، متخصص اطفال، دانشگاه علوم پزشکی شیراز، شیراز، ایران
۱۰- دکتر کن باست	استاد، متخصص بیماری های پوستی، مرکز تحقیقات پوست و لیشماینیوز، کانادا
۱۱- دکتر رضا باقریان سرارودی	استادیار، متخصص روانشناسی، دانشگاه علوم پزشکی اصفهان، اصفهان، ایران
۱۲- دکتر مجید برکتین	استاد، متخصص روانپزشکی، دانشگاه علوم پزشکی اصفهان، اصفهان، ایران
۱۳- فرزین پور فرزاد	گروه زیست شناسی سلوی و ژنتیک، دانشگاه اراسموس، روتردام، هلند
۱۴- دکتر مسعود پورمقدس	استاد، متخصص قلب و عروق، دانشگاه علوم پزشکی اصفهان، اصفهان، ایران
۱۵- دکتر احمد چیت‌ساز	دانشیار، متخصص داخلی اعصاب، دانشگاه علوم پزشکی اصفهان، اصفهان، ایران
۱۶- دکتر مینا حسن رضایی	متخصص نورو ایمونولوژی، دانشکده داروسازی، آمریکا
۱۷- دکتر سید مرتضی حیدری	دانشیار، متخصص بیوهوشی، دانشگاه علوم پزشکی اصفهان، اصفهان، ایران
۱۸- دکتر بهناز خانی	دانشیار، متخصص زنان و زایمان، دانشگاه علوم پزشکی اصفهان، اصفهان، ایران
۱۹- دکتر مجید خزاعی	دانشیار، متخصص فیزیولوژی، دانشگاه علوم پزشکی اصفهان، اصفهان، ایران
۲۰- دکتر حسن رزمجو	استاد، متخصص چشم، فلوشیپ ویتره و رتین، دانشگاه علوم پزشکی اصفهان، اصفهان، ایران
۲۱- دکتر رضا روزبهانی	استادیار، متخصص پزشکی اجتماعی، دانشگاه علوم پزشکی اصفهان، اصفهان، ایران
۲۲- دکتر مسعود سهیلیان	استاد، فلوشیپ ویتره و رتین، دانشگاه علوم پزشکی شهید بهشتی، تهران، ایران
۲۳- دکتر منصور شعلهور	دانشیار، متخصص قلب و عروق، دانشگاه علوم پزشکی اصفهان، اصفهان، ایران
۲۴- دکتر محمد رضا صفوی	استادیار، متخصص بیوهوشی، دانشگاه علوم پزشکی اصفهان، اصفهان، ایران
۲۵- دکتر خسرو عادلی	استاد، متخصص پاتولوژی، دانشگاه لویس ویل، آمریکا
۲۶- دکتر سعید عندیلی	متخصص بیماری های پوستی، دانشگاه علوم پزشکی اصفهان، اصفهان، ایران
۲۷- دکتر غلامرضا عسکری	دانشیار، متخصص پزشکی اجتماعی، دانشگاه علوم پزشکی اصفهان، اصفهان، ایران
۲۸- دکتر زیبا فرجزادگان	دانشیار، متخصص چشم، فلوشیپ ویتره و رتین، دانشگاه علوم پزشکی اصفهان، اصفهان، ایران
۲۹- دکتر حمید فشارکی	دکترای پرستاری، دانشگاه فلوریدا، آمریکا
۳۰- دکتر مرجانه فولادی	استاد، فوق تخصص جراحی قلب، کالیفرنیا، آمریکا
۳۱- دکتر علی قیصری	استاد، متخصص اورولوژی، کالیفرنیا، آمریکا
۳۲- دکتر منصور کارآموز	استاد، متخصص اطفال، دانشگاه علوم پزشکی اصفهان، اصفهان، ایران
۳۳- دکتر رویا کلشادی	دانشیار، فوق تخصص قلب و عروق، دانشگاه علوم پزشکی اصفهان، اصفهان، ایران
۳۴- دکتر جعفر گلشاهی	استاد، متخصص بیماری های پوستی، مرکز تحقیقات پوست و لیشماینیوز، کانادا
۳۵- دکتر عزیر گهری	دانشیار، فوق تخصص آسیب شناسی پزشکی، دانشگاه علوم پزشکی اصفهان، اصفهان، ایران
۳۶- دکتر پروین محزونی	استاد، متخصص چشم، دانشگاه علوم پزشکی تهران، تهران، ایران
۳۷- دکتر سید مهدی مدرس	دانشیار، متخصص علوم تشریحی، دانشگاه علوم پزشکی اصفهان، اصفهان، ایران
۳۸- دکتر محمد مردانی	استاد، متخصص جراحی اعصاب، دانشگاه علوم پزشکی اصفهان، اصفهان، ایران
۳۹- دکتر هوشنگ معین	استاد، متخصص غدد داخلی، مرکز تحقیقات غدد و متابولیسم، آمریکا
۴۰- دکتر ایله مغیثی	دانشیار، متخصص قلب و عروق، دانشگاه علوم پزشکی شهید بهشتی، تهران، ایران
۴۱- دکتر مجید ملکی	دانشیار، متخصص فیزیوتراپی، آمریکا
۴۲- دکتر محمد رضا نوربخش	استاد، متخصص قلب و عروق، دانشگاه علوم پزشکی تهران، تهران، ایران
۴۳- دکتر فریدون نوحی	استاد، متخصص قلب و عروق، دانشگاه علوم پزشکی شیراز، ایران
۴۴- دکتر علی محمد هنجنی	

راهنمای نویسنده‌گان مجله دانشکده پزشکی اصفهان

- اهداف و چشم انداز:** مجله دانشکده پزشکی اصفهان به صورت هفته‌نامه و تحت حمایت دانشگاه علوم پزشکی اصفهان منتشر می‌گردد.
- این مجله** مقالات اصلی و پژوهشی، معرفی، مقالات کوتاه، مقالات دارای امتیاز بازآموزی و نامه به سردبیر را منتشر می‌نماید و همچنین فیلم‌های آموزشی تهیه شده توسط محققین را بر روی وب سایت مجله قرار می‌دهد.
- پذیرش دست‌نوشته:** پذیرش دست نوشته‌ها و پیگیری‌های بعدی در این مجله فقط از طریق وب سایت اختصاصی آن به آدرس <http://www.journals.mui.ac.ir/jims> و پس از ثبت نام (Registration) در آن ممکن می‌باشد. همراه دست نوشته باید یک نامه تایپ شده (Covering letter) به سردبیر، شامل عنوان و اسمی نویسنده یا نویسنده‌گان و اعلام این که این دست نوشته در مجلات دیگر چاپ نشده است و یا هم‌زمان در حال بررسی نمی‌باشد، ارسال گردد.
- دست‌نوشته** باید توسط نرم‌افزار MS Word در سایز A4 و فاصله خطوط دو برابر (Double Spaced) با حاشیه‌های ۲/۵ سانتی‌متری تهیه شوند. جداول بدون حاشیه خارجی و تصاویر در فرمت GIF و JPEG و در تعداد محدود باشند. ارسال مدارک با فرمت PDF به هیچ عنوان پذیرفته نیست.
- دست نوشته** باید شامل صفحه عنوان، چکیده، مقدمه، روش‌ها، یافته‌ها، بحث، تقدیر و تشکر و منابع باشد.
صفحه عنوان: این صفحه باید شامل عنوان کامل، عنوان مکرری، اسمی نویسنده یا نویسنده‌گان با بالاترین مدرک تحصیلی، گروه یا بخش یا مؤسسه محل فعالیت ایشان و همچنین آدرس، تلفن، فاکس و پست الکترونیکی نویسنده مسؤول باشد. ذکر منابع مالی و اعتباری طرح پژوهشی در این صفحه ضروری است.
- چکیده:** تمام مقالات اصلی باید دارای چکیده مقاله به دو زبان فارسی و انگلیسی با حداقل ۲۵۰ کلمه باشد. چکیده باید شامل بخش‌های سابقه علمی موضوع، روش‌ها، یافته‌ها و بحث باشد. در پایان چکیده مقاله ۳-۵ کلمه کلیدی قرار می‌گیرد که تنها با استفاده از راهنمای MESH در آدرس (<http://nlm.nih.gov/mesh/MBrowser.html>) استخراج گردد.
- مقدمه و معرفی:** در این بخش اهداف و علل انجام مطالعه آورده می‌شود؛ بنابراین نیازی به ارائه گستره مطالب موجود در متون علمی نیست. در این بخش باید از ارائه اطلاعات، یافته‌های و نتایج مطالعه خودداری گردد.
- روش‌ها:** این بخش شامل ارائه دقیق مشاهدات، مداخلات و روش‌های مورد استفاده در مطالعه است. اگر روش مورد استفاده شناخته شده است فقط منبع آن ذکر گردد اما اگر روشی نوین است، باید به صورتی توضیح داده شود که برای سایر محققان قابل درک و به طور عینی قابل انجام و تکرار باشد. در صورت استفاده از دستگاه و تجهیزات خاص باید نام، نام کارخانه سازنده و آدرس آن در پرانتز ذکر گردد. اگر از دارو در مطالعه استفاده شده است باید نام ژنریک، دوز و روش مصرف آن آورده شود. در مورد افراد و بیماران تحت مطالعه باید جنس و سن (همراه انحراف معیار) آورده شود. در مورد نرم‌افزارها و سیستم‌های کامپیوتری باید سال و ویرایش آن در پرانتز و پس از نام آن ذکر گردد. در صورتی که مطالعه دارای پرسشنامه یا چک لیست است، ضمیمه کردن آن لازم است؛ در مورد پرسشنامه‌های استاندارد ذکر نام و مرجع آن کافی است.
- یافته‌ها:** این بخش به صورت متن همراه با جدول‌ها، شکل‌ها و نمودارها ارائه می‌گردد. محتوای جداول باید به صورت کامل در متن ارائه شوند، بلکه کافی است با ذکر شماره جدول، شکل و یا نمودار به آنها اشاره شود. جدول‌ها، نمودارها و شکل‌ها هر کدام باید در یک صفحه جداگانه و پس از منابع، در پایان دست‌نوشته آورده شوند. در این بخش فقط یافته‌ها ارائه می‌شود و باید از ذکر دلایل و استدلال‌های مرتبط با آن خودداری گردد.
- بحث:** در این بخش در ابتداء به یافته‌های مهم اساسی مطالعه و سپس تشابه و تفاوت‌های آن با یافته‌های سایر پژوهشگران در مطالعات مشابه اشاره می‌گردد. ذکر جزئیات کامل یافته‌ها در این بخش لازم نیست. تأکید بر یافته‌های جدید و با اهمیت مطالعه حاضر و دستاوردهای آن در این قسمت ضروری است. ذکر این که فرضیه ارائه شده در مطالعه صحیح یا نادرست بوده، یا این که دلایل کافی برای رد یا قبول آن به دست نیامده است، ضروری می‌باشد. هدف این بخش، ذکر دلیل اصلی انجام تحقیق، تحلیل و تفسیر یافته‌ها و همچنین نتیجه‌گیری کلی (Conclusion) است.

۱۱- **تقدیر و تشکر:** تمام افرادی که به نحوی در انجام مطالعه نقش داشته ولی جزء نویسنده‌گان نبوده‌اند باید در این بخش مورد تقدیر قرار گیرند؛ از جمله کسانی که کمک‌های فنی، نوشتاری و مالی داده و همچنین سرپرستان و مدیران بخش‌های محل انجام مطالعه که در امر پشتیبانی‌های عمومی در اجرای تحقیق فعالیت داشته‌اند.

۱۲- **جدول‌ها:** تعداد محدود جدول با توجه به حجم مطالعه و مقاله، همراه با ذکر عنوان آن در بالای جدول مورد قبول خواهد بود. ارسال جداول فقط تحت نرم‌افزار MSWord مورد قبول است. توضیحات اضافی درخصوص محتوای جداول باید به صورت بی‌نوشته و در پایین جدول باشد. جدول‌ها باید در صفحات جداگانه و در پایان دست نوشته (پس از منابع) قرار داده شوند.

۱۳- **شکل‌ها:** تعداد محدود شکل همراه ذکر عنوان آن در زیر شکل یا نمودار و با فرمت GIF و JPEG قابل قبول است. اطلاعات موجود در شکل‌ها یا نمودارها باید به طور کاملاً مشابه در جدول‌ها و یا متن مقاله ذکر شده باشند.

۱۴- **منابع:** نویسنده باید از صحت اشاره منابع ذکر شده به مطالب مورد استناد مطمئن باشد. ساختار منابع در این مجله بر اساس Uniform Requirements for Manuscripts Submitted to Bio Medical Journals (ICMJE) و نکور (Vancouver) می‌باشد. تمامی منابع باید به زبان انگلیسی باشد، ترجمه متن منابع فارسی به عهده نویسنده است و در پایان آن عبارت [Persian] خواهد آمد. موارد ذیل برای نمونه ذکر می‌گردند:

اگر منبع مورد نظر مقاله است:

نام خانوادگی نویسنده، حرف اول نام کوچک نویسنده، عنوان مقاله، مخفف نام مجله (بر اساس Medline)، سال انتشار، شماره‌ی انتشار، شماره‌ی مجله، شماره‌ی صفحات. مثال:

(EN): Inser N. Treatment of calcific aortic stenosis. Am J Cardiol 1987; 59(6): 314-7.
(FA): Zini F, Basiri Jahromo Sh. Study of fungal infections in patients with leukemia. Iranian journal of public health 1994; 1(4):89-103.[Persian].

(چنانچه تعداد نویسنده‌گان ۶ نفر یا کمتر باشد، ذکر اسمی آن‌ها ضروری است. اگر تعداد آن‌ها ۷ نفر یا بیشتر باشد، پس از ۶ نفر، عبارت "et al." استفاده شود).

اگر منبع مورد نظر کتاب است:

نام خانوادگی و حرف اول نام کوچک نویسنده (نویسنده‌گان). عنوان کتاب. نوبت چاپ. محل نشر: ناشر؛ سال انتشار. p. شماره صفحات (نام نویسنده‌گان با علامت کاما از هم جدا شود). مثال:

(EN): Romenes GJ. Cunningham's manual. 15th ed. New York: Oxford Univ Press; 1987.p.43-5.
(FA): Azizi F, Janghorbani M, Hatami H. Epidemiology and control of common disorders in Iran. 2nd ed. Tehran: Eshtiagh Publication; 2000.p.558.[Persian].

اگر منبع مورد نظر فصلی از کتاب است:

نام خانوادگی و حرف اول نام کوچک نویسنده (نویسنده‌گان) آن فصل. عنوان فصل مورد نظر. در: نام خانوادگی و حرف اول نام تدوین کننده‌ی کتاب. عنوان کتاب. نوبت چاپ. محل نشر: نام ناشر؛ سال انتشار. p. صفحات. مثال:

(EN): Bodly L, Bailey Jr. Urinary tract infection. In: Tailor R, editor. Family medicine. 6th ed. New York: Springer; 2003.p. 807-13.

۱۵- **نمونه‌خوانی (Proofreading):** یک نسخه از مقاله پیش از چاپ جهت انجام اصلاحات ضروری و بر طرف کردن اشکالات احتمالی برای نویسنده مسؤول ارسال می‌گردد که لازم است در کوتاه‌ترین زمان تغییرات مورد نظر مجله انجام داده، از طریق وب‌سایت مجله ارسال نماید.

۱۶- **اختصارات و نشانه‌ها:** تنها از اختصارات و نشانه‌های استاندارد استفاده شود و از ذکر عبارت‌های مخفف در عنوان و خلاصه مقاله خودداری گردد.

۱۷- توضیح کامل در مورد هر کدام از عبارت‌های اختصاری برای اولین بار در متن آورده شود، مگر این که مربوط به مقیاس‌ها و مقادیر استاندارد شناخته شده باشد.

۱۸- پس از چاپ، یک نسخه از مجله برای نویسنده مسؤول ارسال خواهد شد.

- ۱۹- **ملاحظات اخلاقی**: این ملاحظات باید در بخش روش‌ها اشاره گردد. اخذ رضایت‌نامه از کلیه‌ی افراد بالغ شرکت کننده در مطالعه ضروری است و در مورد کودکان و افراد تحت تکفل باید از ولی قانونی آنها اخذ شود. ذکر منبع تأیید کننده ملاحظات اخلاقی مطالعه لازم است. هنگام استفاده از حیوانات آزمایشگاهی ذکر رعایت و مقررات استاندارد مربوط لازم است.
- ۲۰- **تداخل منافع (Conflict of Interest)**: نویسنده یا نویسنده‌گان باید هر گونه ارتباط مالی مانند دریافت هزینه، حق‌الزحمه، مواد و تجهیزات از دانشگاه‌ها، سازمان‌ها، نهادها، شرکت‌ها و سایر منابع که انتشار یافته‌های مطالعه می‌تواند به آنها سود یا زیان برساند را اعلام نمایند.
- ۲۱- **هزینه چاپ**: هیچ گونه هزینه‌ای برای چاپ مقالات در این مجله دریافت نمی‌شود.
- ۲۲- **حق نسخه‌برداری (Copyright)**: تمامی محتویات مجله دانشکده پژوهشی اصفهان تحت قانون حق نسخه‌برداری بین‌المللی قرار دارد. این مجله برای استفاده غیر تجاری در اختیار افراد قرار می‌گیرد. اصلاح، انتشار، انتقال و نمایش هر گونه محتویات مجله بدون ذکر نام این مجله ممنوع است.
- ۲۳- **فرآیند مرور دقیق (Peer Review)**: تمام دست‌نوشته‌ها توسط حداقل ۳ نفر از داوران منتخب شورای نویسنده‌گان مجله مورد بررسی دقیق قرار می‌گیرد. نویسنده‌ی مسؤول در کوتاه‌ترین زمان در جریان تصمیم سردبیر در مورد رد، قبول یا اصلاحات مورد نظر داوران و هیأت تحریریه قرار خواهد گرفت. در صورت پذیرش مقاله برای چاپ، نامه پذیرش به همراه ایمیل برای نویسنده‌ی مسؤول ارسال می‌شود و مقاله در نوبت چاپ قرار خواهد گرفت.
- ۲۴- هیأت تحریریه در رد، اصلاح، ویرایش و خلاصه کردن مقاله آزاد است.
- ۲۵- مسؤولیت صحت یا سقم مطالب ارائه شده در مقاله بر عهده‌ی نویسنده یا نویسنده‌گان است.

فهرست مطالب

مقالات‌های پژوهشی

- ارزیابی خواص ساختاری و رفتار سلولی داربست الکتروریسی شده آلیاژی پلی(هیدروکسی بوتیرات)/کیتوسان به منظور کاربرد در مهندسی بافت غضروف..... ۱۴۴۱ داود صادقی، دکتر سعید کرباسی، دکتر شاهین بنکدار، دکتر شهرناز رضوی
- بررسی تأثیر آهن و رژیم غذایی پر کلسیترول بر آپوپتوز در شکنجه دندانه‌دار از تشکیلات هایپوکامپ..... ۱۴۰۹ دکتر غلامرضا دشتی، دکتر بهمن رشیدی، دکتر پرham رئیسی، لیلا رهافروز
- بررسی تأثیر پیش داروی خوراکی آپرازولام بر کنترل فشار خون بیماران مبتلا به پرفشاری خون حین عمل جراحی..... ۱۴۶۸ دکتر پروین ساجدی، مرتضی رضایی
- افزایش ایمنی زایی ساقه‌ی پروتئین هماگلوتینین ویروس انفلوآنزا در همراهی با پروتئین شوک حرارتی **Leishmania major**. گامی در جهت ساخت واکسن واحد..... ۱۴۷۵ سعیده صادقی نشاط، دکتر زهرا کیان‌مهر، سمیه زمانی، مریم صالح، دکتر فاطمه فتوحی

نامه به سردبیر

- وضعیت نظام مراقبت بیماری سرخک در کشور ایران در سال ۱۳۹۳ ۱۴۸۷ سلمان خزایی، حمید صالحی‌نیا، رضا پاکزاد، عبداله محمدیان هفشنگانی

ارزیابی خواص ساختاری و رفتار سلولی داربست الکتروریسی شده آلیاژی پلی(هیدروکسی بوتیرات) / کیتوسان به منظور کاربرد در مهندسی بافت غضروف

داود صادقی^۱، دکتر سعید کرباسی^۲، دکتر شاهین بنکدار^۳، دکتر شهرناز رضوی^۴

مقاله پژوهشی

چکیده

مقدمه: دستیابی به داربستی با خواص مطلوب، یکی از چالش‌های پیش روی مهندسی بافت می‌باشد. پلی‌هیدروکسی بوتیرات (PHB) یا Polyhydroxybutyrate پلیمری است که به دلیل داشتن خواص مناسب نظری زیست‌سازگاری خوب و استحکام مکانیکی بالا در مقایسه با سایر پلیمرها، به تازگی مورد توجه محققین قرار گرفته است. البته، خواصی نظری آبدوستی کم و تردی آن باعث می‌شود تا به صورت خالص برای ساخت داربست مهندسی بافت غضروف مناسب نباشد. از جمله راهکارهای حل این مشکل، آلیاژسازی آن با سایر پلیمرهاست. هدف از انجام این پژوهش، تهییه داربست‌های الکتروریسی شده آلیاژی پلی‌هیدروکسی بوتیرات/کیتوسان و بررسی خواص ساختاری و رفتار سلولی آن‌ها بود.

روش‌ها: ابتدا محلول‌های پلیمری PHB با استفاده از حلال تری‌فلورواستیک اسید (TFA) یا Trifluoroacetic acid با تهییه و الکتروریسی شد. پس از بهینه‌سازی پارامترها، جهت بهبود خاصیت آبدوستی و استحکام مکانیکی، کیتوسان با درصدهای مختلف به محلول پلیمری اضافه و الکتروریسی شد. به منظور ارزیابی داربست‌ها، از تصویربرداری میکروسکوپ الکترونی (SEM یا Scanning electron microscope)، آزمون استحکام کششی، آنالیز طیف‌سنجدی با پرتو مادون قرمز به روش تبدیل فوریه (Fourier transform infrared یا FTIR) و تخلخل‌سنجدی استفاده شد. سپس با توجه به نتایج، داربست‌های حاوی ۱۵ و ۲۰ درصد کیتوسان به عنوان داربست‌های بهینه انتخاب شد و تحت آزمون‌های سلولی با استفاده از سلول‌های کندروسیت خرگوش قرار گرفت.

یافته‌ها: تصاویر میکروسکوپ الکترونی نشان داد که بهترین داربست، از نظر یکنواختی قطر الیاف، با استفاده از محلول PHB با غلظت ۹ درصد وزنی و با ولتاژ ۲۱ کیلوولت و در فاصله‌ی ۱۵ سانتی‌متری بین سر سوزن و صفحه‌ی جمع‌کننده به دست می‌آید؛ داربست‌های حاوی ۱۰، ۱۵ و ۲۰ درصد کیتوسان الیاف یکنواخت‌تری نسبت به داربست ۵ درصد داشتند. با توجه به نتایج سایر آزمون‌ها مشخص شد که نمونه‌های حاوی ۱۵ و ۲۰ درصد کیتوسان، از خواصی بهینه برخوردارند. تصاویر میکروسکوپ الکترونی نشان‌دهنده‌ی چسبندگی مناسب سلول‌های کندروسیت بر روی این داربست‌ها بود.

نتیجه‌گیری: با افزودن کیتوسان به PHB می‌توان خواص مکانیکی و بیولوژیک و آبدوستی داربست‌های PHB را بهبود بخشید.

وازگان کلیدی: مهندسی بافت غضروف، پلی‌هیدروکسی بوتیرات، کیتوسان، الکتروریسی

ارجاع: صادقی داود، کرباسی سعید، بنکدار شاهین، رضوی شهرناز. ارزیابی خواص ساختاری و رفتار سلولی داربست الکتروریسی شده آلیاژی پلی(هیدروکسی بوتیرات)/کیتوسان به منظور کاربرد در مهندسی بافت غضروف. مجله دانشکده پزشکی اصفهان ۳۳؛ ۱۳۹۴: ۱۴۴۱-۱۴۵۸ (۳۴۹).

۱- کارشناس ارشد، گروه بیومواد، نانوتکنولوژی و مهندسی بافت، دانشکده‌ی فناوری‌های نوین پزشکی، دانشگاه علوم پزشکی اصفهان، اصفهان، ایران

۲- دانشیار، گروه بیومواد، نانوتکنولوژی و مهندسی بافت، دانشکده‌ی فناوری‌های نوین پزشکی، دانشگاه علوم پزشکی اصفهان، اصفهان، ایران

۳- استادیار، بانک سلولی ایران، اسستیو پاسیور ایران، تهران، ایران

۴- استاد، گروه علوم تشریحی، دانشکده‌ی پزشکی، دانشگاه علوم پزشکی اصفهان، اصفهان، ایران

نویسنده‌ی مسؤول: داود صادقی

ساختاری مشابه با بافت یا ارگان طبیعی می‌باشد. در این روش، به طور معمول، داربستی سه بعدی به منظور شبیه‌سازی زمینه‌ی برون سلولی طبیعی برای چسبندگی اولیه‌ی سلول‌ها (Initial cell attachment) به سطح، و نیز تکثیر سلولی (Proliferation) استفاده می‌شود (۴). در مهندسی بافت، سلول‌ها بر روی داربستی سه بعدی کشت می‌شوند که در نهایت، این داربست به طور کامل تخریب می‌شود و بافت جدید جایگزین آن می‌شود. بنا بر این، خطر وجود یک جسم خارجی در محل کاشت و التهابات شدید ناشی از آن از بین می‌رود (۴).

تاکنون بسیاری از پلیمرها و سرامیک‌های زیست‌تخریب‌پذیر به عنوان داربست‌های زیست‌سازگار در مهندسی بافت استفاده شده‌اند (۵-۶).

در بین پلیمرهای زیست‌تخریب‌پذیر، پلی‌هیدروکسی‌آلکانوآتها به دلیل زیست‌تخریب‌پذیری و سازگاری بهتر، همراه با خواص فیزیکی و مکانیکی مناسب، بیشتر مورد توجه قرار گرفته است. این گروه پلی‌استری، توسط میکروارگانیسم‌ها به روش‌های متفاوت سنتز و تولید می‌شود (۷-۸). پلی‌هیدروکسی‌بوتیرات (PHB) یا (Polyhydroxybutyrate)، از جمله پلیمرهای جدید این خانواده می‌باشد که بیشتر مورد توجه مهندسان بافت قرار گرفته است (۹). از جمله مزایای این پلیمر، می‌توان به زیست‌سازگاری به نسبت خوب و استحکام مکانیکی بالا در مقایسه با سایر پلیمرها اشاره نمود، اما در کنار مزایایی که این پلیمر دارد، معایبی نظیر آب‌دوستی کم و نرخ تخریب پایین آن، باعث محدود شدن کاربرد آن در مهندسی بافت می‌شود (۱۰-۱۱).

مقدمه

آسیب دیدن و یا از دست رفتن بافت‌های بدن، از جمله بافت غضروف، در اثر عواملی همچون بیماری‌ها و صدمات، یکی از مشکلات مهم سلامت بشری می‌باشد. بافت غضروف به دلیل نداشتن رگ خونی و عصب، دارای خاصیت خود ترمیمی اندکی است و در مواردی که به هر دلیل، آسیبی به آن وارد آید، ضایعه‌ای ماندگار و یا طولانی مدت به جای می‌گذارد که بسته به مورد، باعث ایجاد ناتوانی و یا ساختار و شکل نامتناسب در عضو می‌گردد. در حال حاضر، انواع مختلفی از پیوند غضروف، شامل استفاده از غضروف خود فرد (Autograft)، استفاده از غضروف فرد دیگر (Allograft) و استفاده از بافت غضروفی حیوانات (Xenograft)، جهت درمان آسیب‌های وسیع غضروفی استفاده می‌شود. البته هر کدام از این روش‌ها، در کنار مزایایی که دارند، معایبی نیز دارند که کاربرد آن‌ها را با محدودیت روبرو می‌کند.

مهندسى بافت، رویکردن نوین است که در سال‌های اخیر، به منظور برطرف نمودن این محدودیتها و بازسازی بافت‌های آسیب دیده، مورد توجه قرار گرفته است. طبق تعاریف رایج، مهندسی بافت علمی چند دانشی است که اصول مهندسی و علوم طبیعی را به منظور ساخت و توسعه‌ی جایگزین‌های بیولوژیکی به کار می‌برد تا بافت‌های بدن را ترمیم یا بازسازی کند و یا عملکرد آن‌ها را بازگرداند و یا بهبود بخشد (۱-۳).

مهندسى بافت، شامل رشد دادن سلول‌های خاص درون یک زمینه‌ی برون سلولی (Extracellular matrix) به منظور پدید آوردن

مکانیکی و رفتار سلول‌های کندروسیت بر روی آن‌ها مورد ارزیابی قرار گرفت.

روش‌ها

پودر پلی(۳-هیدروکسی بوتیرات) (M_w = ۳۰۰۰۰, CAS number = ۳-۰۰-۲۶۰۶۳) با منشأ طبیعی و کیتوسان با وزن مولکولی متوسط و درجهٔ دیاستیلاسیون ۷۵-۸۵ درصد از شرکت Sigma Aldrich ایالات متحدهٔ آمریکا خریداری شد. تری‌فلورواستیک اسید با درصد خلوص بیش از ۹۹ درصد و دانسیتهٔ ۱/۴۹ گرم بر میلی‌لیتر از شرکت Carlo Erba خریداری شد. محیط‌های کشت (Dulbecco's modified eagle medium) DMEM و F12 از شرکت Ham's GIBCO اسکاتلند خریداری شدند.

همچنین، سرمه جنین گاوی (FBS) یا 3-(4,5-Dimethylthiazol-2-yl)-2,5-diphenyltetrazolium bromide تهیه شد. پودر MTT از شرکت Seromed آلمان تهیه شد. نرم افزار MiniTab 16 استفاده شد. همچنین، به منظور آنالیز تصاویر، از نرم افزار Image J 1.44p استفاده گردید.

ساخت داربست‌های آلیاژی الکتروریسی شده: ابتدا جهت بهینه‌سازی عوامل تأثیرگذار بر خواص داربست‌ها نظری غلط، ولتاژ و فاصله، محلول‌های PHB با غلظت‌های مختلف الکتروریسی شد. به این منظور، محلول‌های PHB ساخته شده، بر روی پمپ

تا کنون روش‌های مختلفی برای برطرف نمودن این محدودیت‌ها استفاده شده است؛ که از جملهٔ آن‌ها، می‌توان به کامپوزیت‌سازی با سرامیک‌های زیست‌فعال، آلیاژ‌سازی با سایر پلیمرها و یا پوشش‌دهی آن‌ها بر روی ساختارهای سرامیکی اشاره نمود. تا کنون، پلیمرهای زیست‌تخریب‌پذیر مختلفی جهت آلیاژ‌سازی با پلی‌هیدروکسی بوتیرات به منظور برطرف نمودن معایب آن استفاده شده‌اند، اما به طور شاخص، هر کدام باعث برطرف نمودن یکی از معایب PHB شده‌اند. کیتوسان، پلیمری طبیعی و آب‌دوست است که دارای نرخ تخریب به نسبت بالایی است. به نظر می‌رسد آلیاژ‌سازی PHB با کیتوسان راهکاری مناسب جهت برطرف نمودن معایب PHB و بهره‌مندی از خواص مطلوب PHB و کیتوسان می‌باشد.

علاوه بر ترکیب‌بندی شیمیایی داربست مورد استفاده در مهندسی بافت، ساختار آن نیز نقش مهمی در نیل به اهداف مورد نظر ایفا می‌کند. از این‌رو، داربست‌های الکتروریسی شده به جهت تشابهٔ که با بافت غضروف دارند، بیشتر مورد توجه قرار گرفته‌اند.

از این‌رو، در پژوهش حاضر، داربست‌های الکتروریسی شدهٔ آلیاژی پلی‌هیدروکسی بوتیرات/کیتوسان جهت کاربرد در مهندسی بافت غضروف، مورد بررسی قرار گرفته‌اند. هدف از پژوهش حاضر، بهبود خواص آب‌دوستی و زیست‌تخریب‌پذیری PHB از طریق آلیاژ کردن آن با کیتوسان بود. بدین منظور، از حلال تری‌فلورواستیک اسید (TFA) یا Trifluoroacetic acid به عنوان حلal مشترک PHB و کیتوسان استفاده شد و محلول‌های پلیمری الکتروریسی شد. پس از ساخت داربست‌ها، مورفولوژی، آب‌دوستی، استحکام

همچنین، ولتاژ مناسب نیز ۹ و ۱۳ کیلوولت تشخیص داده شد. مقدار فاصله در محدوده‌ی ۵-۱۵ سانتی‌متر و دبی خروجی در محدوده‌ی ۵ میلی‌لیتر بر ساعت در نظر گرفته شد. لازم به ذکر است که در این قسمت، جهت ساخت نمونه‌ها از طراحی آزمایش توسط الگوریتم Taguchi استفاده شد (جدول ۱). از روی تصاویر میکروسکوپ الکترونی (SEM) یا Scanning electron microscope (نمونه‌ها، مشخص گردید که نمونه‌ی شماره‌ی ۵ یکنواخت‌ترین الیاف را در مقایسه با نمونه‌های دیگر دارد. بنا بر این، به عنوان نمونه‌ی بهینه انتخاب شد. در مرحله‌ی بعد، به منظور بهینه‌سازی بیشتر نمونه‌ی انتخاب شده، محلول ۹ درصد وزنی از PHB، با فواصل و ولتاژهای مختلف (جدول ۲) الکتروریسی شد. تصاویر SEM نشان دادند که نمونه‌ی الکتروریسی شده با ولتاژ ۲۱ کیلوولت در فاصله‌ی ۱۵ سانتی‌متری، از الیافی یکنواخت‌تر نسبت به بقیه‌ی نمونه‌ها برخوردار است. بنا بر این، همین شرایط به عنوان بهینه‌ترین شرایط برای تولید نمونه انتخاب گردید و درصدهای مختلف کیتوسان (۵، ۱۰، ۱۵ و ۲۰ درصد) نیز به همین نمونه اضافه گردید و الکتروریسی شد (جدول ۳).

تزریق افقی قرار گرفت و سپس به سر سرنگ، سوزن (با قطر گیج ۲۱) وصل و در نهایت قطب مثبت منبع تغذیه، بدان متصل گردید و در رو به روی سرنگ نیز ورقه‌ای از فویل آلومینیوم بر روی جمع کننده قرار گرفت و قطب منفی منبع تغذیه به آن متصل شد. از آن جایی که جهت تولید یک لایه‌ی بهینه از الیاف یکنواخت می‌باشد پارامترهای متعددی را مورد بررسی قرار داد، قبل از انجام آزمایش‌های اصلی جهت ثابت نگه داشتن بعضی از پارامترها به بررسی آن‌ها پرداخته شد. اثر پارامترها از جمله غلظت، ولتاژ مصرفی، فاصله‌ی نوک سوزن تا جمع کننده، در یک سری آزمایش‌های جداگانه بر روی مورفولوژی و قطر الیاف حاصل مورد بررسی قرار گرفت.

جهت دسترسی به محدوده‌ی مجاز غلظت، قبل از شروع آزمایش از غلظت پایین پلی‌هیدروکسی بوتیرات (۴ درصد وزنی) استفاده شد. در غلظت‌های ۴، ۵، و ۶ درصد وزنی به دلیل پایین بودن ویسکوزیتیهای محلول ریسیده نمی‌شد. همچنین، امکان حل کردن غلظت‌های بالاتر از ۱۰ درصد وزنی نیز وجود نداشت. بنا بر این، محدوده‌ی ۷-۱۰ درصد وزنی به عنوان محدوده‌ی مناسب در نظر گرفته شد.

جدول ۱. آزمایش‌های طراحی شده با الگوریتم Taguchi و با استفاده از نرم‌افزار MiniTab

شماره نمونه	غلظت محلول	(wt.%) PHB	ولتاژ (KV)	فاصله (cm)
۱	۷	۷	۹	۷
۲	۷	۷	۱۳	۱۴
۳	۸	۸	۹	۷
۴	۸	۸	۱۳	۱۴
۵	۹	۹	۱۳	۷
۶	۹	۹	۹	۱۴
۷	۱۰	۱۰	۱۳	۷
۸	۱۰	۱۰	۹	۱۴

PHB: Polyhydroxybutyrate

جدول ۲. لیست آزمایش‌های انجام شده بر روی غلظت ۹ درصد وزنی از محلول PHB (Polyhydroxybutyrate) خالص

شماره‌ی نمونه	غلظت (wt.%) PHB	ولتاژ (KV)	فاصله (cm)
۵-۱	۹	۹	۱۱
۵-۲	۹	۱۳	۷
۵-۳	۹	۱۳	۱۵
۵-۴	۹	۱۷	۱۱
۵-۵	۹	۱۷	۱۵
۵-۶	۹	۲۱	۷
۵-۷	۹	۲۱	۱۱
۵-۸	۹	۲۱	۱۵

PHB: Polyhydroxybutyrate

جدول ۳. نمونه‌های حاوی درصدهای مختلف کیتوسان

شماره‌ی نمونه	غلظت (wt.%) PHB	درصد کیتوسان	ولتاژ (KV)	فاصله (cm)
a	۹	۵	۲۱	۱۵
b	۹	۱۰	۲۱	۱۵
c	۹	۱۵	۲۱	۱۵
d	۹	۲۰	۲۱	۱۵

PHB: Polyhydroxybutyrate

اندازه‌گیری دانسیته و تخلخل سنجی نمونه‌ها: جهت اندازه‌گیری دانسیته‌ی داربست‌های الکتروریسی شده و تعیین درصد تخلخل آنها، از هر داربست نمونه‌ای با ابعاد $1 \times 2 \times 1$ سانتی‌متر مربع تهیه شد و با استفاده از ترازو، وزن آن‌ها اندازه‌گیری شد. همچنین، ضخامت نمونه‌ها توسط دستگاه ضخامت‌سنج تعیین شد. سپس با استفاده از فرمول‌های ۱ و ۲، دانسیته و درصد تخلخل نمونه‌ها محاسبه گردید. لازم به ذکر است که برای هر نمونه، سه بار تکرار در نظر گرفته شد و مقادیر اندازه‌گیری شده به صورت میانگین گزارش شد.

(فرمول ۱)

$$\text{دانسیته‌ی داربست} = \frac{\text{جرم داربست}}{\text{ضخامت داربست} \times \text{مساحت داربست}}$$

میکروسکوپ الکترونی روبشی: در این پژوهش، جهت بررسی قطر الیاف و مورفولوژی داربست‌های الکتروریسی شده، از هر نمونه ابعاد $1 \times 1 \times 1$ سانتی‌متر مربع آماده گردید و با طلا پوشش دهی شد و با استفاده از دستگاه میکروسکوپ الکترونی TESCAN VegaII مدل تصاویر مربوط تهیه شدند. اندازه‌گیری زاویه‌ی تماس با قطره‌ی آب: این آزمون، جهت تعیین میزان آب‌دستی نمونه‌ها انجام شد. این آزمون، به صورت دستی انجام شد؛ به این صورت که یک قطره آب دی‌ونیزه روی سطح نمونه قرار داده شد و پس از ۲ ثانیه از قطره عکس گرفته شد. سپس این عکس به وسیله‌ی نرم‌افزار Image J 1.44p آنالیز و زاویه‌ی تماس قطره محاسبه گردید.

در پتری دیش، مورد آنالیز قرار گرفت. این آنالیز، با استفاده از دستگاه طیفسنج مادون قرمز (Thermo nikolet) در دمای اتاق و نیز در دامنه $400-400\text{ cm}^{-1}$ صورت گرفت.

جداسازی سلول‌های کندروسیت از غضروف مفصلی خرگوش: جهت جداسازی سلول‌های کندروسیت، ابتدا نمونه‌ای از غضروف مفصلی خرگوش جداسازی گردید. سپس به قطعات کوچک تبدیل شد و پس از چندین بار شستشو، با محیط کشت حاوی پنی سیلین-استرپیتو‌مایسین، به مدت ۲۴ ساعت تحت تأثیر آنزیم کلاژنаз نوع II (۰/۱ میلی‌گرم بر میلی‌لیتر، شرکت Invitrogen) قرار گرفت. سپس سوسپانسیون سلولی به دست آمده، سانتریفیوژ شد و سلول‌های جداسازی شده به فلاسک انتقال یافتند.

بررسی چسبندگی سلول‌ها بر روی داربست‌ها: جهت بررسی چسبندگی و مورفولوژی سلول‌ها، سوسپانسیون سلولی بر روی سطح نمونه‌ها ریخته شد و به مدت چهار ساعت به سلول‌ها اجازه چسبیدن به سطح نمونه‌ها داده شد. سپس جهت تبییت سلول‌های چسبیده بر روی نمونه‌ها، محلول گلوتارآلدهید ۴ درصد بر روی آن‌ها ریخته شد و به مدت ۳۰ دقیقه درون یخچال نگهداری شد. سپس سطح نمونه‌ها با PBS (Phosphate buffered saline) شستشو و سریع تخلیه شد و در آخر نیز، جهت از بین بردن نمک‌های باقی مانده از PBS، سطح نمونه‌ها با آب شستشو داده شد و سپس نمونه‌ها با درجات صعودی اتانول آب‌گیری شدند. بعد از آن، سطح نمونه‌ها خشک شدند و به منظور تهیه تصاویر میکروسکوپ الکترونی، با طلا پوشش‌دهی شدند.

(فرمول ۲)

$$\text{درصد تخلل داربست} = \left(1 - \frac{\text{دانسیته داربست}}{\text{دانسیته توده‌ای ماده}} \right) \times 100$$

بررسی خواص مکانیکی: برای انجام این آزمون بر روی نمونه‌های پیش گفته، از دستگاه Instron با لود سل N ۵۰ استفاده شد. به منظور آماده‌سازی نمونه‌ها جهت قرار دادن در فک دستگاه، ابتدا داربست‌های فیبری با ابعاد $0/5 \times 3$ سانتی‌مترمربع تهیه و بر روی قالب مخصوص چسبانده شد. لازم به ذکر است که سرعت کرنش ۱۰ میلی‌متر در دقیقه در نظر گرفته شد و همچنین، ضخامت نمونه‌ها پس از اندازه‌گیری برای دستگاه تعریف شد و طول و عرض نمونه‌ها به ترتیب ۲ و $0/5$ سانتی‌متر تعیین شد. با احتساب این مقادیر، دستگاه اقدام به کشش نمونه‌ها تا نقطه‌ی شکست نمود و نمودار تنش-کرنش آن‌ها رسم و استحکام هر کدام از نمونه‌ها مشخص شد.

طیفسنجی با پرتو مادون قرمز به روش تبدیل فوریه (Fourier transform infrared spectroscopy) یا FTIR) این روش ابزاری قوی برای کسب اطلاعاتی نظری بلورینگی و وجود برهم‌کنش‌های خاص در مورد سیستم‌های آلیاژی است. جهت بررسی برهم‌کنش‌های احتمالی بین پلی‌هیدروکسی بوتیرات و کیتوسان در نمونه‌های آلیاژی، سه نمونه برای این آنالیز تهیه و آماده‌سازی شد. نمونه‌ی اول داربست الکتروریسی شده از جنس پلی‌هیدروکسی بوتیرات خالص بود. نمونه‌ی دوم، داربست آلیاژی حاوی ۲۰ درصد کیتوسان بود. نمونه‌ی سوم کیتوسان بود که به دلیل عدم قابلیت رسیندگی این پلیمر، ابتدا در تری‌فلورواستیک اسید حل شد و پس از خشک کردن

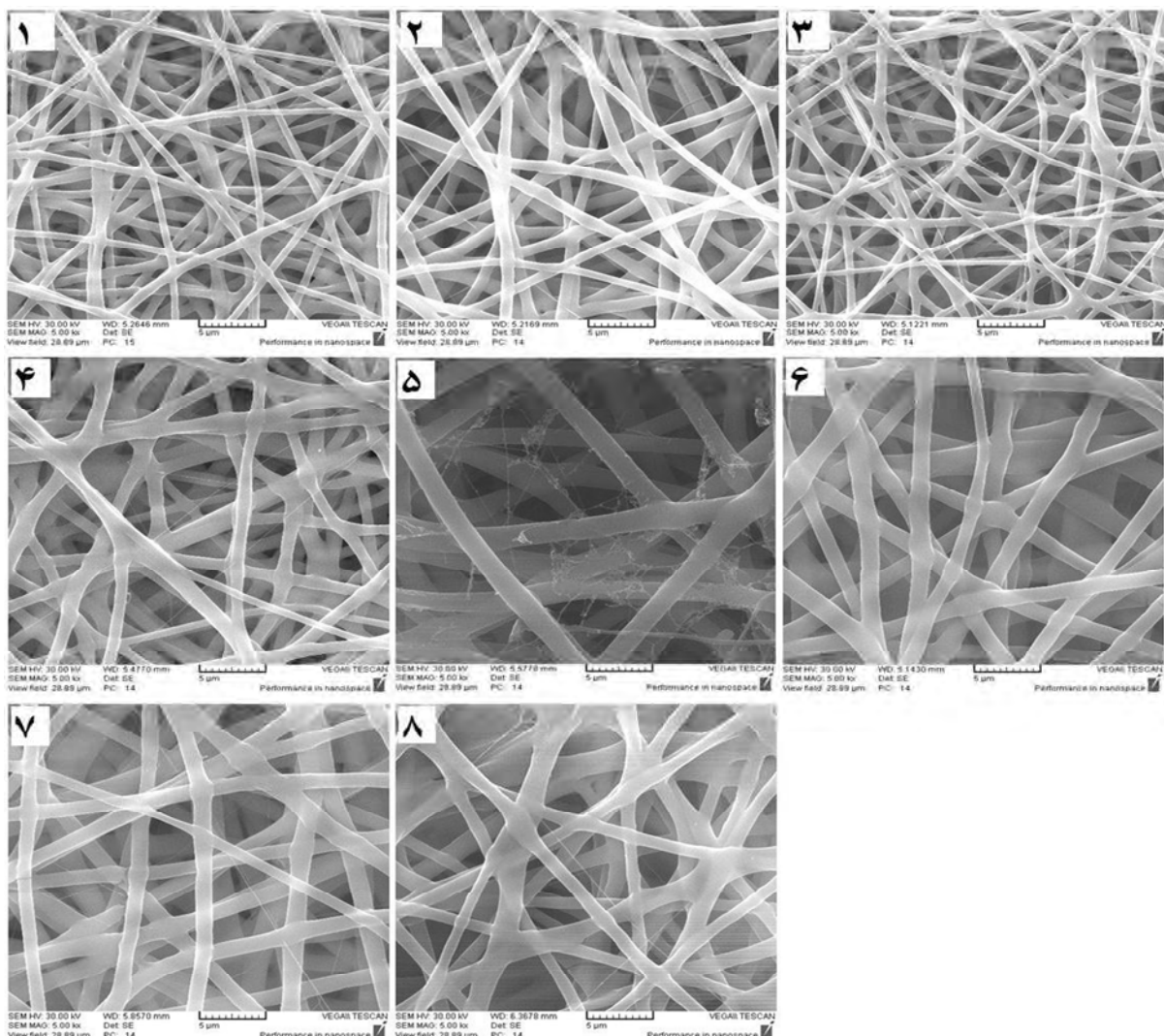
قطر الیاف نمونه‌ها آمده است. همان‌طور که در تصاویر مشاهده می‌شود، با افزایش غلظت محلول پلیمری، الیاف ضخیم‌تری تشکیل شد؛ که این به دلیل افزایش ویسکوزیتهٔ محلول می‌باشد. همچنین، در هر غلظت خاص، با افزایش ولتاژ، میزان یکنواختی الیاف کمتر شد و الیاف با قطر بیشتر به دست آمد.

یافته‌ها

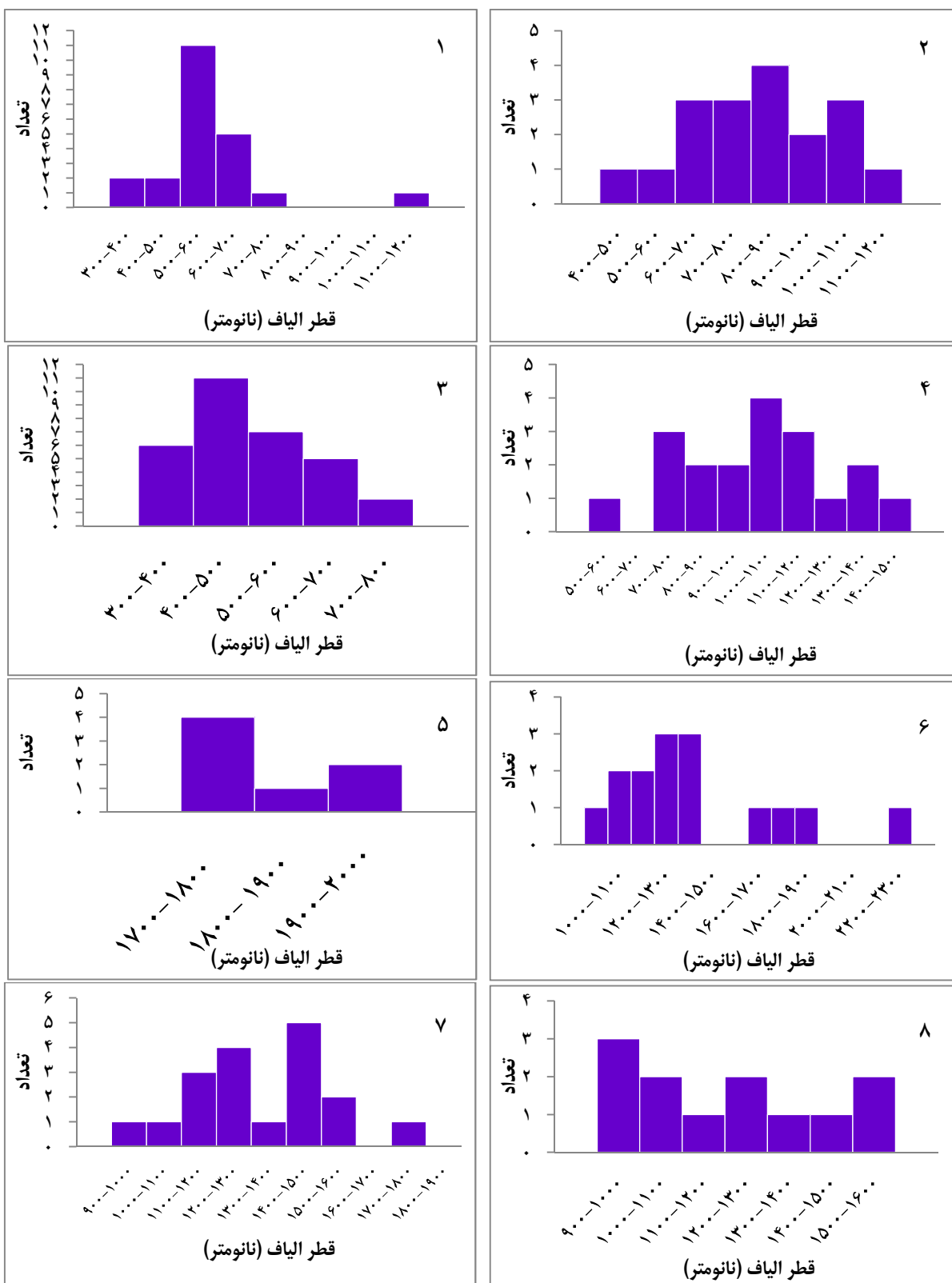
بررسی تصاویر میکروسکوپ الکترونی (SEM)

داربست‌های فیبری

چنانچه گفته شد، ابتدا محلول‌های PHB با غلظت‌های ۵-۱۰ درصد وزنی با فاصله‌ها و ولتاژ‌های مختلف الکتروریسی شد. تصاویر این نمونه‌ها در شکل ۲، اندازه‌ی



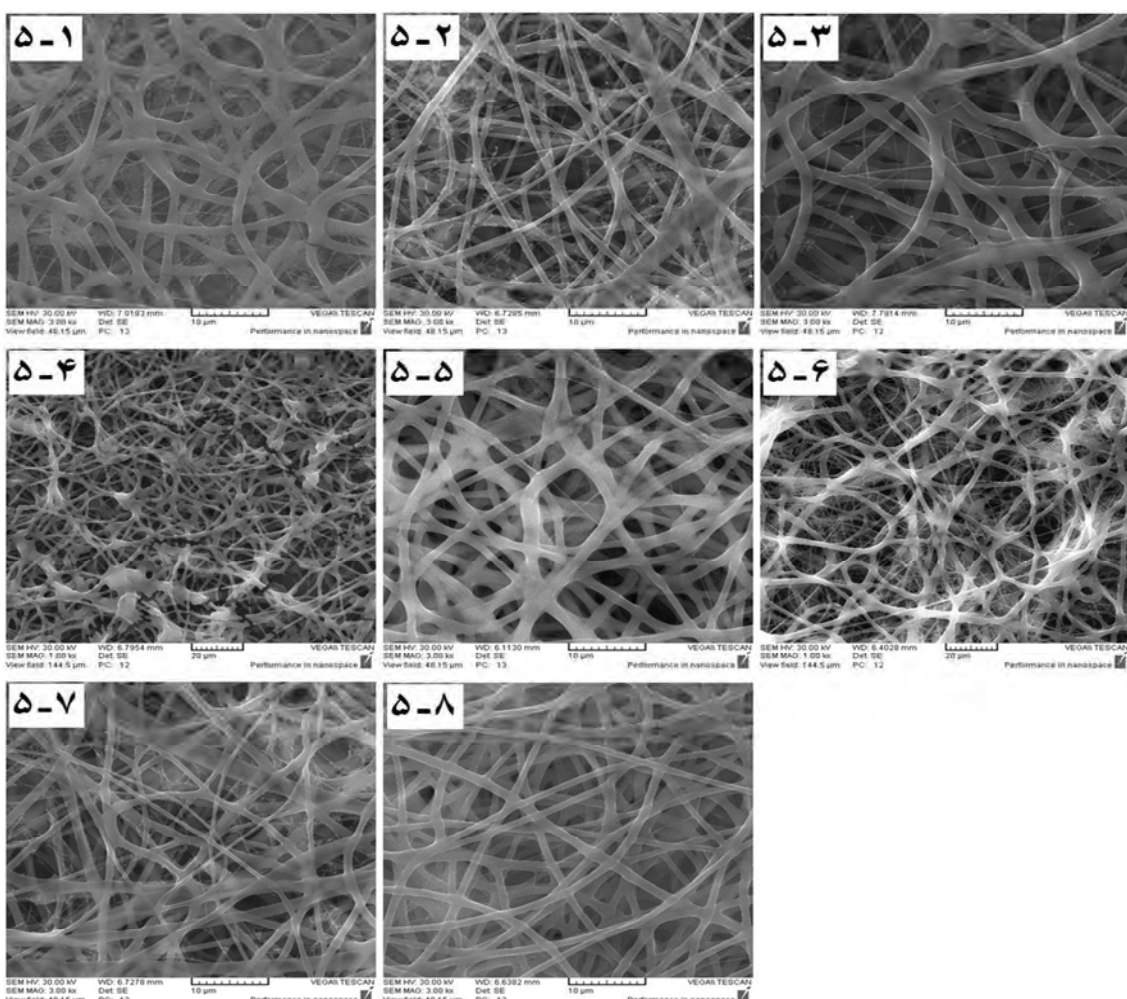
شکل ۱. تصاویر میکروسکوپ الکترونی مربوط به نمونه‌های Taguchi (Polyhydroxybutyrate) PHB خالص طراحی شده با الگوریتم $\text{PHB} = 8$ و $D = 14$ ، $V = 13$ (۱)، $\text{PHB} = 8$ و $D = 7$ ، $V = 9$ (۲)، $\text{PHB} = 7$ و $D = 14$ ، $V = 13$ (۳)، $\text{PHB} = 7$ و $D = 7$ ، $V = 9$ (۴)، $\text{PHB} = 7$ و $D = 7$ ، $V = 7$ (۵)، $\text{PHB} = 6$ و $D = 14$ ، $V = 10$ و $D = 9$ (۶)، $\text{PHB} = 6$ و $D = 7$ ، $V = 13$ (۷)، $\text{PHB} = 6$ و $D = 7$ ، $V = 9$ (۸) و $\text{PHB} = 10$ و $D = 14$ ، $V = 13$ (۹).



شکل ۲. نمودارهای مربوط به قطر الیاف نمونه‌های الکتروریسی شده **Polyhydroxybutyrate (PHB)** خالص: (۱) $D = 7$, $V = 9$ و $D = 7$, $V = 7$ (۲) $D = 13$, $V = 13$ و $D = 7$, $V = 7$ (۳) $D = 14$, $V = 13$ و $D = 7$, $V = 9$ (۴) $D = 8$, $V = 8$ و $D = 7$, $V = 9$ (۵) $D = 14$, $V = 13$ و $D = 7$, $V = 9$ (۶) $D = 14$, $V = 9$ و $D = 7$, $V = 13$ (۷) $D = 9$, $V = 9$ و $D = 7$, $V = 10$ (۸) $D = 14$, $V = 10$ و $D = 7$, $V = 13$

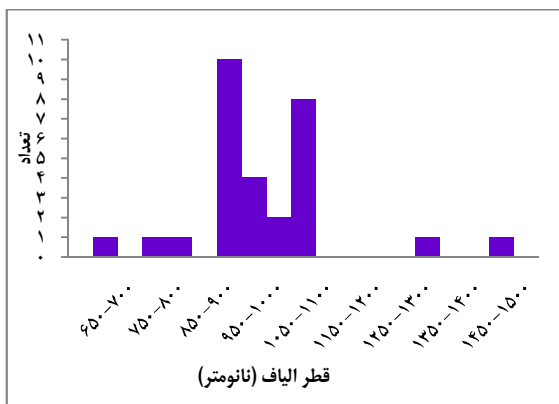
تصاویر نمونه‌های ۱-۵ تا ۵-۸ نیز در شکل ۳ آمده است. همان‌طور که مشاهده می‌شود، در نمونه‌های ۴-۶، علاوه بر الیاف، تعداد زیادی بید هم تشکیل شده است. شاید این پدیده به علت مناسب نبودن فاصله‌ها و ولتاژهای به کار گرفته شده برای الکتروریسی این نمونه‌ها باشد. همچنین، در سایر نمونه‌ها، به جز نمونه ۵-۸ الیافی غیر همگن به دست آمده است که نشان دهنده مناسب نبودن پارامترهای الکتروریسی برای غلظت‌های مختلف می‌باشد.

از طرفی، با افزایش فاصله‌ی سر سوزن سرنگ با صفحه‌ی جمع کننده نیز قطر الیاف و یکنواختی آن‌ها کاهش یافت. همچنین، با توجه به تصاویر SEM مشخص شد که در هیچ کدام از نمونه‌ها بید تشکیل نشده است. اما به طور کلی، الیاف به دست آمده در تمامی نمونه‌ها، به جز نمونه‌ی شماره‌ی ۵ از نظر توزیع اندازه، غیر یکنواخت بودند. یکنواخت‌ترین الیاف به دست آمده، مربوط به نمونه‌ی شماره‌ی ۵ بود که الیاف با قطری در حدود ۱/۸۱۱ میکرومتر داشت.



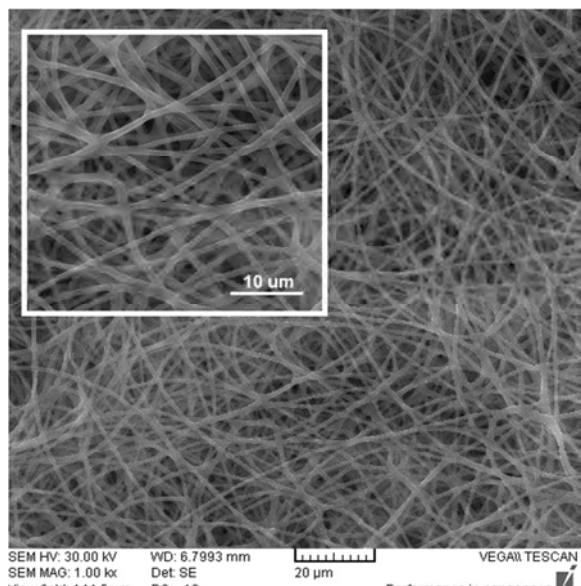
شکل ۳. تصاویر میکروسکوب الکترونی مربوط به نمونه‌های PHB (Polyhydroxybutyrate) خالص (۹ درصد وزنی) با فاصله‌ها و ولتاژهای مختلف: ۱ (۵-۱)، ۹ (۵-۲)، ۱۱ (۵-۳)، ۱۳ (۵-۴)، ۱۵ (۵-۵)، ۷ (۵-۶)، ۱۷ (۵-۷)، ۲۱ (۵-۸).

آب‌گریز است. به طور کلی، چنانچه زاویه‌ی تماس برای سطحی بیش از ۷۰ درجه باشد، آن را آب‌گریز و چنانچه زاویه‌ی تماس کمتر از ۷۰ درجه باشد، آن را آب‌دوست می‌گویند. پس از اختلاط این دو پلیمر، انتظار می‌رود آب‌دوستی داربست حاصل بیشتر از PHB خالص باشد. در جدول ۴، زاویه‌ی تماس نمونه‌های مختلف آمده است. همان‌طور که مشاهده می‌شود، با افزایش میزان کیتوسان در نمونه‌ها بین ۰-۲۰ درصد، زاویه‌ی تماس نمونه‌ها از ۷۶ درجه که مربوط داربست PHB خالص است، به ۵۳ درجه می‌رسد که مربوط به نمونه‌ی حاوی ۲۰ درصد کیتوسان است. بنا بر این، همان‌طور که انتظار می‌رفت، با افزودن کیتوسان، آب‌دوستی نمونه‌ها افزایش یافت.



شکل ۵. نمودار توزیع اندازه‌ی قطر الیاف نمونه‌ی ۵-۸

یکنواخت‌ترین الیاف مربوط به نمونه‌ی ۵-۸ می‌باشد که تصویری دیگر از این نمونه در شکل ۴ دیده می‌شود. بنا بر این، نمونه‌ی ۵-۸ به عنوان نمونه‌ی بهینه انتخاب شد و درصدهای مختلف کیتوسان (۰-۲۰ درصد) به آن اضافه گردید. نمودار قطر الیاف نمونه‌ی ۵-۸ در شکل ۵ آمده است که بیانگر یکنواخت بودن الیاف می‌باشد. تصاویر مربوط به نمونه‌های a تا d نیز در شکل ۶ نشان آمده است. همچنان که مشاهده می‌شود، در تمامی نمونه‌ها الیاف به طور تقریبی یکنواخت، تشکیل شده‌اند و بیلد وجود ندارد. همان‌طور که در شکل ۶ مشاهده می‌شود، نمونه‌های حاوی ۱۰ و ۲۰ درصد کیتوسان، الیاف یکنواخت‌تری نسبت به نمونه‌ی حاوی ۵ درصد کیتوسان دارند.



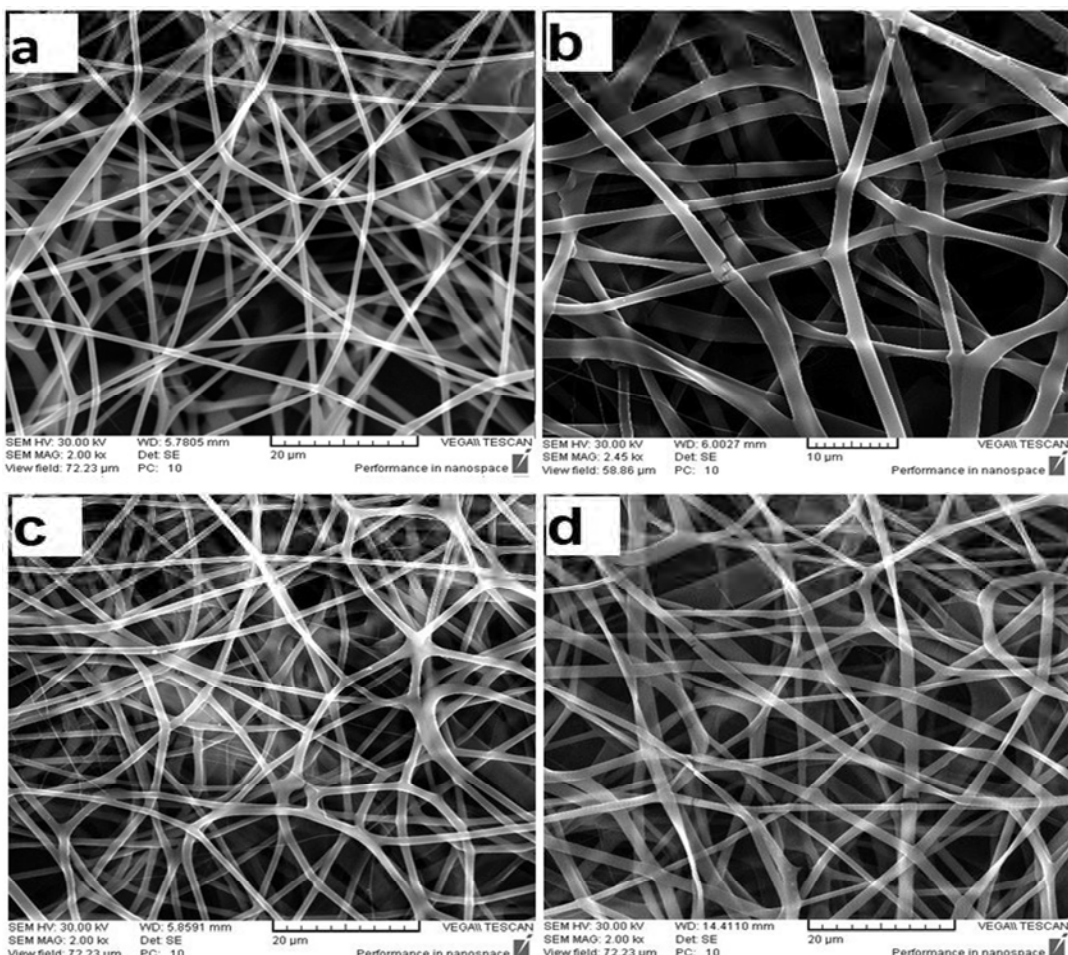
شکل ۴. تصویر میکروسکوپ الکترونی مربوط به نمونه‌ی ۵-۸ با دو بزرگنمایی مختلف

دانسیته و درصد تخلخل داربست‌ها جهت اندازه‌گیری دانسیته و درصد تخلخل داربست‌ها، ابتدا از هر داربست نمونه‌ای با ابعاد 2×1 سانتی‌متر مربع تهیه شد و با استفاده از ترازو، وزن آن‌ها اندازه‌گیری شد. همچنین، ضخامت نمونه‌ها توسط دستگاه ضخامت‌سنج

نتایج آزمون زاویه‌ی تماس با قطره‌ی آب کیتوسان، پلیمری آب‌دوست و PHB پلیمری

میلی لیتر در نظر گرفته شد (۱۲-۱۳). با استفاده از فرمولهای ۱ و ۲، دانسیته و درصد تخلخل داربست‌ها محاسبه گردید.

تعیین شد که در جدول ۵ نتایج آن گزارش شده است. همچنین، دانسیته‌ی توده‌ای برای پلیمرهای PHB و کیتوسان، به ترتیب ۱/۲۴ و ۰/۳۰ گرم بر



شکل ۶. تصاویر مربوط به نمونه‌های PHB (Polyhydroxybutyrate) (a) ۵٪ کیتوسان، (b) ۱۰٪ کیتوسان، (c) ۱۵٪ کیتوسان و (d) ۲۰٪ کیتوسان

جدول ۴. زوایای تماس قطرهی آب با نمونه‌های بهینه‌سازی شده.

نمونه	زاویه‌ی تماس چپ (درجه)	زاویه‌ی تماس راست (درجه)
PHB	۷۶/۰۲	۷۶/۰۶
a	۶۵/۰۰	۶۴/۸۷
b	۶۳/۹۸	۶۳/۹۱
c	۵۹/۹۸	۶۰/۰۱
d	۵۳/۰۳	۵۳/۲۲

PHB: Polyhydroxybutyrate

جدول ۵. نتایج مربوط به اندازه‌گیری دانسیته و درصد تخلخل داربست‌های الکتروریسی شده.

نمونه	وزن نمونه (گرم)	ضخامت (میلی‌متر)	مساحت (میلی‌متر ²)	درصد تخلخل (%)	دانسیته داربست (گرم بر میلی‌لتر)	دانسیته داربست (گرم بر میلی‌لتر)	نام
PHB	۲/۴۹۷	۰/۰۵۴	۸۱/۳۵	۲۰	۰/۲۳۱	۱/۲۴۰	
a	۱/۹۰۰	۰/۰۵۱	۸۲/۶۳	۲۰	۰/۱۹۶	۱/۱۹۸	
b	۱/۴۵۵	۰/۰۵۶	۸۸/۷۶	۲۰	۰/۱۲۹	۱/۱۵۶	
c	۱/۳۸۶	۰/۰۵۲	۸۸/۰۳	۲۰	۰/۱۳۳	۱/۱۱۴	
d	۱/۲۸۲	۰/۰۵۴	۸۸/۹۲	۲۰	۰/۱۱۸	۱/۰۷۲	

PHB: Polyhydroxybutyrate

بین مقدار مدول در نمونه‌های دارای کیتوسان مشاهده نشد. در عین حال، چقرمگی و بیشینه‌ی کشش داربست‌ها، با افزایش کیتوسان افزایش یافت؛ به طوری که مقدار آن از ۱۶۳۴/۰۱۹ که مربوط به داربست PHB خالص است، به ۲۴۶۸/۴۳۴ که مربوط به داربست حاوی ۲۰ درصد کیتوسان است، افزایش یافت.

با بر این، طبق پیش‌بینی صورت گرفته، با افزودن کیتوسان به پلی‌هیدروکسی بوتیرات، میزان استحکام کششی و Young's modulus کاهش می‌یابد و از طرف دیگر، بیشینه‌ی کشش و چقرمگی افزایش می‌یابد. بر اساس نتایج به دست آمده از تصاویر میکروسکوپ الکترونی و آزمون‌های تخلخل سنجی، زاویه‌ی تماس با آب و استحکام مکانیکی، مشخص شد که نمونه‌های حاوی ۱۵ و ۲۰ درصد کیتوسان، دارای خواص بهینه می‌باشند. بنا بر این، به عنوان نمونه‌های اصلی برای آزمون سلولی انتخاب شدند.

بررسی نتایج طیف‌سنگی با پرتو مادون قرمز به روش تبدیل فوریه (FTIR)

روش FTIR ابزاری قوی برای کسب اطلاعاتی نظری بلورینگی و وجود برهم‌کنش‌های خاص در مورد سیستم‌های آلیاژی است. شکل ۸، طیف FT-IR پلیمرهای PHB، کیتوسان و آلیاژ آن‌ها را نشان می‌دهد.

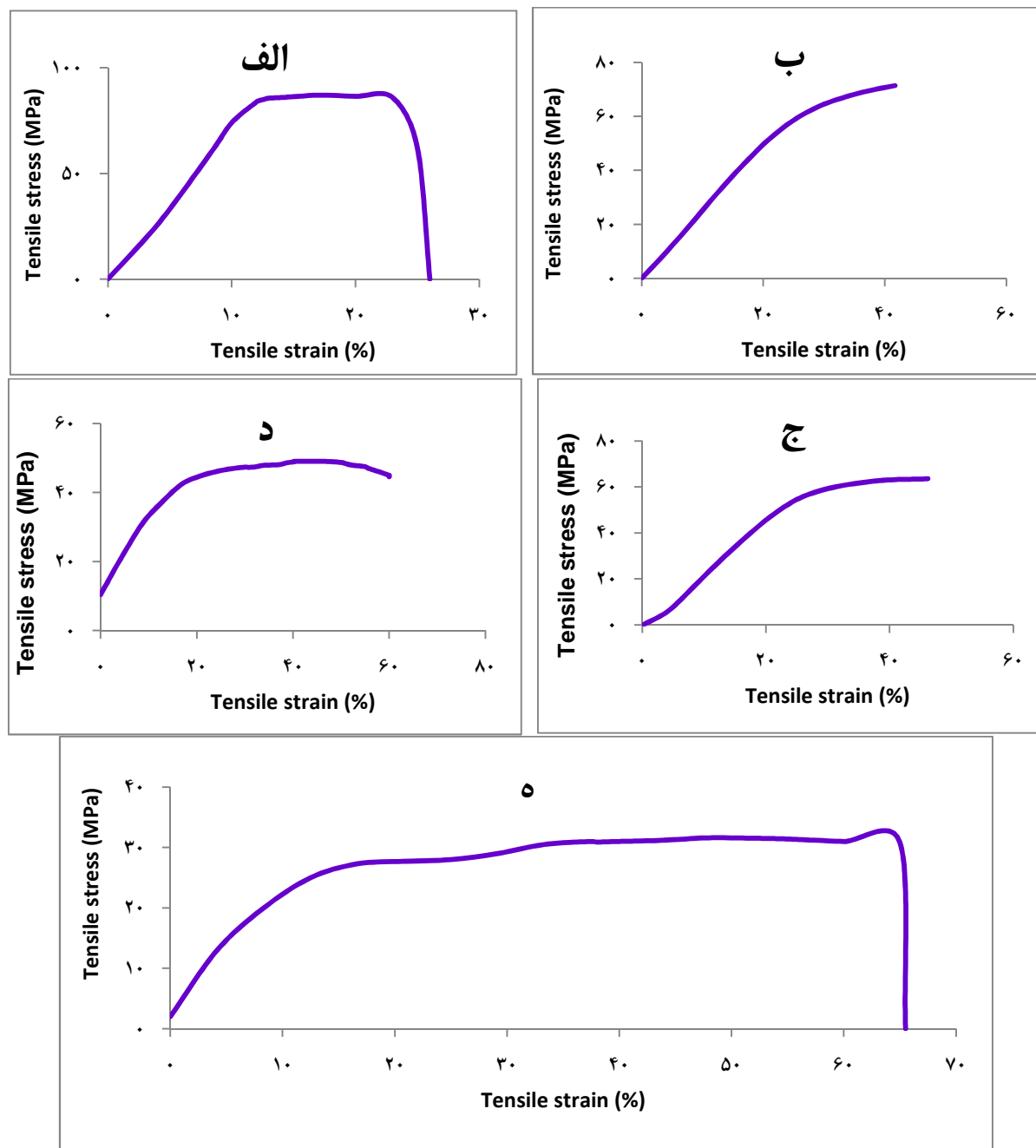
نتایج آزمون استحکام کششی داربست‌ها

پلی‌هیدروکسی بوتیرات، پلیمری ترد است که میزان تردی آن وابسته به درجه‌ی بلورینگی آن است. در مقایسه، کیتوسان پلیمری انعطاف‌پذیر است که با افزودن آن به پلی‌هیدروکسی بوتیرات، می‌توان از طریق تنظیم درجه‌ی بلورینگی پلی‌هیدروکسی بوتیرات، میزان تردی و خواص کششی آن را تغییر داد. نمودارهای تنش-کرنش مربوط به نمونه‌های a تا d در شکل ۷ آمده است. با توجه به شکل ۷ و جدول ۶، یک ارتباط خطی میان مقدار کیتوسان در نمونه‌ها با میزان استحکام کششی، Young's modulus، بیشینه‌ی کشش و چقرمگی (مقاومت مواد در برابر شکست در اثر اعمال تنش) داربست‌ها مشاهده می‌شود. استحکام کششی داربست‌های الکتروریسی شده، از ۸۷ مگاپاسکال، که مربوط به داربست PHB خالص است، به ۳۱/۶ مگاپاسکال، که مربوط به نمونه‌ی حاوی ۲۰ درصد کیتوسان است، کاهش یافت.

همچنین، Young's modulus نمونه‌ها، با افزودن ۵ درصد کیتوسان، از ۵۱/۳۴ به ۷۴/۴۵ رسید، اما با افزایش بیشتر کیتوسان تا ۲۰ درصد، مقدار مدول افزایش یافت و به ۵۹/۷۴ رسید، اما اختلاف معنی‌داری

طیف PHB، یک پیک مشخصه‌ی برجسته دارد که مرکز آن در حدود 1731 cm^{-1} قرار گرفته است و می‌توان آن را به جذب کششی گروه کربونیل (C=O) مربوط دانست. به علاوه، پیک‌های موجود در داده می‌شوند. همچنین، پیک موجود در 1378 cm^{-1} مربوط به ارتعاش متقارن گروه CH_3 می‌باشد.

طیف PHB، یک پیک مشخصه‌ی برجسته دارد که مرکز آن در حدود 1731 cm^{-1} قرار گرفته است و می‌توان آن را به جذب کششی گروه کربونیل (C=O) مربوط دانست. به علاوه، پیک‌های موجود در

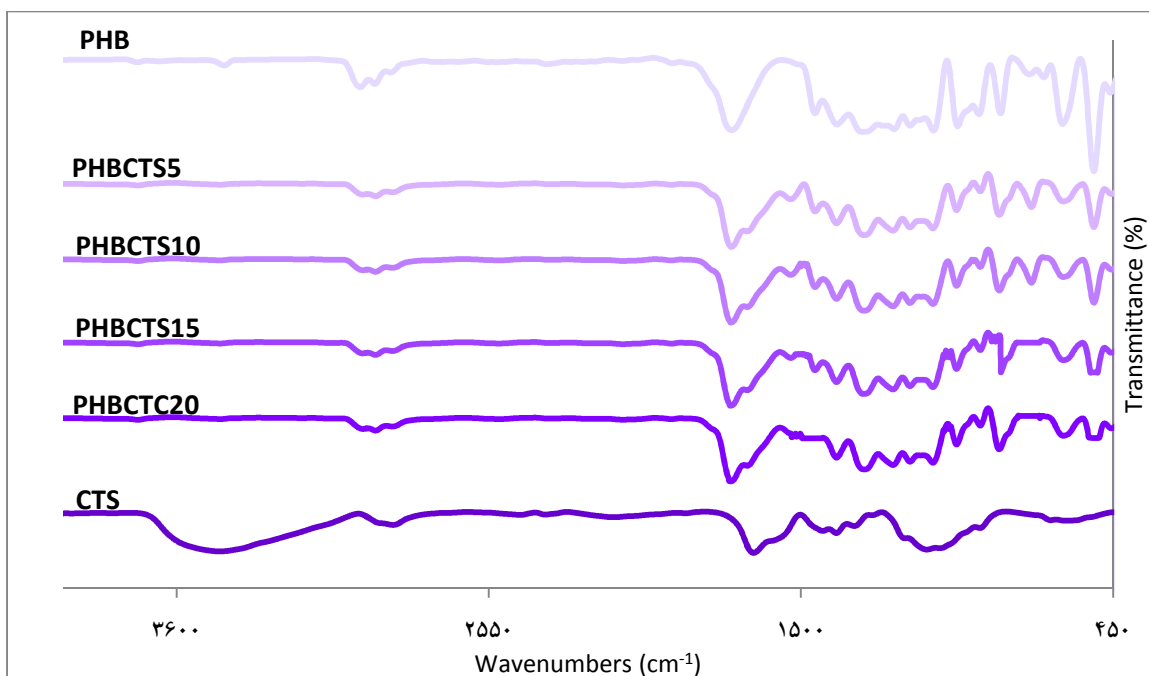


شکل ۷. نمودار تنش - کرنش مربوط به نمونه‌های: (الف) PHB (Polyhydroxybutyrate) خالص، (ب) PHB/کیتوسان ۵٪، (ج) PHB/کیتوسان ۱۰٪، (د) PHB/کیتوسان ۱۵٪، (ه) PHB/کیتوسان ۲۰٪

جدول ۶. نتایج کمی مربوط به آزمون کشش داربست‌ها

نمونه	بیشینه‌ی کشش (درصد)	چفرمگی	Young's modulus (MPa)	استحکام کششی (MPa)
PHB	۲۶/۰۰	۱۶۳۴/۰۱۹	۷۴/۴۵	۸۷/۰۰
a	۴۱/۶۶	۱۸۷۵/۱۵۲	۵۱/۳۴	۷۱/۳۷
b	۴۶/۰۰	۱۹۸۳/۴۵۲	۵۲/۷۹	۶۳/۶۶
c	۶۰/۰۰	۲۴۶۰/۰۱۲	۵۷/۸۰	۴۹/۰۶
d	۶۵/۵۰	۲۴۶۸/۴۳۴	۵۹/۷۴	۳۱/۶۰

PHB: Polyhydroxybutyrate



شکل ۸ طیف FTIR (Fourier transform infrared spectroscopy) داربست PHB (داربست خالص، کیتوسان و داربست‌های آلیاژی) حاوی درصدهای مختلف کیتوسان (Polyhydroxybutyrate/Chitosan) PHB/CTS

نیز به عدد موج‌های بالاتر جابه‌جا می‌شوند. حضور این پیک‌ها و ضعیفتر شدن آن‌ها در اثر افزایش کیتوسان، نشان دهنده‌ی وجود مرحله‌ی بلوری PHB، اما آمورفت شدن ساختار می‌باشد.

بررسی سلول‌ها بر روی داربست‌های فیبری در این بخش، مورفولوژی سلول‌های کندروسیت و برهم‌کنش سلول‌ها با داربست آلیاژی پلی‌هیدروکسی-بوتیرات/کیتوسان مورد بررسی قرار گرفت. همان‌طور که در شکل ۹ مشخص است، سلول‌های کندروسیت

کیتوسان در حدود 3455 cm^{-1} و 1660 cm^{-1} جذب‌های مشخصه‌ای دارد. پیک 3455 cm^{-1} ، مربوط به کشش هیدروکسیل (O-H) و کشش N-H است و 1660 cm^{-1} ، مربوط به تغییر شکل (Deformation) N-H است که از گروه آمین ناشی می‌شود. با توجه به طیف مربوط به نمونه‌های حاوی کیتوسان، مشخص می‌شود که پیک کربونیل PHB موجود در 1731 cm^{-1} به سمت عدد موج‌های بالاتر جابه‌جا می‌شود. به علاوه، پیک‌های موجود در 973 cm^{-1} و 1293 cm^{-1}

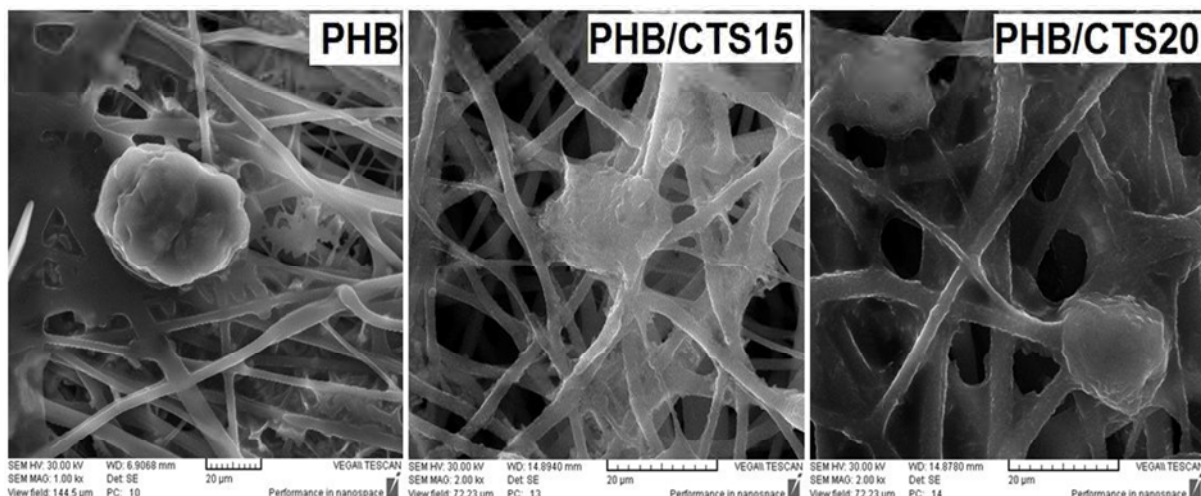
این یافته‌ها با نتایج حاصل از مطالعه‌ی Correia و همکاران مطابقت دارد. آنان در مطالعه‌ی خود با استفاده از حلال ترکیبی دی‌متیل فرمامید/کلروفرم (با نسبت $7/3$) محلول‌های 7 و 10 درصد وزنی PHB را تهیه و الکتروریسی کردند. نتایج، نشان داد که غالب الیاف به دست آمده از محلول 7 درصد وزنی در محدوده $400-600$ نانومتر هستند. در حالی که غالب الیاف به دست آمده از محلول 10 درصد وزنی، قطری بیشتر از 1 میکرومتر داشتند (۱۴).

همچنین در مطالعه‌ی Wang و Tong، نیز نتایج مشابهی بدست آمد. آنان داربست‌های الکتروریسی شده‌ی کوپلیمر پلی‌(هیدروکسی بوتیرات-کو-هیدروکسی والرات) را تهیه کردند و تأثیر پارامترهای مختلف را بر قطر الیاف مورد بررسی قرار دادند. نتایج مطالعات آن‌ها نشان داد که افزایش غلظت و افزایش ولتاژ، هر کدام به طور جداگانه باعث افزایش قطر الیاف می‌شوند. همچنین، نشان دادند که با افزایش فاصله، قطر الیاف حاصل کاهش می‌یابد (۱۵).

با الیاف تمامی نمونه‌ها اتصال خوبی برقرار کردند، اما دو نکته‌ی اساسی در این تصاویر وجود داشت. در داربست فاقد کیتوسان، سلول کندروسیت به داربست چسبیده است، اما پهن نشده و به داخل ماتریس پلیمری داربست نیز نفوذ پیدا نکرده است. اما در داربست‌های حاوی 15 و 20 درصد کیتوسان، سلول‌ها علاوه بر اتصال به الیاف، بر روی آن‌ها پهن شده و به داخل ماتریس پلیمری نیز نفوذ پیدا کرده‌اند.

بحث

نتایج حاصل از تصاویر میکروسکوپ الکترونی نشان داد با افزایش غلظت محلول پلیمری، الیاف ضخیم‌تری تشکیل می‌شود و در هر غلظت خاص، با افزایش ولتاژ، میزان یکنواختی الیاف کمتر می‌شود و الیاف با قطر بیشتر به دست می‌آید و همچنین، با افزایش فاصله‌ی سر سوزن سرنگ با صفحه‌ی جمع گننده، قطر الیاف و یکنواختی آن‌ها کاهش می‌یابد.



شکل ۹. تصاویر میکروسکوپ الکترونی سلول‌های کندروسیت ثبیت شده بر روی داربست‌های بهینه (Polyhydroxybutyrate) PHB و (Chitosan/PHB) 15% و 20% پس از گذشت 4 ساعت خالص.

داربست‌های آلیاژی، با نتایج حاصل از مطالعه‌ی Daranarong و همکاران که در آن داربست‌های آلیاژی پلی‌هیدروکسی بوتیرات/پلی‌(لاکتید-کو-کاپرولاكتون) تهیه شدند، مطابقت دارد. مطالعه‌ی آنان نشان داد که با افزایش میزان پلی‌(لاکتید-کو-کاپرولاكتون) در آلیاژ، استحکام کششی داربست‌ها کاهش و بیشینه‌ی کشش آن‌ها افزایش می‌یابد (۱۷).

همچنین، طیف‌های به دست آمده از آنالیز FTIR نشان دهنده‌ی کاهش مرحله‌ی بلوری PHB و افزایش مرحله‌ی آمورف آن در اثر افزودن کیتوسان می‌باشد. این پدیده، از تشکیل باندهای هیدروژنی درون مولکولی بین گروه‌های جانبی آمین در کیتوسان با گروه‌های کربونیل در PHB ناشی می‌شود که در نهایت، باعث کاهش بلورینگی در فیبرهای آلیاژی می‌شود. این نوع برهم‌کنش، به عنوان پل ارتباطی بین پلیمرها عمل می‌کند و امتحاج پذیری دو پلیمر را در آلیاژ تسهیل می‌کند.

Ikejima و همکاران نیز در مورد آلیاژهای PHB/کیتوسان به نتایج مشابهی دست یافتند. با این تفاوت که در آلیاژهایی که آن‌ها تهیه کردند، کیتوسان غالب بود. در مطالعه‌ی آنان نیز طیف‌های FTIR به دست آمده از آلیاژها، نشان داد که با افزایش کیتوسان (بیش از ۷۰ درصد)، پیک بلوری به طور کامل حذف و پیک آمورف ظاهر می‌شود. اما برای درصدهای کیتوسان زیر ۷۰ درصد، پیک گروه کربونیل مشاهده می‌شود و با افزایش مقدار کیتوسان در آلیاژ، پیک آمورف قوی‌تر می‌شود (۱۸).

نفوذ سلول‌های کندروسیت به بستر پلیمری الیاف در داربست‌های حاوی کیتوسان، نشان دهنده‌ی مناسب‌تر بودن آن‌ها برای سلول‌ها در مقایسه با

همچنین، به نظر می‌رسد که نمونه‌های حاوی ۱۵ و ۲۰ درصد کیتوسان، دارای الیاف یکنواخت‌تری نسبت به نمونه‌های حاوی ۵ و ۱۰ درصد کیتوسان هستند. این پدیده را می‌توان این طور توجیه کرد که به طور کلی، محلول کیتوسان خالص به دلیل داشتن ویسکوزیته‌ی پایین، قابلیت الکتروریسی مطلوبی ندارد. بنا بر این، وقتی به محلول PHB اضافه می‌شود نیز ویسکوزیته را کاهش می‌دهد و باعث خوب ریسیده نشدن محلول آلیاژی و به دست آمدن الیاف نامناسب می‌شود. از طرف دیگر، کیتوسان به طور طبیعی دارای بار مثبت است.

بنا بر این، زمانی که کیتوسان به PHB اضافه می‌شود، به دلیل داشتن بار مثبت، تمایل محلول پلیمری را برای پرتاب شدن از سر سوزن سرنگ که به قطب مثبت متصل است، به سمت صفحه‌ی جمع کننده که به قطب منفی متصل است، افزایش می‌دهد و از این طریق، باعث بهبود فرایند الکتروریسی می‌شود. TFA از طرفی، چون در ساخت محلول‌ها از حلال استفاده شده است، گروه‌های آمین کیتوسان می‌توانند با TFA ترکیب شوند و نمک تشکیل دهنده این پدیده، به طور مؤثری باعث کمتر شدن برهم‌کنش‌های بین مولکولی در بین مولکول‌های کیتوسان می‌شود و الکتروریسی را تسهیل می‌کند (۱۶).

بنابراین، با افزایش مقدار کیتوسان در محلول آلیاژی، اثر نامطلوب کاهش ویسکوزیته در اثر افزودن کیتوسان جبران می‌شود و الیافی مناسب شکل می‌گیرند. همچنین، طبق پیش‌بینی صورت گرفته، با افروزدن کیتوسان به PHB، آب‌دوستی آن افزایش یافت که نشان دهنده‌ی مؤثر بودن راهکار اعمال شده است. نتایج حاصل از آزمون استحکام کششی

تشکر و قدردانی

این مقاله حاصل پایان‌نامه‌ی دوره‌ی کارشناسی ارشد داود صادقی به شماره ۳۹۳۳۴۱ در دانشگاه علوم پزشکی اصفهان است. بدین‌وسیله از معاونت تحقیقات و فناوری این دانشگاه سپاسگزاری می‌نماییم. همچنین، از رئیس بخش بانک سلولی انتیتو پاستور ایران، جناب آقای دکتر محمد علی شکرگزار که در انجام این پژوهش ما را یاری رساندند، تشکر و قدردانی می‌شود.

داربست‌های فاقد کیتوسان است. همچنین، به نظر می‌رسد که تعداد سلول‌های چسبیده به داربست‌های حاوی کیتوسان در مقایسه با داربست فاقد کیتوسان، بیشتر است که نشان دهنده‌ی تمایل بیشتر سلول‌ها برای چسبیدن به داربست حاوی کیتوسان در مقایسه با داربست PHB خالص می‌باشد. بنا بر این، با افزودن کیتوسان به PHB، آب‌دوستی، خواص مکانیکی و رفتار بیولوژیکی آن بهبود می‌یابد.

References

1. Johnstone B, Alini M, Cuccharini M, Dodge GR, Eglin D, Guilak F, et al. Tissue engineering for articular cartilage repair--the state of the art. *Eur Cell Mater* 2013; 25: 248-67.
2. Tuli R, Li WJ, Tuan RS. Current state of cartilage tissue engineering. *Arthritis Res Ther* 2003; 5(5): 235-8.
3. Portocarrero G, Collins G, Livingston Arinze T. Challenges in cartilage tissue engineering. *J Tissue Sci Eng* 2013; 4(1): e120.
4. Lanza R, Langer R, Vacanti J. Principles of tissue engineering. New York, NY: Academic Press; 2011.
5. O'Brien FJ. Biomaterials and scaffolds for tissue engineering. *Materials Today* 2011; 14(3): 88-95.
6. Gardin C, Ferroni L, Favero L, Stellini E, Stomaci D, Sivolella S, et al. Nanostructured biomaterials for tissue engineered bone tissue reconstruction. *Int J Mol Sci* 2012; 13(1): 737-57.
7. Chen GQ, Wu Q. The application of polyhydroxyalkanoates as tissue engineering materials. *Biomaterials* 2005; 26(33): 6565-78.
8. Williams SF, Martin DP, Horowitz DM, Peoples OP. PHA applications: addressing the price performance issue: I. Tissue engineering. *Int J Biol Macromol* 1999; 25(1-3): 111-21.
9. Misra SK, Valappil SP, Roy I, Boccaccini AR. Polyhydroxyalkanoate (PHA)/inorganic phase composites for tissue engineering applications. *Biomacromolecules* 2006; 7(8): 2249-58.
10. Doyle C, Tanner ET, Bonfield W. In vitro and in vivo evaluation of polyhydroxybutyrate and of polyhydroxybutyrate reinforced with hydroxyapatite. *Biomaterials* 1991; 12(9): 841-7.
11. Luklinska ZB, Schluckwerder H. In vivo response to HA-polyhydroxybutyrate/polyhydroxyvalerate composite. *J Microsc* 2003; 211(Pt 2): 121-9.
12. Godoi FC, Pereira NR, Rocha SCS. Analysis of the drying process of a biopolymer (poly-hydroxybutyrate) in rotating-pulsed fluidized bed. *Chemical Engineering and Processing: Process Intensification* 2015; 50(7): 623-9.
13. Badwan A, Al-Remawi M. Chitosan-silicon dioxide coprecipitate and use as excipient in solid dosage forms [Google Patents: CA 2616470 A1]. 2006.
14. Correia DM, Ribeiro C, Ferreira JCC, Botelho G, Ribelles JLG, Lanceros-Mendez S, et al. Influence of electrospinning parameters on poly(hydroxybutyrate) electrospun membranes fiber size and distribution. *Polym Eng Sci* 2014; 54(7): 1608-17.
15. Tong HW, Wang M. Electrospinning of Poly(Hydroxybutyrate-co-hydroxyvalerate) Fibrous Scaffolds for Tissue Engineering Applications: Effects of Electrospinning Parameters and Solution Properties. *J Macromol Sci, Part B* 2011; 50(8): 1535-58.
16. Sun K, Li ZH. Preparations, properties and applications of chitosan based nanofibers fabricated by electrospinning. *Express Polymer Letters* 2011; 5(4): 342-61.
17. Daranarong D, Chan RTH, Wanandy NS, Molloy R, Punyodom W, Foster JR. Electrospun polyhydroxybutyrate and poly(L-lactide-co-ε-caprolactone) Composites as Nanofibrous Scaffolds. *BioMed Research International* 2014; 2014(1): 12.
18. Ikejima T, Yagi K, Inoue Y. Thermal properties and crystallization behavior of poly(3-hydroxybutyric acid) in blends with chitin and chitosan. *Macromol Chem Phys* 1999; 200(2): 413-21.

Evaluation of the Structural Properties and Cellular Behavior of Electrospun Poly(hydroxybutyrate)/Chitosan Blend Scaffolds for Cartilage Tissue Engineering

Davoud Sadeghi MSc¹, Saeed Karbasi PhD², Shahin Bonakdar PhD³, Shahnaz Razavi PhD⁴

Original Article

Abstract

Background: Achieving to a scaffold with suitable properties is a current challenge in tissue engineering. Polyhydroxybutyrate (PHB) is a polymer which has attracted attentions due to have favorable properties such as good biocompatibility and relative high mechanical properties; but, its hydrophobicity and brittleness are not suitable for cartilage tissue engineering scaffold fabrication. Blending with other polymers is a strategy to solve this problem. This study aimed to prepare electrospun PHB/chitosan (CTS) blend scaffold and to investigate its structural properties and cellular behavior.

Methods: First, polymeric solutions of PHB in trifluoroacetic acid (TFA) were electrospun and after optimization of parameters, various percentages of chitosan with aim to improve its hydrophilicity and mechanical properties were added to polymeric solution and electrospun. To characterize prepared scaffolds, scanning electron microscopy (SEM), tensile strength test, Fourier transform infrared spectroscopy (FT-IR), contact angle measurement, and porosimetry were performed. According to the obtained results, the scaffold containing 15 and 20 percent of chitosan were selected as the optimized scaffolds and were examined for rabbit chondrocyte cell adhesion test.

Findings: Scanning electron microscopy images showed that electrospinning of the solution with PHB of 9 percent by weight (wt%) in 21 kilovolt at 15 cm produced the most uniform fibers; the scaffolds containing 10, 15 and 20 percent of CTS have more uniform fibers than the scaffold containing 5 percent. Finally, based on the results of other experiments, the scaffolds containing 15 and 20 percent of chitosan were identified as optimized scaffolds. SEM images showed good chondrocyte cell adhesion on these scaffolds.

Conclusion: Addition of chitosan to PHB, can improve its mechanical and biological properties and hydrophilicity.

Keywords: Cartilage tissue engineering. Polyhydroxybutyrate, Chitosan, Electrospinning

Citation: Sadeghi D, Karbasi S, Bonakdar Sh, Razavi Sh. Evaluation of the Structural Properties and Cellular Behavior of Electrospun Poly(hydroxybutyrate)/Chitosan Blend Scaffolds for Cartilage Tissue Engineering. J Isfahan Med Sch 2015; 33(349): 1441-58

1- Department of Biomaterials and Tissue Engineering, School of Advanced Medical Technology, Isfahan University of Medical Sciences, Isfahan, Iran

2- Associate Professor, Department of Biomaterials and Tissue Engineering, School of Advanced Medical Technology, Isfahan University of Medical Sciences, Isfahan, Iran

3- Assistant Professor, National Cell Bank of Iran, Pasteur Institute of Iran, Tehran, Iran

4- Professor, Department of Anatomical Sciences, School of Medicine, Isfahan University of Medical Sciences, Isfahan, Iran

Corresponding Author: Davoud Sadeghi MSc, Email: davoud.sadeghi@yahoo.com

بررسی تأثیر آهن و رژیم غذایی پر کلسترول بر آپوپتوز در شکنج دندانه دار از تشکیلات هایپوکامپ

دکتر غلامرضا دشتی^۱، دکتر بهمن رشیدی^۱، دکتر پرهام رئیسی^۲، لیلا راهافروز^۳

مقاله پژوهشی

چکیده

مقدمه: برخی مطالعات بیانگر تأثیر افزایش غیر طبیعی آهن و کلسترول در مغز در پاتوژنی بیماری های نورودژنراتیو همچون آلزایمر می باشد، اما مطالعات انجام گرفته در این زمینه اندک و نتایج آنها با یکدیگر متناقض است. از آن جایی که شیوع این بیماری ها، به ویژه آلزایمر در حال افزایش می باشد، مطالعه ای حاضر با هدف تعیین تأثیر آهن و رژیم غذایی پر کلسترول بر آپوپتوز در شکنج دندانه دار از تشکیلات هایپوکامپ به انجام رسید.

روش ها: روش های نر نیوزلندری به گروه های شاهد، آهن (50 mg/kg)، گروه کلسترول (رژیم حاوی کلسترول ۲ درصد) و گروه کلسترول و آهن تقسیم شدند. سطح سرمی کلسترول، LDL (Low-density lipoprotein) HDL (High-density lipoprotein) قبل و بعد از رژیم ۶ هفته ای بررسی و اندازه گیری شد و سپس میزان آپوپتوز سلول های عصبی در تشکیلات هایپوکامپ آنها با استفاده از رنگ آمیزی ایمونو هیستوشیمیابی (Terminal deoxynucleotidyl transferase biotin-dUTP nick end labeling) TUNEL test مورد بررسی قرار گرفت.

یافته ها: پس از استفاده از رژیم غذایی پر کلسترول، سطح سرمی کلسترول، LDL و HDL در گروه های دریافت کننده کلسترول به طور معنی داری افزایش یافت ($P < 0.05$). همچنین، آپوپتوز سلول های عصبی در شکاف دندانه دار هایپوکامپ در گروه دریافت کننده رژیم پر کلسترول در مقایسه با گروه شاهد افزایش معنی داری داشت ($P < 0.05$). استفاده از آهن به تنها یا همراه با کلسترول، تأثیری بر میزان آپوپتوز سلول های عصبی نداشت.

نتیجه گیری: نتایج مطالعه نشان داد که تجویز رژیم غذایی پر کلسترول بر سطح آپوپتوز سلولی تأثیر معنی دار دارد؛ به طوری که تجویز رژیم حاوی کلسترول تنها و رژیم آهن و کلسترول، سطح آپوپتوز سلولی را افزایش می دهد. اما تجویز آهن، تأثیر قابل ملاحظه و معنی داری در افزایش آپوپتوز ندارد.

وازگان کلیدی: آلزایمر، آپوپتوز، رژیم پر کلسترول، آهن

ارجاع: دشتی غلامرضا، رشیدی بهمن، رئیسی پرهام، راهافروز لیلا. بررسی تأثیر آهن و رژیم غذایی پر کلسترول بر آپوپتوز در شکنج دندانه دار از تشکیلات هایپوکامپ. مجله دانشکده پزشکی اصفهان ۱۳۹۴: ۳۳(۳۴۹): ۱۴۵۹-۱۴۶۷

مقدمه

آهن، یکی از مهم ترین ترکیبات موجود در بدن انسان، به خصوص در بافت مغز و کبد می باشد. ثابت شده است که افزایش غیر طبیعی آهن در مغز، سبب

- ۱- دانشیار، گروه علوم تشریعی، دانشکده پزشکی، دانشگاه علوم پزشکی اصفهان، اصفهان، ایران
- ۲- دانشیار، گروه فیزیولوژی، دانشکده پزشکی، دانشگاه علوم پزشکی اصفهان، اصفهان، ایران
- ۳- دانشجوی پزشکی، دانشکده پزشکی و کمیته تحقیقات دانشجویی، دانشگاه علوم پزشکی اصفهان، اصفهان، ایران

Email: leila_afrouz@outlook.com

نویسنده مسؤول: لیلا راهافروز

سلول‌ها می‌شود و متابولیت‌های کلسترول نیز در ایجاد اثرات سیتوکسیک و تولید اکسیژن واکنش پذیر نقش مهمی دارند (۵). این اثرات، در مجموع سبب فعال‌سازی واسطه‌های التهابی و کاهش انعطاف پذیری غشای سلول‌های عصبی، پلاستیستی سیناپسی و در نهایت مرگ سلول‌های عصبی خواهد شد (۱۱). شیوع بالاتر بیماری‌های نورودژنراتیو مانند آلزایمر در کشورهای غربی، می‌تواند در ارتباط با رژیم غذایی پر کلسترول و چرب در این کشورها باشد (۵).

با توجه به اثرات اکسیدان و آپوپتوتیک کلسترول، هدف از این مطالعه، بررسی اثرات آهن و کلسترول بر آپوپتوز سلول‌های عصبی در شکنج دندانه‌دار هیپوکامپ رت‌های تغذیه شده با رژیم غذایی پر کلسترول و آهن بود.

روش‌ها

حیوانات مورد مطالعه رت‌های نر از نژاد سفید نیوزلندری با وزن 200 ± 200 گرم بود.

روش کار بدین صورت بود که در ابتدا آزمودنی‌ها در شرایط سیکل تاریکی و روشنی به صورت ۱۲ ساعته و غذا و آب بدون هیچ محدودیتی نگهداری شدند. سپس رت‌ها به طور تصادفی به چهار گروه تقسیم شدند:

۱. گروه اول غذای معمول (شاهد)
۲. گروه دوم غذای پر کلسترول (حاوی کلسترول ۲ درصد)
۳. گروه سوم غذای معمول و آهن (50 mg/kg)
۴. گروه چهارم غذای پر کلسترول و آهن (حاوی کلسترول ۲ درصد و 50 mg/kg آهن)

متلا به آلزایمر می‌باشند (۳). پراکسید هیدروژن، یکی از رادیکال‌های آزاد است و می‌تواند به وسیله‌ی گلوتاتیون دفع شود. در حضور آهن آزاد در پلاسمما، پراکسید هیدروژن به یون هیدروکسیل اکسیده می‌شود که از رادیکال‌های آزاد با قدرت بالا و خطرناک می‌باشد. این رادیکال آزاد، پروتئین و چربی موجود در غشای سلولی را اکسید می‌کند که منجر به عدم یکپارچگی سلول و در نهایت مرگ آن خواهد شد (۳-۴).

کلسترول نیز نقش مهمی در پاتوژن بیماری آلزایمر ایفا می‌کند (۵-۷). کلسترول، یک لیپید سلولی است که جهت فعالیت سلولی عصبی و نیز سلول‌های گلیا در مغز ضروری است. این ترکیب، در تنظیم فعالیت آنزیم‌های متصل به غشا، گیرنده‌ها، کانال‌های یونی، اندوسیتوز، بیان آنتیژن‌ها و پایداری میکروتوبول‌ها در سلول‌های عصبی نقش دارد (۸-۹). از طرفی، اختلال در هموستانز کلسترول، سبب ایجاد بیماری‌های نورودژنراتیو مانند آلزایمر و نیمن پیک تیپ C خواهد شد (۱۰).

بارزترین علامت بیماری آلزایمر، تجمع غیر طبیعی پروتئین - β -آمیلوئید در نواحی خاصی از مغز می‌باشد. تولید و نیز کلیرانس این پروتئین توسط سطح سلولی کلسترول تنظیم می‌شود (۱۱). سطح افزایش یافته‌ی کلسترول، سبب افزایش این پروتئین در سلول‌های مغز مدل‌های حیوانی متلا به آلزایمر خواهد شد (۱۲). مهم‌ترین عوامل خطر ژنتیکی که در ایجاد بیماری آلزایمر نقش دارد، جهش روی ژن مربوط به آپولیپوپروتئین E (Apolipoprotein E) یا APOE است که نقش کلیدی در تنظیم کلسترول دارد (۷). سطح افزایش یافته‌ی کلسترول در سلول‌های عصبی، سبب القای استرس اکسیدان در این

اسلایدها برای مدتی حدود ۱۲۰-۳۰ دقیقه در اون (Oven) با دمای ۵۸-۵۶ °C قرار گرفت تا پارافین مقطع بافتی ذوب شود و علاوه بر آن، بافت به خوبی بر روی لام بچسبد و در حین رنگآمیزی جدا نشود. سپس برای تشخیص سلول‌های آپوپتویک، از روش Terminal deoxynucleotidyl transferase biotin-dUTP nick end labeling (TUNEL) با استفاده از کیت‌های تشخیصی شرکت Roch و طبق دستورالعمل شرکت تولید کننده استفاده گردید. بعد از فاصله‌ی کوتاهی از برداشتن پارافین (Dewaxation)، اسلایدها با پروتئیناز k تیمار شد و در دمای کردن، اسلایدها با PBS در دمای ۳۷ °C به مدت ۳۰ دقیقه انکوبه شد. سپس اسلایدها با محلول PBS (Phosphate-buffered saline) در دمای ۲۵ °C شستشو داده شد و در محلول حاوی Tris-HCL ۰/۱ M در pH ۷ به مدت ۳۰ دقیقه در PBS دمای اتاق قرار گرفت و سپس دوباره با محلول TUNEL شستشو داده شد. سپس ترکیب واکنشی اضافه شد و به مدت ۶۰ دقیقه در دمای ۳۷ °C در محفظه‌ی مرطوب انکوبه گردید.

در مرحله‌ی بعد، اسلایدها شسته و دی آمینو-بنزیدین (DAB) یا Diaminobenzidine برای مدت ۳۰-۱۵ دقیقه در دمای اتاق اضافه شد. بعد از آن، با آب شیر شستشو داده شد و با هماتوکسیلین رنگ زمینه‌ای انجام شد. سپس نمونه‌ها در گزیل شفافسازی گردید و با ریختن یک یا دو قطره چسب کانادا بالزالام یا انتلان روی برش، با دقت لامل روی برش گذاشته و با فشار مختصر چسب پخش شد تا به طور یکنواخت و بدون حباب، هوا زیر لامل قرار گیرد. لام‌ها تمیز شد و پس از خشک شدن چسب، نمونه‌ها برای مطالعه با میکروسکوپ نوری

هر گروه به مدت ۶ هفته رژیم غذایی را دریافت کردند و در مرحله‌ی بعد، پس از بیهوش کردن و جدا کردن سر حیوان، مغز از جمجمه خارج و پس از تثیت در فرم‌آلدهید ۴ درصد بافر شد و پس از پاساز بافتی، در پارافین قالب‌گیری شد.

آماده‌سازی نمونه‌ها برای میکروسکوپ نوری: برای این که روند تثیت به خوبی انجام گیرد، ابعاد نمونه‌ها تا حد امکان کوچک انتخاب گردید و حجم تثیت کننده حدود ۱۰۰-۵۰ میکرومتری بود و نمونه‌ها به مدت ۷۲ ساعت در تثیت کننده باقی ماندند. مواد تشکیل دهنده‌ی تثیت کننده شامل ۱۰۰ cc فرمالین ۹۰۰ cc آب مقطمر، ۴ g سدیم فسفات مونوبازیک، ۶/۵ g سدیم فسفات دی‌بازیک بودند. سپس مراحل پاساز یا گرددش بافت بر اساس روش‌های متداول شامل آب‌گیری (Dehydration)، شفافسازی (Leering C)، آغشتگی (Impregnation) و قالب‌گیری (Embedding) انجام گرفت.

برای تهیه مقاطع میکروسکوپی، نمونه‌ها در بلوك‌های پارافینی قالب گیری شدند. برای این منظور از قطعات Luckhart استفاده شد. برای قالب‌گیری ابتدا لازم است که پارافین ذوب شود و پارافین مذاب به درون قالب تهیه شده ریخته شود و سپس نمونه‌ی بافت به وسیله‌ی یک پنس گرم برداشته و در جهت (Orientation) مناسب در پارافین قرار داده شود. بدین ترتیب، نمونه در داخل بلوك پارافینی آماده‌ی برش می‌گردد.

برش یا مقطع‌گیری (Sectioning): با میکروتوم دوار (Rotary) مقاطعی به ضخامت ۳-۵ μ تهیه گردید. روی لام، چند قطره الکل ۱۰ درصد ریخته شد و یک سری ۴-۶ تایی از مقاطع تهیه شده روی آن باز گردید.

و نیز کلسترول و آهن، سطح کلسترول به طور معنی داری بالا رفت (به ترتیب $P = 0.001$ و < 0.001) (شکل ۱).

میانگین سطح سرمی LDL قبل از مداخله، در چهار گروه تحت مطالعه طبق آزمون One-way ANOVA، اختلاف معنی داری نداشت ($P = 0.770$)؛ اما بعد از مداخله، در گروه های دریافت کننده کلسترول، تفاوت معنی دار وجود داشت ($P < 0.001$) (شکل ۲).

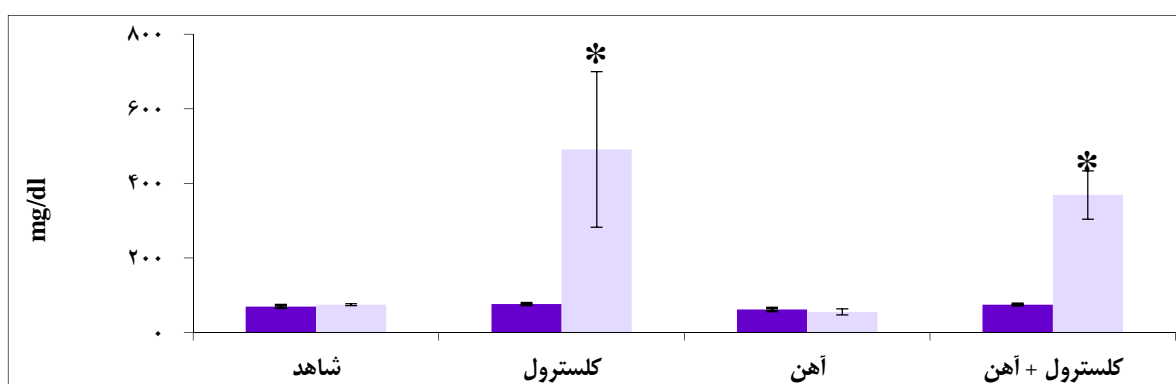
طبق آزمون One-way ANOVA، میانگین سطح سرمی HDL قبل از مداخله، اختلاف معنی داری در چهار گروه نداشت؛ اما بعد از مداخله، در گروه های دریافت کننده کلسترول، اختلاف معنی دار مشاهده شد (شکل ۳). از طرف دیگر، آزمون Repeated measures ANOVA تغییرات سطح کلسترول، LDL و HDL در چهار گروه مذکور اختلاف معنی دار دارد.

انجام آزمون تعقیبی LSD بر روی داده ها نشان داد که در صد آپوپتوز سلولی بین دو گروه شاهد و دریافت کننده آهن، اختلاف معنی دار نداشت، اما در صد آپوپتوز سلولی در گروه دریافت کننده کلسترول نسبت به گروه شاهد، اختلاف معنی دار داشت (شکل ۴).

آماده شد. سپس با استفاده از دوربین متصل به میکروسکوپ نوری عکس برداری شد و با استفاده از نرم افزار تصویری Motic شمارش سلول های آپوپتوزیک انجام شد. نتایج بافتی با استفاده از آزمون های Non parametric one-way ANOVA و Dunn's multiple comparisons test for post test Kruskal-Wallis و نتایج سطح سرمی کلسترول تام، HDL (Low-density lipoprotein) LDL و (High-density lipoprotein) با آزمون های Tukey و Repeated measures ANOVA آنالیز شد.

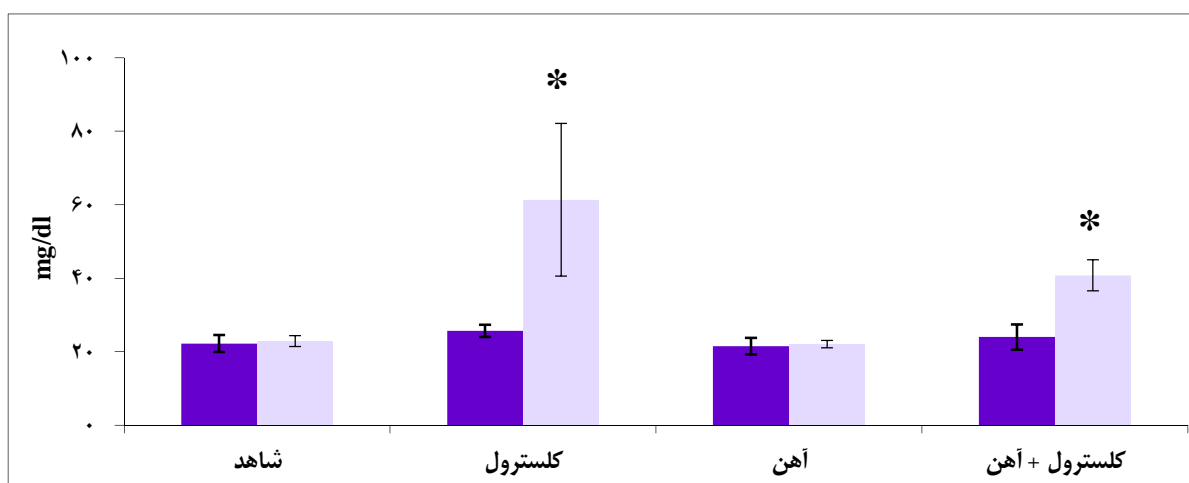
بافته ها

در این مطالعه، ۲۰ سررت نر در چهار گروه ۵ تایی مورد مطالعه و بررسی قرار گرفتند. میانگین سطح کلسترول قبل از مداخله در چهار گروه شاهد، آهن، پر کلسترول و نیز پر کلسترول و آهن، طبق آزمون One-way ANOVA بعد از مداخله، در سطح سرمی کلسترول در گروه های دریافت کننده کلسترول، تفاوت معنی دار مشاهده گردید. از طرف دیگر، سطح کلسترول در گروه شاهد و گروه آهن نسبت به قبل از مداخله، تفاوت محسوسی پیدا نکرد؛ اما در دو گروه رژیم پر کلسترول

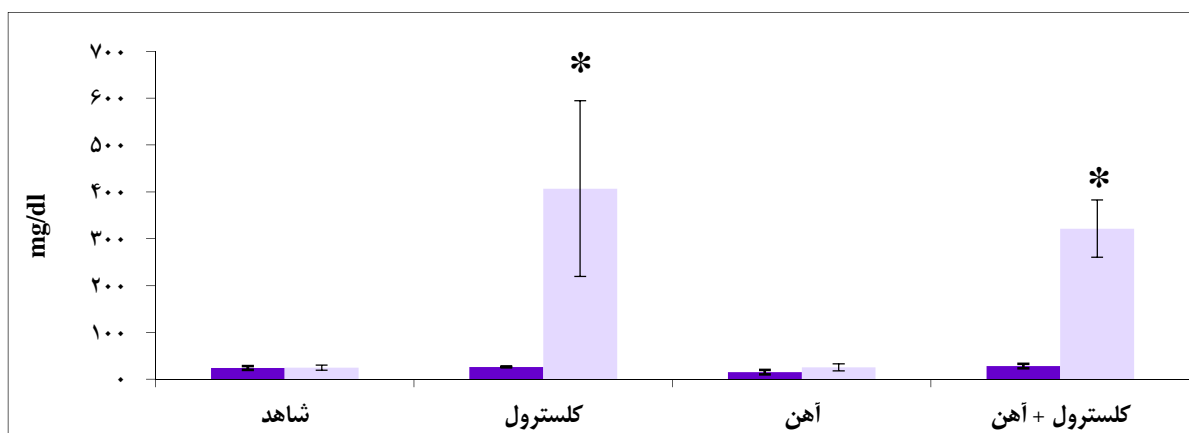


شکل ۱. سطح سرمی کلسترول در گروه های مورد مطالعه قبل و بعد از دریافت رژیم پر کلسترول

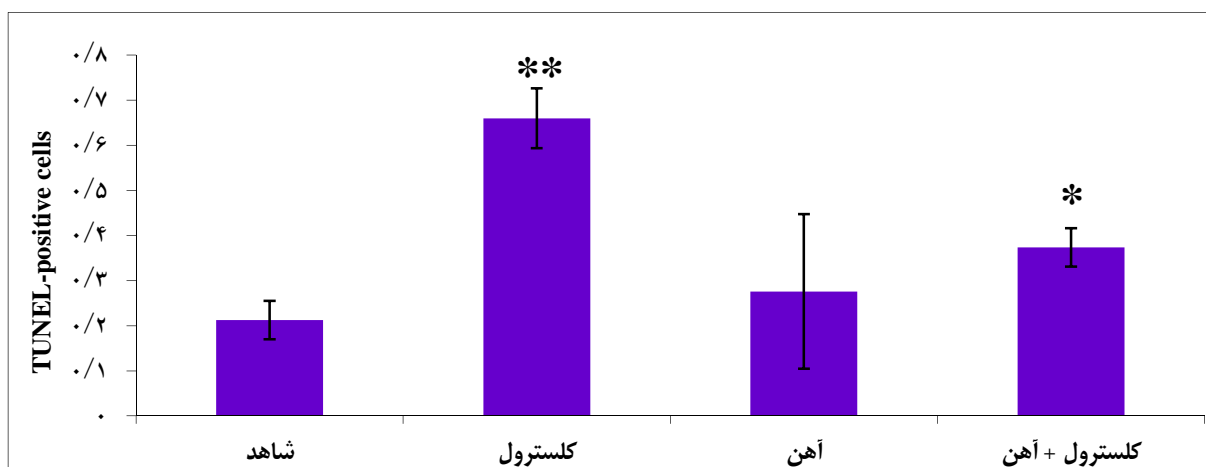
$P < 0.05$: در مقایسه با گروه شاهد)



شکل ۲. سطح سرمی (High density lipoprotein) HDL در گروههای مورد مطالعه قبل و بعد از دریافت رژیم پر کلسترول

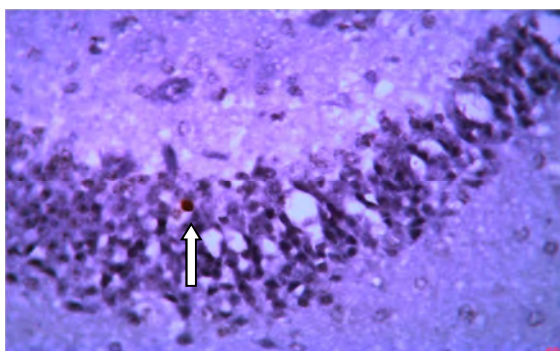
 $P < 0.05$: در مقایسه با گروه شاهد ($n = 5$)

شکل ۳. سطح سرمی (Low density lipoprotein) LDL در گروههای مورد مطالعه قبل و بعد از دریافت رژیم پر کلسترول

 $P < 0.05$: در مقایسه با گروه شاهد ($n = 5$)

شکل ۴. میزان آپوپتوز در سلول‌های لایه‌ی گرانولوزای هایپوکامپ رت‌ها قبل و بعد از دریافت رژیم پر کلسترول

 $P < 0.05$: در مقایسه با گروه شاهد ($n = 5$)



شکل ۷. فتو میکرو گراف از ناحیه هسته دندانه ای در هایپو کامپ در گروه دریافت کننده کلسترول به همراه آهن با رنگ آمیزی

TUNEL ایمونو هیستوشیمیابی

Terminal deoxynucleotidyl transferase biotin-) (dTUTP nick end labeling

سلول های آپوپتویک به صورت قهوه ای رنگ مشخص است.
بزرگنمایی $\times 40$

بحث

هدف کلی از انجام این مطالعه، تعیین تأثیر آهن و رژیم غذایی پر کلسترول بر آپوپتوز در شکنج دندانه دار از تشکیلات هایپو کامپ بود. مقایسه های سطح سرمی کلسترول، LDL و HDL در بین گروه ها نشان دهنده آن است که این عامل در تمامی گروه ها قبل از شروع رژیم ها یکسان بوده است. پس از دریافت رژیم پر کلسترول به مدت ۶ هفته، سطح سرمی کلسترول، LDL و HDL در گروه پر کلسترول و نیز گروه پر کلسترول و آهن افزایش قابل توجهی نسبت به قبل از شروع رژیم در همان گروه ها و نیز نسبت به گروه شاهد داشت. علاوه بر این، مصرف آهن در گروه پر کلسترول و آهن نیز سبب کاهش قابل ملاحظه هی سطح سرمی کلسترول، LDL و HDL نشد.

در این بررسی، کلسترول سبب افزایش معنی دار در میزان مرگ سلول های عصبی در تشکیلات دندانه دار هایپو کامپ گردید؛ ولی استفاده از آهن سبب کاهش

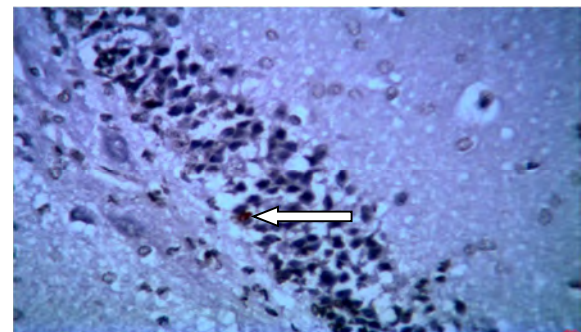
نتایج بررسی های بافت شناسی نشان داد که کلسترول سبب افزایش قابل ملاحظه در میزان مرگ سلول های عصبی در تشکیلات دندانه دار هایپو کامپ گردید ($P < 0.05$) (شکل ۵ و ۶).



شکل ۵. فتو میکرو گراف از ناحیه هسته دندانه ای در هایپو کامپ با رنگ آمیزی ایمونو هیستوشیمیابی TUNEL

Terminal deoxynucleotidyl transferase biotin-)

(dTUTP nick end labeling $\times 40$



شکل ۶. فتو میکرو گراف از ناحیه هسته دندانه ای در هایپو کامپ گروه دریافت کننده کلسترول با رنگ آمیزی ایمونو هیستوشیمیابی

Terminal deoxynucleotidyl TUNEL

(transferase biotin-dUTP nick end labeling

سلول های آپوپتویک به صورت قهوه ای رنگ مشخص است.
بزرگنمایی $\times 40$

استفاده از آهن سبب کاهش معنی دار در میزان مرگ سلول های عصبی در تشکیلات هایپو کامپ نشد؛ میزان آپوپتوز سلولی، بین گروه های پر کلسترول و پر کلسترول و آهن تفاوت معنی داری نداشت (شکل ۷).

عهده دارد. این ماده در تشکیل میوگلوبین نیز نقش دارد که ماده‌ی رنگی موجود سلول‌های عصبانی است و اکسیژن را برای استفاده در موقعیت فعالیت ذخیره می‌کند. بیشترین میزان تجمع آهن در مغز، در سلول‌هایی دیده می‌شود که غلاف میلین را تولید می‌کنند و تخریب غلاف میلین، سبب از بین رفتن سلول‌های مغزی و تشدید آلزایمر می‌گردد (۱۱).

این تأثیر، ناشی از اثرات اکسیداتیو عنصر آهن بر روی سیستم عصبی می‌باشد (۴). در مجموع، مطالعه‌ی حاضر نشان داد که به دنبال مصرف کلسترول، آپوپتوز به شدت افزایش می‌یابد و رژیم پر آهن به تنها بی، نتوانسته تغییری در آپوپتوز ایجاد کند، نیز زمانی که با کلسترول به کار رفت، تأثیر محسوسی در مرگ سلول‌ها نداشت. با توجه به آن که این مطالعه بر روی حیوانات سالم انجام گرفت، به نظر می‌رسد شرایطی چون مدت و زمان دریافت نیز نقش بهسزایی دارد.

تشکر و قدردانی

این مقاله حاصل پایان‌نامه‌ی دوره‌ی دکترای حرفه‌ای لیلا راهفروز به شماره‌ی ۲۹۰۳۳۶ در دانشگاه علوم پزشکی اصفهان است که در معاونت تحقیقات و فناوری این دانشگاه تصویب و اجرا شده است. بدین وسیله، نویسنده‌گان از حمایت‌های بسیاری این معاونت تشکر و قدردانی می‌نمایند.

معنی دار در میزان مرگ سلول‌های عصبی در تشکیلات هایپوکامپ نشد. یافته‌های این مطالعه، تأیید کننده‌ی نتایج مطالعات قبلی بود (۱۱). این نتایج نشان می‌دهند که مصرف بیش از حد کلسترول می‌تواند سبب افزایش آپوپتوز و مرگ سلول‌های عصبی در لایه‌ی گرانولوزا از سلول‌های هایپوکامپ رت‌های نر شود. هایپرکلسترولمی، عامل خطر مهمنی در ایجاد بیماری آلزایمر شناخته شده است (۵، ۷)؛ به طوری که این ترکیب، در تنظیم فعالیت آنزیم‌های متصل به غشا، گیرنده‌ها، کانال‌های یونی، اندوستیوز، بیان آنتی‌زن‌ها و پایداری میکروتوبول‌ها در سلول‌های عصبی نقش دارد (۸-۹) و اختلال در هموستاز کلسترول، سبب ایجاد بیماری‌های نورودژنراتیو خواهد شد (۱۰).

از این رو، می‌توان چنین نتیجه‌گیری نمود که بالا بودن سطح کلسترول (حداقل در مدل حیوانی) باعث افزایش سطح آپوپتوز سلولی می‌شود و بدین طریق، با تسريع دژنراسیون سلول‌های مغزی، در بروز بیماری‌هایی مانند آلزایمر نقش قابل توجهی دارد. آهن، یکی از مهم‌ترین ترکیبات موجود در بدن انسان، به خصوص در بافت مغز و کبد می‌باشد که در بدن انسان تولید نمی‌شود؛ بلکه از طریق تغذیه وارد بدن می‌گردد. این عنصر حیاتی، نقش مهمی در تشکیل گوییچه‌های قرمذخون دارد و یک جزء حیاتی از هموگلوبین است که وظیفه‌ی حمل اکسیژن را به

References

- Bostanci MO, Bas O, Bagirici F. Alpha-tocopherol decreases iron-induced hippocampal and nigral neuron loss. *Cell Mol Neurobiol* 2010; 30(3): 389-94.
- Gerlach M, Ben-Shachar D, Riederer P, Youdim MB. Altered brain metabolism of iron as a cause of neurodegenerative diseases? *J Neurochem* 1994; 63(3): 793-807.
- Samudralwar DL, Diprete CC, Ni BF, Ehmann WD, Markesberry WR. Elemental imbalances in the olfactory pathway in Alzheimer's disease. *J Neurol Sci* 1995; 130(2): 139-45.
- Qian Z, Wang Q, Pu Y. Brain iron and neurological disorders. *Chin Med J (Engl)* 1997;

- 110(6): 455-8.
5. Bosco DA, Fowler DM, Zhang Q, Nieva J, Powers ET, Wentworth P, et al. Elevated levels of oxidized cholesterol metabolites in Lewy body disease brains accelerate alpha-synuclein fibrilization. *Nat Chem Biol* 2006; 2(5): 249-53.
 6. Crisby M, Rahman SM, Sylven C, Winblad B, Schultzberg M. Effects of high cholesterol diet on gliosis in apolipoprotein E knockout mice. Implications for Alzheimer's disease and stroke. *Neurosci Lett* 2004; 369(2): 87-92.
 7. Fuentes F, Lopez-Miranda J, Sanchez E, Sanchez F, Paez J, Paz-Rojas E, et al. Mediterranean and low-fat diets improve endothelial function in hypercholesterolemic men. *Ann Intern Med* 2001; 134(12): 1115-9.
 8. Jansen S, Lopez-Miranda J, Castro P, Lopez-Segura F, Marin C, Ordovas JM, et al. Low-fat and high-monounsaturated fatty acid diets decrease plasma cholesterol ester transfer protein concentrations in young, healthy, normolipemic men. *Am J Clin Nutr* 2000; 72(1): 36-41.
 9. Corrigan FM, Van Rhijn AG, Macintyre F, Skinner ER, Horrobin DF. Dietary supplementation with zinc sulphate, sodium selenite and fatty acids in early dementia of Alzheimer's type. II: Effects on Lipids. *Journal of Nutritional Medicine* 1991; 2(3): 265-71.
 10. Yanagisawa K. Cholesterol and amyloid beta fibrillogenesis. *Subcell Biochem* 2005; 38: 179-202.
 11. Ghribi O, Golovko MY, Larsen B, Schrag M, Murphy EJ. Deposition of iron and beta-amyloid plaques is associated with cortical cellular damage in rabbits fed with long-term cholesterol-enriched diets. *J Neurochem* 2006; 99(2): 438-49.
 12. Lindqvist A, Mohapel P, Bouter B, Frielingsdorf H, Pizzo D, Brundin P, et al. High-fat diet impairs hippocampal neurogenesis in male rats. *Eur J Neurol* 2006; 13(12): 1385-8.

The Effect of Iron and Cholesterol on Neuronal Apoptosis in Dentate Gyrus of Hippocampus in Rabbits Fed with High-Cholesterol Diet

Gholam Reza Dashti PhD¹, Bahman Rashidi PhD¹, Parham Reisi PhD², Leila Rah-Afrouz³

Original Article

Abstract

Background: Some of the studies showed that abnormal high level of iron and cholesterol in the brain had neurodegenerative effects such as in Alzheimer's disease. But, the previous studies in this field were not enough and had controversy in results. As the prevalence of Alzheimer's disease is increasing, this study aimed to evaluate the effect of iron and cholesterol on the level of neuronal apoptosis in dentate gyrus of hippocampal formation.

Methods: Male New Zealand white rabbits were divided into the control, the iron (50 mg/kg; gavage), the high-cholesterol diet (containing 2% cholesterol), and the high-cholesterol diet plus iron groups. Serum levels of total cholesterol, high-density lipoprotein (LDL), and low-density lipoprotein (HDL), before and after the regimen for 6 weeks, were measured. Then, the rabbits for immunohistochemical staining via TUNEL test (Terminal deoxynucleotidyl transferase biotin-dUTP nick end labeling) and evaluation of neuronal apoptosis in dentate gyrus of hippocampal formation were anesthetized and brains were dissected.

Findings: After the regimens, serum levels of total cholesterol, LDL, and HDL in the cholesterol-receiving groups increased significantly compared to the control group ($P < 0.05$ for all). Histological results demonstrated that neuronal apoptosis in the dentate gyrus of the high-cholesterol diet group increased significantly ($P < 0.05$) comparing to the control group. Iron had not significant effect when used alone or with cholesterol on neuronal apoptosis in the dentate gyrus in rabbits.

Conclusion: Our recent results showed that high-level cholesterol diet had significant effect on the neuronal apoptosis in the dentate gyrus in rabbits; but use of iron alone or with high-level cholesterol diet had not significant effect on it.

Keywords: Apoptosis, Alzheimer's disease, Cholesterol, Iron

Citation: Dashti GhR, Rashidi B, Reisi P, Rah-Afrouz L. The Effect of Iron and Cholesterol on Neuronal Apoptosis in Dentate Gyrus of Hippocampus in Rabbits Fed with High-Cholesterol Diet. J Isfahan Med Sch 2015; 33(349): 1459-67

1- Associate Professor, Department of Anatomical Sciences, School of Medicine, Isfahan University of Medical Sciences, Isfahan, Iran
2- Associate Professor, Department of Physiology, School of Medicine, Isfahan University of Medical Sciences, Isfahan, Iran

3- Student of Medicine, School of Medicine AND Student Research Committee, Isfahan University of Medical Sciences, Isfahan, Iran

Corresponding Author: Leila Rah-Afrouz, Email: leila_afrouz@outlook.com

بررسی تأثیر پیش دارویی خوراکی آلپرازولام بر کنترل فشار خون بیماران مبتلا به پرفشاری خون حین عمل جراحی

دکتر پروین ساجدی^۱، مرتضی رضایی^۲

مقاله پژوهشی

چکیده

مقدمه: یکی از مشکلات بزرگ در جراحی بزرگسالان، فشار خون می‌باشد. بیماران با پرفشاری خون، در خطر عوارضی همچون ایسکمی میوکارد، آسیب‌های کلیوی، افزایش فشار خون در ریکاوری و آسیب عروق مغزی می‌باشند. با توجه به نتایج مثبت بنزودیازین‌ها در کاهش این عارضه، بر آن شدیدم تا اثر آلپرازولام بر کنترل فشار خون بیماران مبتلا به پرفشاری خون، حین عمل جراحی تحت بیهوشی عمومی را بررسی کنیم.

روش‌ها: این پژوهش کارآزمایی بالینی، در سال ۱۳۹۳ در مرکز آموزشی - درمانی الزهرا (س) اصفهان به انجام رسید. افراد مورد مطالعه، بیماران مبتلا به پرفشاری خون کاندید عمل جراحی الکتیو با دامنه سنی ۵۴ تا ۷۶ سال بودند. بیماران به طور تصادفی به دو گروه شاهد و مداخله تقسیم شدند. به گروه مداخله، یک قرص آلپرازولام ۰/۵ میلی‌گرمی به صورت خوراکی داده شد و در گروه شاهد، دارویی تجویز نشد. فشار خون سیستولی و دیاستولی، قبل و حین عمل، میزان مصرف مخدر و شدت درد در ریکاوری و مدت زمان اکستوباسیون و خروج از ریکاوری بررسی و مقایسه شد.

یافته‌ها: افزایش فشار خون در گروه مداخله، به طور معنی‌داری در ۴۰ دقیقه‌ی اول جراحی کمتر بود ($P = 0.001$). شدت درد $0.001 = P$ و میزان مصرف مخدر $0.001 = P$ ، در گروه مداخله به طور معنی‌داری کمتر بود.

نتیجه‌گیری: طبق نتایج این مطالعه، آلپرازولام تأثیر مطلوبی بر کنترل فشار خون حین عمل جراحی و کاهش شدت درد در ریکاوری داشته است و در صورتی که منع مصرفی نداشته باشد، می‌توان آن را به عنوان پروفیلکسی تجویز نمود.

وازگان کلیدی: آلپرازولام، فشار خون بالا، القای بیهوشی، ریکاوری، بیماران مبتلا به پرفشاری خون

ارجاع: ساجدی پروین، رضایی مرتضی. بررسی تأثیر پیش دارویی خوراکی آلپرازولام بر کنترل فشار خون بیماران مبتلا به پرفشاری

خون حین عمل جراحی. مجله دانشکده پزشکی اصفهان ۱۳۹۴؛ ۳۳(۳۴۹): ۱۴۶۸-۱۴۷۴

مقدمه

بنا بر آمارهای موجود، ۲۴/۶ درصد جمعیت جهان دچار پرفشاری خون می‌باشند (۱). وجود پرفشاری خون، می‌تواند سبب پاسخ‌های قلبی - عروقی مختلفی شود که خطر عمل جراحی را افزایش می‌دهند. این پاسخ‌ها، شامل اختلال عملکرد دیاستولیک به دلیل

بزرگی بطن چپ قلب، اختلال عملکرد سیستولیک به دلیل نارسایی احتقانی قلب، آسیب کلیوی و بیماری‌های انسدادی کرونری و عروق مغزی هستند. سطح خطر، به شدت فشار خون بستگی دارد (۲). متوسط فشار خون طی روند بیهوشی، به دلایل مختلفی از جمله اثرات مستقیم بیهوشی، مهار سیستم

۱- استاد، گروه بیهوشی، دانشکده پزشکی، دانشگاه علوم پزشکی اصفهان، اصفهان، ایران

۲- دانشجوی پزشکی، دانشکده پزشکی و کمیته تحقیقات دانشجویی، دانشگاه علوم پزشکی اصفهان، اصفهان، ایران

Email: sajedi@med.mui.ac.ir

نویسنده‌ی مسؤول: دکتر پروین ساجدی

صرف (خوراکی)، اوج اثر آن ۱-۲ ساعت و نیمه‌ی عمر آن ۱۲-۱۵ ساعت می‌باشد (۹).

با توجه به این که کنترل فشار خون بالای بعد از عمل، مشکل است و نیز موجب افزایش هزینه‌های بیمار و تأخیر در ترخیص از ریکاوری می‌شود؛ این مطالعه با هدف بررسی اثر پیش‌داروی خوراکی آپرازولام ۰/۵ میلی‌گرم بر روی کنترل فشار خون بیماران مبتلا به پرفشاری خون، قبل، حین و بعد از عمل و نیز در ریکاوری انجام شد.

روش‌ها

این مطالعه، پس از تصویب پیش‌نویس طرح و اخذ موافقت کمیته‌ی اخلاق پژوهشی دانشگاه علوم پزشکی اصفهان، در مرکز آموزشی - درمانی الزهرا (س) اصفهان در سال ۱۳۹۳ به انجام رسید. ۹۸ بیمار به روش تصادفی سازی بلوکی انتخاب و به دو گروه ۴۸ نفره تقسیم شدند. برای گروه اول، نیم ساعت قبل از عمل یک قرص آپرازولام ۰/۵ میلی‌گرم خوراکی تجویز شد. برای گروه شاهد، از هیچ دارویی استفاده نشد. پارامترهای فشار خون سیستولی و دیاستولی، قبل از القای بیهوشی، بعد از لوله‌گذاری تراشه و هر ۱۰ دقیقه یک بار حین بیهوشی، در دو گروه تعیین گردید. همچنین، تعداد ضربان قلب، تعداد تنفس و درصد اشباع اکسیژن قبل و حین عمل در دو گروه ثبت گردید. میزان صرف مخدر و شدت درد در ریکاوری، مدت زمان اکستوپاسیون و خروج از ریکاوری نیز ثبت گردید. معیارهای ورود به مطالعه، شامل بیماران مبتلا به افزایش فشار خون اولیه‌ی تحت کنترل با داروهای ضد فشار خون که به شرکت در مطالعه تمایل داشتند، بود. معیارهای خروج از مطالعه شامل ابتلا به

عصبي سمپاتيك و کاهش کنترل رفلکس گیرنده‌ی بارو کاهش می‌یابد. اين تغييرات، می‌توانند در اپيزودهای کاهش فشار خون طی عمل جراحی دیده شوند. بيماراني که از قبل پرفشاري خون دارند، با احتمال بيشتر، تغييرات طی عمل جراحی (افزايش و يا کاهش فشار خون) را تجربه می‌کنند که می‌تواند منجر به ايسكمی ميوکارد قلب شود (۳-۴). اغلب بيماراني که پرفشاري خون دارند، دچار کاهش فشار خون جدي بعد از القای بیهوشی و پاسخ‌های شديد فشاری به استرس‌هایی مثل لارنگوسکوپی، ايتوباسيون، برش جراحی و اكتوباسيون می‌شوند. افزایش فشار خون در تعقیب عواملی همچون تخفیف ناکافی درد و اتساع مثانه بیشتر می‌شود (۵). فعالیت سمپاتيك طی القای بیهوشی، می‌تواند فشار خون را به میزان ۲۰-۳۰ میلی‌متر جیوه و ضربان قلب را به اندازه‌ی ۱۵-۲۰ ضربه در دقیقه، در بيمار با فشار خون طبیعی افزایش دهد (۶). اين پاسخ، ممکن است در بيماران مبتلا به پرفشاري خون درمان نشده، به صورت افزایش ۹۰ میلی‌متر جیوه در فشار خون سیستولیک و افزایش ۴۰ ضربه در دقیقه برای ضربان قلب باشد (۷). بيماران دارای سابقه‌ی پرفشاري خون اولیه، در معرض بیشترین خطر برای پرفشاري خون سیستولیک قابل توجه در بخش ریکاوری می‌باشند (۷). علایمی وجود دارد که نشان می‌دهد بنزودیازپین‌ها می‌توانند نوسانات فشار خون را در بيماراني که پرفشاري خون ناپايدار دارند، تثبيت کنند (۸). آپرازولام یک بنزودیازپین است که از طریق دپرسیون سیستم عصبی مرکزی در سطح لیمبیک و زیر قشر مغز، اثر ضد اضطرابی خود را اعمال می‌کند. شروع اثر آن ۱۵-۳۰ دقیقه بعد از

یافته‌ها

میانگین سن بیماران در گروه شاهد و مورد به ترتیب $51/10 \pm 6/90$ و $67/96 \pm 6/90$ بود که طبق آزمون t از لحاظ آماری، تفاوت معنی داری نداشت ($P = 0.812$). در هر یک از گروه های شاهد و مورد، ۴۸ بیمار شامل ۲۴ زن و ۲۴ مرد بود که تفاوت معنی داری نداشت ($P = 1/000$).

طبق جدول ۱، فشار خون سیستولی در دقایق ۱۰، ۲۰، ۳۰ و ۴۰ در گروه مورد به ترتیب $142/64 \pm 5/78$ ، $135/64 \pm 4/99$ ، $137/30 \pm 6/60$ و $141/54 \pm 7/67$ و در گروه شاهد به ترتیب $149/85 \pm 5/37$ ، $140/78 \pm 4/58$ ، $149/59 \pm 7/12$ و $148/48 \pm 6/5$ بود که طبق آزمون t تفاوت معنی داری میان دو گروه مشاهده شد ($P = 0.001$). همچنین، میزان ضربان قلب، تعداد تنفس و اشبع اکسیژن در دو گروه، تفاوت معنی داری نداشت ($P > 0.050$).

در دقایق ۵۰ تا ۱۰۰ جراحی، پارامترهای فشار خون، ضربان قلب، تعداد تنفس و اشبع اکسیژن، تفاوت معنی داری نداشت ($P > 0.050$).

طبق جدول ۲ که نشان دهنده میزان مخدر دریافتی، زمان اکستوباسیون، خروج از ریکاوری و معیار VAS می باشد، شدت درد در گروه مورد و شاهد به ترتیب $1/33 \pm 5/10$ و $1/33 \pm 5/80$ بود که در گروه مورد به طور معنی داری کمتر بود ($P = 0.120$). میزان مصرف مخدر در گروه مورد و شاهد به ترتیب $15/49 \pm 23/64$ و $12/12 \pm 34/14$ میلی گرم بر کیلو گرم بود که در گروه مورد، به طور معنی داری کمتر بود ($P = 0.001$).

بیماری های ریوی، بروز عالیم آرژی مفترط به آپرازولام در بیمار، فوت بیمار در حین عمل و یا در ریکاوری، عمل جراحی طولانی تر از ۲ ساعت و پیدایش خونریزی بیش از میزان مجاز با نیاز به جایگزینی خون بود.

القای بیهوشی در بیماران با تیوپتال سدیم (۵ میلی گرم بر کیلو گرم)، آتروکوریوم (۰/۵ میلی گرم بر کیلو گرم)، فنتانیل (۱/۵ میکرو گرم بر کیلو گرم) و میدازولام (۰/۳ میلی گرم بر کیلو گرم) صورت گرفت و سپس ایتوباسیون انجام شد. میزان درد بیماران در (Visual analog scale) VAS اندازه گیری شد و در صورت > 3 ، پنیدن به میزان 0.05 میلی گرم بر کیلو گرم به صورت وریدی (Intravenous IV) به بیمار تزریق می شد.

در صورت $\geq 16/90$ BP، میزان داروهای دریافتی برای کنترل فشار خون، حین عمل و در ریکاوری در پرسشنامه ثبت می شد. داده های مطالعه با استفاده از چک لیست تهیه شده به همین منظور جمع آوری گردید. این پرسشنامه، شامل اطلاعات عمومی و دموگرافیک بیماران و همچنین اطلاعات مربوط به فشار خون، سوابق بیماری و روند تغییرات فشار خون، ضربان قلب، اشبع اکسیژن و میزان حجم مایعات و داروهای مخدر تسکینی و کنترل فشار خون بود. اطلاعات به دست آمده، در نهایت وارد رایانه شد و با استفاده از نرم افزار SPSS نسخه ۱۸ (version 18, SPSS Inc., Chicago, IL) تجزیه و تحلیل قرار گرفت. از آزمون t (جهت مقایسه داده های کمی شامل فشار خون، تعداد ضربان قلب، تعداد تنفس، میزان درد، اشبع اکسیژن و میزان داروی مخدر مصرفی) استفاده گردید.

جدول ۱. مقایسه‌ی فشار خون سیستول، دیاستول، متوسط و ضربان قلب در زمان‌های مختلف

ضربان قلب				تعداد تنفس				فشار خون دیاستول				فشار خون سیستول				اشاع اکسیژن			
P	مقدار	شاهد	مورد	P	مقدار	شاهد	مورد	P	مقدار	شاهد	مورد	P	مقدار	شاهد	مورد	P	مقدار	شاهد	مورد
۰/۸۸۱	۸۳/۲۹ ± ۴/۲۰	۸۳/۱۶ ± ۴/۲۰	۰/۸۱۷	۱۳/۳۰ ± ۱/۰۰	۱۳/۳۰ ± ۱/۰۵	۰/۹۶۰	۹۳/۲۰ ± ۴/۴۰	۹۳/۱۰ ± ۴/۴۰	۰/۶۸۹	۱۴۱/۸۰ ± ۳/۱۰	۱۴۱/۵۰ ± ۳/۳۰	۰/۷۹۶	۹۵/۴۰ ± ۲/۲۰	۹۵/۵۰ ± ۲/۱۰	قبل از شروع بیهوشی				
۰/۹۴۲	۸۰/۰۰ ± ۶/۹۰	۸۰/۱۰ ± ۶/۷۰	۰/۶۲۶	۱۲/۴۰ ± ۱/۳۴	۱۲/۵۰ ± ۱/۳۸	۰/۹۰۳	۷۱/۴۰ ± ۱۲/۰۶	۷۱/۷۰ ± ۱۲/۰۹	۰/۹۰۷	۱۲۱/۳۰ ± ۱۵/۹۰	۱۲۱/۷۰ ± ۱۶/۲۰	۰/۹۰۴	۹۴/۰۰ ± ۲/۳۰	۹۳/۹۳ ± ۲/۷۰	لحظه‌ی بیهوشی				
۰/۲۶۵	۹۳/۹۱ ± ۷/۰۰	۸۸/۱۴ ± ۷/۰۰	۰/۵۹۳	۱۰/۶۱ ± ۰/۰۰	۱۰/۵۲ ± ۰/۸۰	۰/۰۱۰	۹۳/۹۱ ± ۷/۰۰	۸۸/۱۴ ± ۷/۰۰	۰/۰۰۱	۱۴۹/۵۰ ± ۷/۱۰	۱۳۷/۳۰ ± ۶/۶۰	۰/۴۳۹	۹۶/۰۵ ± ۱/۸۰	۹۶/۸۰ ± ۱/۹۰	دقيقة‌ی ۱۰				
۰/۲۸۰	۸۵/۲۰ ± ۴/۸۳	۸۳/۷۵ ± ۶/۴۴	۰/۵۸۶	۱۱/۰۰ ± ۱/۱۰	۱۰/۸۷ ± ۱۲/۱۰	۰/۰۳۸	۸۹/۹۱ ± ۵/۵۷	۸۷/۳۹ ± ۶/۰۷	۰/۰۰۱	۱۴۰/۷۰ ± ۴/۵۸	۱۳۵/۶۰ ± ۴/۹۹	۰/۲۰۱	۹۵/۰۴ ± ۴/۸۷	۹۶/۰۴ ± ۲/۲۴	دقيقة‌ی ۲۰				
۰/۷۲۹	۸۵/۳۴ ± ۸/۱۸	۸۵/۹۳ ± ۸/۵۴	۰/۹۱۸	۱۰/۸۹ ± ۰/۷۸	۱۰/۸۷ ± ۰/۹۵	۰/۰۱۹	۹۳/۰۸ ± ۵/۵۹	۹۰/۰۴ ± ۶/۷۶	۰/۰۰۱	۱۴۹/۸۰ ± ۵/۳۷	۱۴۲/۶۰ ± ۵/۷۸	۰/۹۷۶	۹۴/۷۲ ± ۲/۳۰	۹۴/۷۰ ± ۲/۵۲	دقيقة‌ی ۳۰				
۰/۷۴۸	۸۷/۱۹ ± ۶/۸۳	۸۶/۷۲ ± ۷/۱۱	۰/۶۹۰	۱۱/۰۹ ± ۱/۳۴	۱۱/۴۷ ± ۱/۴۸	۰/۱۸۰	۹۵/۹ ± ۸/۸۷	۹۱/۲۵ ± ۹/۹۶	۰/۰۰۱	۱۴۸/۴۰ ± ۶/۵۰	۱۴۱/۰۵ ± ۷/۶۷	۰/۷۳۹	۹۵/۶۳ ± ۲/۲۳	۹۵/۷۹ ± ۲/۲۴	دقيقة‌ی ۴۰				
۰/۹۶۲	۹۰/۰۰ ± ۱۰/۵۰	۹۰/۰۰ ± ۱۰/۴۰	۰/۷۰۲	۱۱/۸۰ ± ۱/۲۰	۱۱/۷۰ ± ۱/۳۰	۰/۷۶۳	۹۵/۹۰ ± ۱۲/۵۰	۹۵/۱۰ ± ۱۲/۲۰	۰/۴۶۶	۱۵۰/۲۰ ± ۱۱/۹۰	۱۴۸/۰۰ ± ۱۲/۲۰	۰/۷۵۶	۹۵/۷۰ ± ۲/۴۲	۹۵/۵۴ ± ۲/۵۹	دقيقة‌ی ۵۰				
۰/۷۶۱	۹۲/۷۰ ± ۸/۹۰	۹۲/۱۰ ± ۹/۱۰	۰/۶۶۸	۱۱/۲۰ ± ۰/۹۰	۱۱/۲۰ ± ۰/۱۰	۰/۰۹۰	۱۰/۱۰۰ ± ۸/۵۰	۹۸/۰۰ ± ۸/۵۰	۰/۲۵۹	۱۵۲/۶۰ ± ۷/۱۰	۱۵۰/۸۰ ± ۸/۶۰	۰/۶۵۹	۹۵/۲۰ ± ۲/۲۰	۹۵/۰۲ ± ۲/۴۰	دقيقة‌ی ۶۰				
۰/۳۸۵	۹۱/۴۰ ± ۷/۷۰	۹۰/۰۸ ± ۷/۷۰	۰/۴۷۷	۱۱/۳۰ ± ۱/۲۰	۱۱/۱۰ ± ۱/۳۰	۰/۴۱۷	۹۶/۰۶ ± ۶/۶۰	۹۴/۹۰ ± ۶/۵۰	۰/۰۶۸	۱۵۵/۱۰ ± ۵/۴۰	۱۵۲/۹۰ ± ۶/۱۰	۰/۳۴۰	۹۴/۶۰ ± ۲/۴۰	۹۵/۰۶ ± ۲/۰۴	دقيقة‌ی ۷۰				
۰/۹۶۰	۹۱/۴۰ ± ۱۱/۰۸	۹۱/۵۰ ± ۱۱/۴۰	۰/۲۱۴	۱۱/۳۰ ± ۱/۱۰	۱۱/۱۰ ± ۰/۹۷	۰/۶۰۴	۹۵/۱۰ ± ۹/۱۰	۹۴/۱۰ ± ۱۰/۳۰	۰/۶۰۸	۱۵۲/۳۰ ± ۱/۱۰	۱۵۱/۱۰ ± ۱۱/۸۰	۰/۷۹۶	۹۵/۴۰ ± ۲/۲۰	۹۵/۵۰ ± ۲/۱۰	دقيقة‌ی ۸۰				
۰/۸۸۷	۸۹/۴۰ ± ۹/۴۰	۸۹/۱۰ ± ۹/۷۰	۰/۷۷۲	۱۱/۶۰ ± ۱/۲۰	۱۱/۵۰ ± ۱/۳۰	۰/۹۰۳	۹۵/۰۲ ± ۸/۹۰	۹۴/۷۰ ± ۹/۳۰	۰/۲۸۱	۱۴۹/۸۰ ± ۸/۶۰	۱۴۷/۹۰ ± ۸/۵۰	۰/۹۰۴	۹۴/۰۰ ± ۲/۳۰	۹۳/۹۰ ± ۲/۷۰	دقيقة‌ی ۹۰				
۰/۷۹۸	۸۸/۱۰ ± ۵/۸۰	۸۷/۸۰ ± ۶/۱۰	۰/۷۷۳	۱۱/۱۰ ± ۱/۰۶	۱۱/۰۸ ± ۱/۱۰	۰/۷۷۱	۹۲/۹۰ ± ۶/۳۰	۹۲/۵۰ ± ۶/۷۰	۰/۷۲۱	۱۴۸/۳۰ ± ۵/۸۰	۱۴۷/۸۰ ± ۵/۸۰	۰/۷۹۸	۹۴/۴۰ ± ۲/۵۰	۹۴/۵۰ ± ۲/۶۰	دقيقة‌ی ۱۰۰				

اعداد بر حسب میانگین ± انحراف معیار نوشته شده‌اند. آزمون آماری مورد استفاده آزمون t بود. $P < 0.05$ معنی دار نبود.

جدول ۲. میانگین سن، میزان مخدر، شدت درد، زمان اکستوپاسیون و خروج از ریکاوری

متغیر	مورد	شاهد	مقدار P
سن	۶۷/۹۶ ± ۵/۱۰	۶۸/۲۶ ± ۶/۹۰	۰/۸۱۲
میزان مخدر	۲۳/۶۴ ± ۱۵/۴۵	۳۴/۱۴ ± ۱۲/۱۲	۰/۰۰۱
زمان خروج لوله تراشه	۲۹/۶۴ ± ۵/۴۶	۲۹/۴۲ ± ۳/۸۰	۰/۸۲۱
زمان خروج از ریکاوری	۹۳/۸۳ ± ۳/۵۶	۹۴/۰۶ ± ۳/۲۱	۰/۷۴۱
شدت درد بر اساس VAS	۵/۱۴ ± ۱/۳۳	۵/۸۵ ± ۱/۳۳	۰/۱۲۰

اعداد بر حسب میانگین \pm انحراف معیار نوشته شده‌اند. آزمون آماری مورد استفاده آزمون t بود. $P < 0.05$ معنی دار نبود.

VAS: Visual analog scale

معنی داری در گروه مورد کمتر بود. همچنین، شدت درد و میزان مصرف مخدر نیز به طور معنی داری در گروه مورد کمتر بود.

نتایج مطالعات انجام شده نشان می‌دهد که بنزودیازپین‌ها به صورت پروفیلاکسی می‌توانند اثرات قابل ملاحظه‌ای در کنترل فشار خون داشته باشند.

Divac و همکاران، در مطالعه‌ای نشان دادند که مصرف بنزودیازپین‌ها ارتباط نزدیکی با فشار خون دارد. بیمارانی که علاوه بر داروهای ضد فشار خون، بنزودیازپین نیز دریافت می‌کردند، به طور واضح تعداد اقلام دارویی ضد فشار خون کمتری در مقایسه با بیماران دریافت کننده‌ی درمان دارویی ضد فشار خون تنها داشتند (۱۰).

و همکاران در مطالعه ای نشان دادند که Kruse مصرف بالای بنزودیازپین‌ها در کنترل فشار به خصوص در افراد مسن مؤثر است (۱۱). Dmitriev و همکاران در مطالعه ای اثبات کردند بنزودیازپین‌ها می‌توانند نوسانات فشار خون را در بیمارانی که بـ فشاری، خمن ناراندا، دارند، تنفس کنند (۸).

Divac و همکاران، در مطالعه ای به ارتباط بین بنزودیازپین‌ها و پرفشاری خون اشاره کردند و تأثیر دوز کم بنزودیازپین‌ها در کنترل فشار خون را در

مدت زمان اکستوپاسیون در گروه‌های مورد و شاهد به ترتیب $5/46 \pm 3/8$ و $29/42 \pm 3/8$ دقیقه بود که تفاوت معنی داری نداشت ($P = 0/820$). همچنین، مدت زمان خروج از ریکاوری در گروه‌های مورد و شاهد به ترتیب $3/56 \pm 3/21$ و $94/106 \pm 3/21$ دقیقه بود که تفاوت معنی داری در دو گروه مشاهده نشد ($P = 0/741$).

پخت

هدف از انجام این مطالعه، بررسی تأثیر پیش داروی خوراکی آلپرازولام بر کترل فشار خون بیماران مبتلا به پرفشاری خون حین عمل جراحی بود. در این مطالعه، بیماران به دو گروه مورد و شاهد تقسیم شدند و فشار خون بیماران، ضربان قلب، تعداد تنفس، اشباع اکسیژن، شدت درد، میزان مخدر دریافتی، زمان اکستوپاسیون و خروج از ریکاوری شت گردید.

میانگین سن بیماران و توزیع جنسی در دو گروه، تفاوت معنی داری نداشت که به احتمال زیاد، اثر مخدوش کنندگی آن را مهار نمود و نتایج به دست آمده را می توان به اثر داروی آلپرازولام ارتباط داد. طبق نتایج به دست آمده، افزایش فشار خون در ۴۰ دقیقه‌ی اول جراحی، به طور

تشکر و قدردانی

این مقاله حاصل پایان‌نامه‌ی دوره‌ی دکترای حرفه‌ای مرتضی رضایی به شماره‌ی ۳۹۴۰۳۶ مصوب دانشگاه علوم پزشکی اصفهان می‌باشد. با تشکر از مهندس مهرابی و کلیه‌ی کارکنان اتاق عمل بیمارستان الزهرا (س) اصفهان که ما را در انجام این طرح یاری کردند.

فوریت تحقیقات آینده قرار دادند (۱۲).

نتیجه‌گیری نهایی این که مطالعات انجام گرفته در دنیا و مطالعه‌ی حاضر، نشان می‌دهند که استفاده از آپرازولام به عنوان پیش دارو، می‌تواند از افزایش فشار حین عمل جراحی جلوگیری کند و از شدت درد و میزان مخدر مصرفی در ریکاوری بکاهد.

References

1. Varon J, Marik PE. Perioperative hypertension management. *Vasc Health Risk Manag* 2008; 4(3): 615-27.
2. Kaplan NM. Perioperative management of hypertension. UpToDate [Online]. [cited 2015 Sep]; Available from: URL: <http://www.uptodate.com/contents/perioperative-management-of-hypertension>.
3. Goldman L, Caldera DL. Risks of general anesthesia and elective operation in the hypertensive patient. *Anesthesiology* 1979; 50(4): 285-92.
4. Prys-Roberts C. Anaesthesia and hypertension. *Br J Anaesth* 1984; 56(7): 711-24.
5. Foex P, Sear JW. The surgical hypertensive patient. *Continuing Education in Anaesthesia*. *Crit Care Pain* 2004; 4(5): 139-43.
6. Wolfsthal SD. Is blood pressure control necessary before surgery? *Med Clin North Am* 1993; 77(2): 349-63.
7. Nicholau D. The post anesthetic care unit. In: Miller RD. *Miller's anaesthesia*. 7th ed. Philadelphia, PA: Elsevier; 2010. p. 2717.
8. Dmitriev KV, Fedorova VI, Nedostup AV. Clonazepam in the treatment of labile arterial hypertension in the elderly. *Ter Arkh* 2001; 73(3): 58-61. [In Russian].
9. Ghamarian A. *Pharmaceutical Information of Iran*. Tehran, Iran: Ghamarian Publications; 2010.
10. Divac N, Veljkovic S, Nesic Z, Stojanovic R, Bajcetic M, Vasiljevic Z, et al. Pattern of utilization of benzodiazepines in patients with hypertension: a pilot study. *Vojnosanit Pregl* 2006; 63(4): 370-5.
11. Kruse W, Rampmaier J, Frauenrath-Volkers C, Volkert D, Wankmuller I, Micol W, et al. Drug-prescribing patterns in old age. A study of the impact of hospitalization on drug prescriptions and follow-up survey in patients 75 years and older. *Eur J Clin Pharmacol* 1991; 41(5): 441-7.
12. Divac N, Jasovic M, Djukic L, Vujnovic M, Babic D, Bajcetic M, et al. Benzodiazepines utilization and self-medication as correlates of stress in the population of Serbia. *Pharmacoepidemiol Drug Saf* 2004; 13(5): 315-22.

Cotimparave Evaluation of Oral Alprazolam, as Premedication, on Controlling Blood Pressure in Hypertensive Patients during Surgery

Parvin Sajedi MD¹, Mortaza Rezaie²

Original Article

Abstract

Background: One of the major challenges in adult surgery is hypertension. Hypertensive patient are in danger of myocardial ischemia, increasing blood pressure in recovery room, kidney injury and cerebral artery damage. Regarding the previously reported positive effect of alprazolam in decreasing this complication, we decided to evaluate its efficacy in hypertensive patients undergoing surgery under general anesthesia.

Methods: The present randomized controlled trial was conducted in 2014 in Alzahra Hospital, Isfahan, Iran. Study subjects (age range between 54 and 76 years) were candidates for elective surgery under general anesthesia. Patients were randomly divided into 2 groups, intervention and control. Control group received no drug and intervention group received alprazolam tablet (0.5 mg) before the surgery. Systolic and diastolic blood pressure, heart rate, respiratory rate, pulse oximetry, and O₂ saturation during the surgery and pain severity, extubation time, recovery time and the dose of analgesic drugs after the surgery were evaluated and compared between the groups.

Findings: Increasing blood pressure in the first 40 minutes of surgery ($P = 0.001$), pain severity ($P = 0.012$) and the dose of analgesic drugs ($P = 0.001$) were significantly less in intervention group compared to the control group.

Conclusion: According to our results, alprazolam has an optimal efficacy in controlling blood pressure in hypertensive patients undergoing surgery and reducing pain severity in recovery room. In the absence of contraindications, it could be used as a prophylactic treatment in this group of patients.

Keywords: Alprazolam, Hypertension, Anesthesia induction, Post-anesthesia care unit (PACU)

Citation: Sajedi P, Rezaie M. Cotimparave Evaluation of Oral Alprazolam, as Premedication, on Controlling Blood Pressure in Hypertensive Patients during Surgery. J Isfahan Med Sch 2015; 33(349): 1468-74

1- Professor, Department of Anesthesiology, School of Medicine, Isfahan University of Medical Sciences, Isfahan, Iran

2- Student of Medicine, School of Medicine AND Student Research Committee, Isfahan University of Medical Sciences, Isfahan, Iran

Corresponding Author: Parvin Sajedi MD, Email: sajedi@med.mui.ac.ir

افزایش اینمی زایی ساقه‌ی پروتئین هماگلوبینین ویروس انفلوآنزا در همراهی با پروتئین شوک حرارتی Leishmania major، گامی در جهت ساخت واکسن واحد

سعیده صادقی نشاط^۱، دکتر بهرخ فرهمند^۲، دکتر زهرا کیان‌مهر^۳، سمیه زمانی^۴،
مریم صالح^۵، دکتر فاطمه فتوحی^۶

مقاله پژوهشی

چکیده

مقدمه: ویروس انفلوآنزا می‌تواند در انسان عفونت حاد تنفسی با شدت‌های متفاوت ایجاد کند که حتی در پاره‌ای از موارد، منجر به مرگ می‌شود و واکسن‌های موجود، شناساگر سر متغیر پروتئین هماگلوبینین است و بنا بر این، نیازمند به روزرسانی سالانه می‌باشد. به تازگی، تلاش‌های زیادی در جهت ساخت واکسن‌های وسیع‌الطیف بر مبنای آنتی‌ژن‌های حفاظت شده ویروس انفلوآنزا انجام گرفته است. هدف از این مطالعه، ارزیابی اینمی‌زایی زیرواحد HA2 ویروس انفلوآنزای نوع A در مدل موشی بود.

روش‌ها: پروتئین نوترکیب HA2 در باکتری *Escherichia coli* بیان و استخراج شد و با استفاده از ستون کروماتوگرافی نیکل، تخلیص گردید. جهت حذف نمک‌های اضافی و اوره و بازگرداندن پروتئین به شکل اولیه، از روش دیالیز با شبکه کمک گرفته شد. موش‌های BALB/c شش تا هشت هفتگاهی، با پروتئین HA2 تنها و یا همراه با ادجوان‌های HSP70₂₂₁₋₆₀₄ Leishmania major و Freund یا PR8 با صورت تحت جلدی واکسینه شدند. در ادامه، اینمی همورال با آزمایش ELISA (Enzyme-linked immunosorbent assay) بررسی گردید و در نهایت، موش‌های هر گروه با ویروس PR8 چالش شدند.

یافته‌ها: در موش‌های دریافت کننده پروتئین HA2، همراه یا بدون ادجوان، آنتی‌بادی اختصاصی تولید شده بود. موش‌هایی که پروتئین HA2 همراه با Freund دریافت کرده بودند، آنتی‌بادی اختصاصی با تیتر بالاتری تولید کردند. در حالی که، موش‌های دریافت کننده HA2 همراه با HSP70 در چالش با ویروس وحشی بهتر محافظت شده بودند.

نتیجه‌گیری: پروتئین‌های شوک حرارتی باعث القای پاسخ آنتی‌بادی شده، اینمی ذاتی را نیز تحریک می‌کنند. نتایج این پژوهش نشان داد که پروتئین HA2 به تهابی و یا همراه با HSP70 قادر است، موش‌ها را در برابر چالش با دوز کشنه‌ی ویروس محافظت نماید و می‌تواند، به عنوان یک واکسن واحد در نظر گرفته شود.

وازگان کلیدی: ویروس انفلوآنزا، هماگلوبینین، Leishmania major، HSP70، Freund، HA2

ارجاع: صادقی نشاط سعیده، فرهمند بهرخ، کیان‌مهر زهرا، زمانی سمیه، صالح مریم، فتوحی فاطمه. افزایش اینمی زایی ساقه‌ی پروتئین هماگلوبینین ویروس انفلوآنزا در همراهی با پروتئین شوک حرارتی Leishmania major، گامی در جهت ساخت واکسن واحد. مجله دانشکده پزشکی اصفهان ۱۳۹۴؛ ۳۳(۳۴۹): ۱۴۸۵-۱۴۷۵.

۱- کارشناس ارشد، گروه زیست‌شناسی، دانشکده علوم پایه، دانشگاه آزاد اسلامی، واحد علوم و تحقیقات، تهران، ایران

۲- استادیار، آزمایشگاه تحقیقات انفلوآنزا، انتستیتو پاستور ایران، تهران، ایران

۳- آزمایشگاه تحقیقات انفلوآنزا، انتستیتو پاستور ایران، تهران، ایران

۴- کارشناس ارشد، آزمایشگاه تحقیقات انفلوآنزا، انتستیتو پاستور ایران، تهران، ایران

نویسنده‌ی مسؤول: دکتر فاطمه فتوحی

Email: fotouhi@pasteur.ac.ir

کربوکسیل این پروتئین، درون غشا جای گرفته و انتهای آمین آن به عنوان پیتید الحاقی شناسایی شده است (۸).

واکسیناسیون، یکی از بهترین راه‌های این کردن جمعیت انسانی در مقابل اپیدمی‌ها و پاندمی‌های ویروس انفلوآنزا است (۱۰). به دلیل تغییرات مداوم این ویروس، در حال حاضر واکسن انفلوآنزا به صورت هر ساله و بر اساس سویه‌ی در گردش تولید می‌شود (۱۱). امروزه، محققین در تلاشند با تفکیک اجزای ویروس و حذف پروتئین‌های غیر اختصاصی، با تخلیص قسمت‌های آنتی‌ژنیک مشترک بین سویه‌های مختلف ویروس انفلوآنزا، به سمت تولید واکسن‌های دائمی و امن‌تری گام بردارند که تمام سویه‌ها را تحت پوشش قرار دهد.

در پژوهش حاضر، به منظور دستیابی به یک واکسن زیرواحدی مناسب، بخش حفاظت شده‌ی پروتئین هماگلوتینین (HA2) ویروس انفلوآنزای A/H1N1 پس از بیان در سیستم پروکاریوت تخلیص گردید و اینمنی‌زایی و حفاظت‌بخشی آن به تنها‌ی و همراه با دو ادجوانات Freund و پروتئین شوک حرارتی در مدل حیوانی بررسی شد.

پروتئین HSP70₂₂₁₋₆₀₄ از Leishmania major به کار رفته در این پژوهش، از خانواده‌ی پروتئین‌های شوک حرارتی است. این پروتئین‌ها که به شدت حفاظت شده هستند، در همه‌ی ارگانیسم‌های زنده از باکتری تا انسان یافت می‌شوند و به عنوان چاپرون عمل می‌کنند (۱۲). این پروتئین، قادر به تحریک تولید سایتوکاین‌های پیش التهابی است و می‌تواند سبب رهاسازی کموکاین‌ها توسط مونوسیت‌ها و ماکروفازها و بلوغ سلول‌های دندریتیک شود (۱۳).

مقدمه

ویروس انفلوآنزا، یکی از علل عمدی بیماری‌های واگیردار و حاد تنفسی در سراسر جهان است که پستانداران و پرندگان را درگیر می‌کند. این ویروس، از اعضای خانواده‌ی Orthomyxoviridae و دارای غشا و اسید ریبونوکلئیک قطعه با قطبیت منفی است. تغییرات مداوم آنتی‌ژنی در پروتئین‌های سطحی، این ویروس را قادر می‌سازد تا چندین بار میزبان خود را آلوده کند. بیماری انفلوآنزا، سالیانه حدود یک میلیارد نفر از جمعیت جهان را تحت تأثیر قرار می‌دهد که از این میان، ۳۰۰۰۰۰-۵۰۰۰۰۰ مورد منجر به مرگ می‌شود (۱). ۱۰ پاندمی بزرگ در طی ۳۰۰ سال اخیر اتفاق افتاده است که از جمله‌ی آن‌ها، می‌توان به پاندمی‌های سال‌های ۱۹۱۸، ۱۹۵۷ و ۱۹۶۸، ۲۰۰۹ اشاره کرد که مرگ‌بارترین آن‌ها در سال ۱۹۱۸ بوده است (۲-۳).

هماگلوتینین، مهم‌ترین پروتئین در عفونت‌زایی ویروس و یک هموتریمر است که توسط قطعه‌ی شماره‌ی چهار اسید ریبونوکلئیک رمزدهی می‌شود و آنتی‌بادی‌های خنثی کننده، اغلب علیه اپی‌توب‌های آن ساخته می‌شوند. همه‌گیری‌های ویروس انفلوآنزا، به واسطه‌ی تغییرات آنتی‌ژنیک این پروتئین رخ می‌دهد (۴-۷).

هماگلوتینین، ابتدا به صورت یک پروتئین پیش‌ساز (HA0) ساخته و سپس دچار تغییرات پس از ترجمه می‌شود (۸) و در نهایت هر مونومر به دو پلی‌پیتید کوچک‌تر یعنی HA1 و HA2 شکسته می‌شود (۹). زیرواحد HA1 سر گلبولار این پروتئین را تشکیل می‌دهد و بخش ساقه مانند و حفاظت شده‌ی هماگلوتینین HA2 نام دارد که انتهای

مخالف استخراج شد. روش به کار گرفته شده به شرح زیر است:

ابتدا رسوب باکتری در بافر LEW (NaCl ۳۰۰ میلی مولار، NaH₂PO₄ ۵۰ میلی مولار) حاوی Imidazole ۵ میلی مولار و pH ~ ۸ شستشو داده شد و بعد از طی سه مرحله ای انجاماد و ذوب، ۷ بار به مدت یک دقیقه با قدرت ۸۰ و پالس ۰/۵ سونیکه شد و سپس به مدت ۱۰ دقیقه با سرعت ۱۰۰۰۰ دور در دقیقه در دمای ۴ درجه ای سانتی گراد سانتریفیوژ گردید. در مرحله ای بعد، رسوب پروتئینی Triton x-۱۰۰ بار دیگر در بافر پیش گفته به علاوه ای ۱۰۰ حل شد و دوباره سانتریفیوژ گردید. در مرحله ای سوم، جهت خارج کردن پروتئین HA2 از باقی مانده های سلولی، از بافر LEW حاوی اورهی ۸ مولار استفاده شد. در این مرحله، پس از سونیکاکسیون و قبل از سانتریفیوژ، سوسپانسیون حاصل در شیکر انکوباتور با دمای ۳۰ درجه ای سانتی گراد و سرعت ۸۰ دور در دقیقه به مدت یک ساعت انکوبه گردید. مایع رویی حاصل از مرحله ای نهایی که حاوی پروتئین HA2 بود، جهت تخلیص با ستون نیکل جمع آوری شد. در تمام مراحل، نمونه برداری صورت گرفت و نمونه ها با الکتروفورز بررسی گردید.

ج) تخلیص پروتئین نوترکیب HA2: تخلیص پروتئین نوترکیب با استفاده از ستون های packed (MN, Germany) Ni-TED 2000 و با اعمال تغییراتی در دستورالعمل مربوط صورت گرفت. بدین منظور، ابتدا ستون دو بار (هر بار ۳ ml میلی لیتر) با آب قطره دیونیزه و دو بار (هر بار ۳ میلی لیتر) با بافر LEW و pH ~ ۸ شستشو داده شد. آن

روش ها

الف) تولید پروتئین نوترکیب HA2 در باکتری Escherichia coli: پلاسمید بیانی کد کننده ای ساقه ای پروتئین هماگلوبتینین (PET-28a/HA2) که از قبل در آزمایشگاه تحقیقاتی انفلوآنزا انسنتیتو پاستور ایران ساخته و بیان آن تأیید شده بود، تهیه گردید. ابتدا این Escherichia coli Top10 F' BL21-DE3 با به پلاسمید، برای بیان پروتئین نوترکیب، سلول های باکتری میزبان Escherichia coli LB agar با به کار گیری روش شوک حرارتی، مستعد شدند و ۵۰۰ نانو گرم پلاسمید نوترکیب PET-28a/HA2 در آن ترانسفورم گردید. باکتری های نوترکیب حاصل، در پلیت های حاوی LB agar (Luria-bertani) واجد آنتی بیوتیک کانامایسین کشت داده شد. کلونی های حاصل در ارلن های یک لیتری حاوی ۲۵۰ سی سی محیط کشت Broth LB و آنتی بیوتیک کانامایسین کشت داده شدند و در دمای ۳۷ درجه ای سانتی گراد در گرم خانه ای شیکر دار انکوبه گردیدند.

پس از حصول دانسیته ای نوری مناسب، القاگر (Isopropyl β-D-1-thiogalactopyranoside) IPTG با غلظت یک میلی مولار به باکتری ها اضافه شد و شش ساعت بعد، محصول کشت در ۴ درجه ای سانتی گراد و به مدت ۱۰ دقیقه با سرعت ۱۰۰۰۰ دور در دقیقه سانتریفیوژ گردید. بیان پروتئین نوترکیب HA2 با الکتروفورز تأیید شد.

ب) استخراج پروتئین نوترکیب HA2: پروتئین مورد نظر بعد از آزمون و خطاهای متعدد و بررسی نتایج چندین روش استخراج متفاوت، از سلول BL21 Escherichia coli به روش دناتوره و با استفاده از اورهی ۸ مولار و با به کار گیری بافر های

واکسیناسیون به صورت تحت جلدی در سه دوز و به میزان هر دوز ۱۵ میکروگرم و در فواصل دو هفته‌ای انجام شد. گروه اول پروتئین HA2، گروه دوم پروتئین HA2 همراه با پروتئین HSP و گروه سوم پروتئین HA2 را همراه با ادجوانت Freund، دو گروه نیز به عنوان شاهد HSP و یا PBS (Phosphate-buffered saline) دریافت کردند. دو هفته بعد از آخرین تزریق، از سینوس اربیتال موش‌ها خون‌گیری شد و سرم آن‌ها جهت بررسی با الیزا جدا گردید.

۵) الیزا: به منظور ارزیابی ایمنی زایی پروتئین HA2 به تهابی و یا همراه با ادجوانت‌های پیش‌گفته، میزان G (Immunoglobulin G) سرم‌های جمع‌آوری شده با روش الیزا بررسی گردید. بدین ترتیب که ابتدا ۱۰۰ میکرولیتر از پروتئین HA2 رقیق شده با بافر فسفات نمکی ($1\text{ }\mu\text{g/ml}$) ۰/۱ میکروگرم بر میلی‌لیتر) با pH ۷/۲ درون هر چاهک از پلیت ۹۶ خانه ریخته شد و به مدت ۱۵ ساعت در دمای ۴ درجه‌ی سانتی‌گراد قرار داده شد. بعد از شستشو، مسدودسازی چاهک‌ها با BSA (Bovine serum albumin) درصد انجام گرفت و پلیت به مدت ۱ ساعت در دمای آزمایشگاه گذاشته شد. سپس چاهک‌ها شسته شد و ۱۰۰ میکرولیتر از رقت ۱/۲۰۰۰ مخلوط سرم‌های گروه‌های مختلف موش‌ها (جمع‌آوری شده در هفته‌ی سوم بعد از تزریق آخرین دوز واکسن)، در هر چاهک ریخته شد و پلیت برای ۲ ساعت در انکوباتور ۳۷ درجه‌ی سانتی‌گراد قرار گرفت. سرم‌ها در PBS حاوی ۱ درصد BSA رقیق شدند.

در ادامه، بعد از مرحله‌ی شستشوی پلیت، در هر

گاه در چند مرحله، ۹ ml میلی‌لیتر از محصول استخراج بر روی ستون برده شد. به منظور بهره‌گیری از تمامی ظرفیت ستون، مایع خروجی از ستون (Flow through) چندین بار به ستون برگردانده شد. سپس برای حذف پروتئین‌های اضافی، ستون با بهره‌گیری از بافر LEW حاوی اوره (۱۲ میلی‌لیتر) شسته شد. در این مرحله، جهت جداسازی پروتئین HA2 از ستون، بافر LEW حاوی اوره ۸ مولار و ۲۵۰ Imidazole میلی‌مولار به کار گرفته شد و محلول عبوری از ستون در حجم‌های ۲۵۰ میکرولیتری جمع‌آوری شد و با ژل SDS-PAGE Sodium dodecyl sulfate polyacrylamide gel) درصد بررسی گردید. گفتنی است که در تمامی مراحل، به منظور افزایش کارایی ستون، سرعت عبور بافرها به میزان ۳ قطره در دقیقه تنظیم شد.

در ادامه، به منظور حذف نمک‌های اضافی و جلوگیری از رسوب پروتئین، از روش دیالیز در بافر فسفات با شب اوره استفاده شد. برای این کار، پروتئین تخلیص شده علیه بافر فسفات واجد اوره‌ی ۴ مولار، ۲ مولار و ۱ مولار، هر کدام به مدت ۱ ساعت و سپس در بافر فسفات فاقد اوره و pH ~ ۸/۵ به مدت یک شب دیالیز گردید. میزان خلوص پروتئین ۲۷ کیلو دالتونی HA2 در نهایت با الکتروفورز روی ژل ۱۲ درصد و غلظت آن با روش Bradford برآورد گردید و تا هنگام تزریق در یخچال نگهداری شد.

۶) برنامه‌ی واکسیناسیون: ۲۵ سر موش c ماده‌ی ۶-۸ هفته‌ای از انسیتو پاستور کرج خریداری و بعد از یک هفته نگهداری در بخش حیوان‌خانه، در ۵ گروه ۵ تایی مورد و شاهد تقسیم شدند.

یافته‌ها

الف) تولید پروتئین نوترکیب HA2 پس از ترانسفورماسیون پلاسمید نوترکیب PET-28a/HA2 در سویه‌ی بیانی مستعد شده‌ی BL21 (DE3)، بیان این پروتئین در ارلن‌های حاوی ۲۵۰ سی‌سی محیط کشت مایع LB Broth در دمای ۳۷ درجه‌ی سانتی‌گراد و غلظت ۱ میلی‌مولار از IPTG و در ساعت ششم انجام گرفت. نتایج حاصل از الکتروفورز نشان داد که پروتئین ۲۷ کیلو دالتونی HA2 در تمامی ارلن‌ها به خوبی بیان شده است (شکل ۱-a).

در ادامه، استخراج پروتئین نوترکیب HA2 با روش دناتوره و اوره‌ی ۸ مولار، با بهره‌گیری از بافرهای مختلف و سونیکاسانیون انجام گرفت و نتایج حاصل بر روی ژل الکتروفورز برد شد. همان‌گونه که در ستون هفتم شکل ۱-b مشاهده می‌شود، این پروتئین به مقدار مناسبی استخراج و بسیاری از پروتئین‌های اضافی در مراحل قبلی حذف گردیده است. در مرحله‌ی بعد، برای حذف کامل پروتئین‌های اضافی، از ستون کروماتوگرافی نیکل استفاده شد. همان طور که در شکل ۱-c نشان داده شده پروتئین نوترکیب HA2 به میزان خوبی تخلیص شده است. در نهایت، جهت حذف نمک و اوره به منظور آماده‌سازی پروتئین برای تزریق، نمونه‌ی جمع‌آوری شده در مرحله‌ی قبل، علیه بافر فسفات با شیب اوره دیالیز گردید. بررسی ژل الکتروفورز مربوط نشان داد که پروتئین ۲۷ کیلو دالتونی HA2 با درجه‌ی خلوص بیش از ۹۰ درصد تخلیص شده است (شکل ۱-d). Bradford همچنین، میزان پروتئین HA2 با آزمایش سنجیده شد و غلظت نهایی پروتئین تخلیص شده معادل ۰/۵۵ میکروگرم در هر میکرولیتر محاسبه شد.

یک از چاهک‌ها ۱۰۰ میکرولیتر از آنتی‌بادی ثانویه (HRP conjugated mouse antibody) با رقت ۱/۵۰۰۰ (رقیق شده با بافر فسفات نمکی حاوی ۱ درصد BSA) ریخته شد و برای ۱ ساعت دیگر درون انکوباتور ۳۷ درجه‌ی سانتی‌گراد قرار داده شد. در این مرحله، بعد از شستشو، ۱۰۰ میکرولیتر از سویسترای (3,3',5,5'-tetra methyl benzidine) TMB به هر چاهک افزوده شد و ۲۰ دقیقه در فضای اتاق و در مکان تاریک گذاشته شد. سپس ۱۰۰ میکرولیتر اسید سولفوریک ۲ نرمال (به عنوان خاتمه دهنده‌ی واکنش) به محتویات هر چاهک افزوده و میزان جذب نوری در طول موج ۴۵۰ نانومتر خوانده شد.

و) چالش حیوانات با ویروس کشنده‌ی H1N1: در این پژوهش به منظور چالش موش‌ها از ویروس استفاده شد. قبل از چالش، دوز کشنده‌ی ویروس در مدل موش c BALB/c تعیین گردید. بدین منظور، ۴ گروه ۴ تایی از موش‌های BALB/c توسط زایلوزین/کتامین نیمه هوشیار شدند و با رقت‌های مختلف (10^{-1} , 10^{-2} , 10^{-3} و 10^{-4}) ویروس به میزان ۱۰۰ میکرولیتر از طریق بینی تلقیح شدند. موش‌های هر گروه در قفس‌های جداگانه به مدت ۲ هفته زیر هود آزمایشگاهی سطح ۲ ایمنی، نگهداری شدند و روزانه از نظر بروز آثار بیماری و یا مرگ و میر مورد بررسی قرار گرفتند.

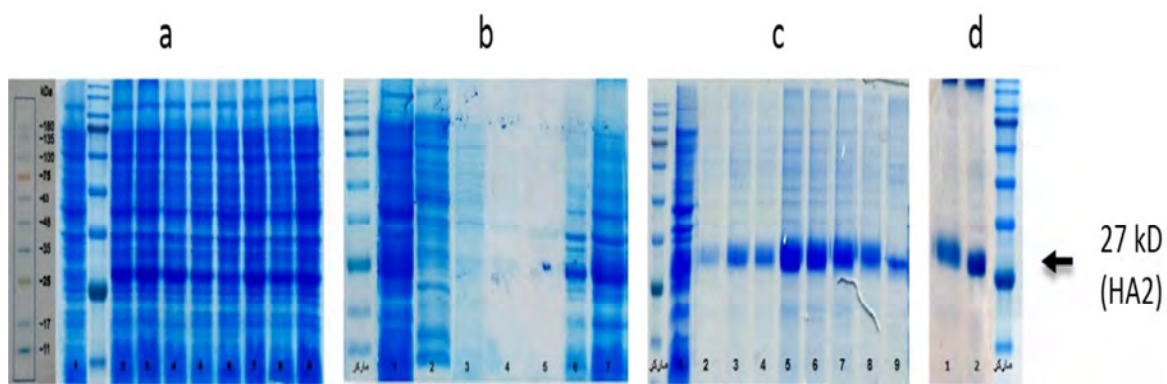
جهت چالش، تمامی موش‌های واکسینه شده (مورد و شاهد) دو هفته بعد از تزریق سوم با یک دوز کشنده از ویروس PR8 به روشی که در بالا ذکر شد تلقیح گردیدند و به مدت دو هفته مرگ و میر و کاهش وزن آن‌ها مورد بررسی قرار گرفت.

کرده بودند، آنتی‌بادی اختصاصی بیشتری تولید شده بود، هر چند این تفاوت معنی دار نبود.

ج) چالش حیوانات با ویروس کشنده‌ی H1N1 قبل از چالش حیوانات واکسینه، دوز کشنده‌ی ویروس در موش‌های BALB/c مطابق روش گفته شده اندازه‌گیری شد. با توجه به این که در رقت 10^{-3} از ویروس PR8، ۱۰۰ درصد حیوان‌ها مرده و در رقت بعدی تمام موش‌ها زنده ماندند، رقت 10^{-3} به عنوان LD₉₀ (رقتی که بتواند بیش از ۹۰ درصد حیوانات را بکشد) در نظر گرفته شد.

۲ هفته بعد از آخرین مرحله‌ی واکسیناسیون، موش‌های هر گروه، ۱۰۰ میکرولیتر از دوز کشنده‌ی ویروس را از طریق بینی دریافت کردند. موش‌ها به مدت ۲ هفته از نظر کاهش وزن و مرگ و میر مورد بررسی قرار گرفتند که نتایج آن در شکل ۳-a و ۳-b آمده است.

ب) اندازه‌گیری آنتی‌بادی ضد HA2 به روش الایزا در موش‌های مورد مطالعه: ۲ هفته پس از آخرین دوز واکسن، از تمام حیوانات خون‌گیری به عمل آمد و میزان آنتی‌بادی‌های ضد پروتئین HA2 با آزمایش الایزا اندازه‌گیری شد. همان طور که در شکل ۲ نشان داده شده است، هر سه گروه دریافت کننده‌ی HA2 به تنها یک و یا همراه با ادجوانات های Freund و پروتئین HSP70، دارای پاسخ IgG علیه پروتئین HA2 هستند. آنالیز مقادیر به دست آمده با آزمون آماری One way ANOVA نشان داد که تولید آنتی‌بادی IgG در هر سه گروه دریافت کننده‌ی واکسن نسبت (HSP) به گروه‌های شاهد (دریافت کننده‌ی PBS و PBS) تفاوت معنی داری ($P < 0.0001$) دارند. همان طور که در شکل ۲ آمده است، در موش‌های ایمن شده با H2 به همراه ادجوانات های Freund یا پروتئین HSP70، نسبت به موش‌هایی که فقط HA2 دریافت



شکل ۱. الکتروفورز نمونه‌ی حاصل از بیان، استخراج و تخلیص پروتئین نوترکیب HA2

a. بیان pET-28a/HA2 در باکتری Escherichia coli سویه‌ی BL21 (DE3). ستون ۱: نمونه‌ی باکتری قبل از القا با IPTG ستون‌های ۲-۹: نمونه‌ی باکتری در اولن‌های ۱-۸، ۶ ساعت بعد از القا با IPTG

b. الکتروفورز نمونه‌ی حاصل از استخراج پروتئین HA2 از باکتری Escherichia coli سویه‌ی BL21 (DE3). ستون ۱: نمونه‌ی باکتری قبل از استخراج پروتئین HA2. ستون‌های ۲-۵: مراحل شستشوی پروتئین‌های اضافی، ستون‌های ۶ و ۷: محصول نهایی استخراج پروتئین HA2.

c. الکتروفورز نمونه‌ی حاصل از تخلیص پروتئین HA2 توسط ستون Ni-TED. ستون ۱: نمونه‌ی جمع‌آوری شده از ستون بعد از بارگذاری نمونه، ستون‌های ۲-۹: الوشن حاوی پروتئین تخلیص شده HA2 توسط ستون نیکل.

d. الکتروفورز نمونه‌ی حاصل از دیالیز پروتئین HA2. ستون ۱: پروتئین HA2 تخلیص شده با ستون نیکل قبل از دیالیز، ستون ۲: پروتئین HA2 بعد از دیالیز.

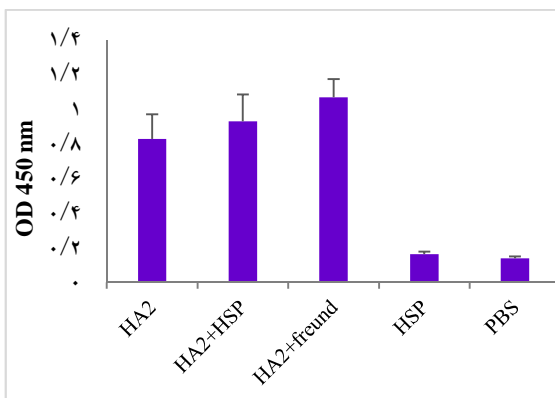
شکل ۳-۳، موش‌های باقی‌مانده‌ی گروه‌های دریافت کننده‌ی واکسن یک روند رو به بهبود و افزایش وزن را نشان دادند. این در حالی است که در گروه‌های شاهد دریافت کننده‌ی HSP و PBS چالش شده با H1N1، میزان تلفات ۱۰۰ درصد بود.

بحث

هر ساله، اپیدمی‌های انفلوآنزا سبب بیماری‌های شدید و مرگ و میر در سراسر جهان می‌گردد (۱). با این حال، هیچ پیشگیری مؤثری علیه عفونت این ویروس تا کنون ایجاد نشده است. جهش‌زایی و نوترتیبی غیر قابل پیش‌بینی ویروس انفلوآنزا نوع A و ظهور تنوع‌های جدیدی که از سیستم ایمنی فرار می‌کنند، باعث مقاومت این ویروس در برابر اقدامات پیشگیری کننده و ایجاد اپیدمی‌ها و پاندمی‌های عمومی دوره‌ای می‌شود و جمعیت انسان‌ها را تهدید می‌کند (۱۴).

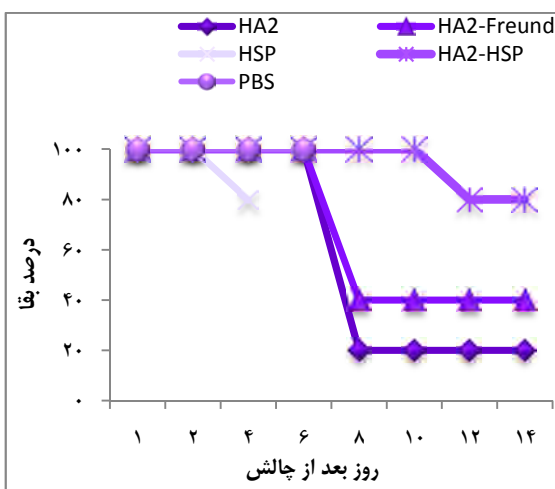
واکسن‌هایی که امروزه موجود هستند، باعث القای آنتی‌بادی‌هایی علیه نژادهای فصلی دارای مناطق آنتی‌ژنی با شباهت زیاد می‌شوند، اما علیه تنوع‌های جدید ویروس ناکارآمد هستند. بنا بر این، تلاش‌های تحقیقاتی زیادی که در سال‌های اخیر انجام گرفته است، به دنبال یافتن راهی برای تولید یک واکسن واحد هستند که در برابر نژادهای ویروسی دارای زیرنوع‌های مختلف HA حفاظت ایجاد کند و جهت پیش‌گیری از اپیدمی‌ها و حتی پاندمی‌های احتمالی نیز مؤثر واقع شود (۱۴).

یک واکسن انفلوآنزا ایده‌آل، واکسنی است که ایمن و دارای قدرت اثرگذاری طولانی و اثر حفاظت‌بخشی در برابر نژادهای مختلف ویروس



شکل ۲. نتایج مربوط به اندازه‌گیری آنتی‌بادی‌های ویژه‌ی HA2 به روش الیزا. در این روش، رقت ۱/۲۰۰۰ سرم موش‌های مورد مطالعه با یکدیگر مقایسه شده است.

PBS: Phosphate-buffered saline



شکل ۳. نتایج چالش موش‌های واکسینه با ویروس. a. میزان بقا در موش‌های واکسینه شده بعد از چالش با H1N1. b. میزان تغییرات وزنی موش‌های گروه‌های مختلف بعد از چالش با ویروس H1N1

PBS: Phosphate-buffered saline

در این مطالعه، در موش‌های دریافت کننده‌ی HA2 هنگام چالش با ویروس H1N1 (PR8)، درصد مرگ اتفاق افتاد. حال آن که در گروه‌های دریافت کننده‌ی HA2-HSP و HA2-Freund، به ترتیب ۴۰ و ۸۰ درصد موش‌های چالش شده با ویروس زنده ماندند (شکل ۳-a). همچنین، بنا بر

واکنش‌گر با چندین زیرنوع HA می‌شود و علیه عفونت ویروس انفلوآنزا حفاظت ایجاد می‌کند (۲۲). همچنین، همراهی ادجوانات Imiquimode باعث افزایش اینمی‌زایی و حفاظت‌بخشی اسید آمینه‌های ۳۴۰-۵۶۰ پپتید HA2 شد (۲۳). از این‌رو، می‌توان انتظار داشت که پروتئین HA2 بتواند به عنوان یک هدف اساسی برای تولید واکسن زیرواحدی دارای حفاظت گسترده‌ای علیه زیرنوع‌های مختلف ویروس انفلوآنزا نوع A، استفاده شود (۲۴).

بنا بر این، در مطالعه‌ی حاضر طراحی واکسن زیرواحدی بر مبنای ناحیه‌ی حفاظت شده‌ی پروتئین هماگلوتینین مذکور قرار گرفت. پروتئین HA2 از قبل در آزمایشگاه تحقیقاتی انفلوآنزا در میزبان باکتریایی بیان و با روش Western blot تأیید شده بود. در تحقیق حاضر، پروتئین HA2 بعد از بیان در مقیاس زیاد، استخراج و تخلیص گردید. به دلیل تشکیل اینکلوزن‌بادی، استخراج به روش دناتوره و با کمک گرفتن از نمک‌های مختلف و اورهی ۸ مولار انجام گرفت. عمل تخلیص پروتئین HA2 که واجد دنباله‌ی هیستیدینی بود، با کمک گرفتن از ستون کروماتوگرافی نیکل انجام شد. به علت نامحلول بودن پروتئین در شرایط بازی، جهت حذف نمک‌های اضافی، از روش دیالیز در شب اورهی ملایم استفاده شد. دیالیز پروتئین‌ها در شب اورهی ملایم، باعث کاهش رسوب پروتئین بعد از جداسازی اوره می‌شود و از به هم ریختن ساختار پروتئین جلوگیری می‌نماید. بافر فسفات مورد استفاده فقط حاوی دو نمک Na_2HPO_4 و Na_2HPO_4 است. به دلیل حساسیت پروتئین‌ها به pH ، حلایت HA2 در pH‌های ۴-۹، بررسی شد و مشخص گردید این

باشد. در این زمینه، زیرواحد کوچک هماگلوتینین (HA2) که شامل ساقه و فیوژن پپتید است و از نظر آنتی‌ژنی نسبت به سر کروی مولکول حفاظت شده است، کاندیدای امیدبخشی برای آماده‌سازی واکسن واحد است (۱۴). توالی ناحیه‌ی HA2 دارای ۸۵ درصد همولوژی در میان زیرنوع‌های مختلف ویروس انفلوآنزا و ۹۵ درصد همولوژی در میان سویه‌های مختلف پاسخ‌های اینمی‌متقاطع ایجاد کند (۱۵).

چهار منطقه‌ی آنتی‌ژنیک متفاوت در پپتید HA2 شناسایی شده است. آنتی‌بادی‌هایی که سه تا از این مناطق را شناسایی کنند، قادرند به طور گستره‌ای اینمی‌متقاطع ایجاد نمایند. این مناطق، شامل ناحیه‌ی پپتید الحاقی (رزیدوهای ۱-۳۸ از سمت N ترمینال)، ناحیه‌ی اکتسودامین HA2 (اسید آمینه‌های ۲۳-۱۸۵) (اسید آمینه‌های N ترمینال) و قسمت ایمونوژنیک داخلی (رزیدوهای ۱۷۵-۱۲۵) است (۱۶-۱۷). پتانسیل حفاظت‌بخشی این نواحی با روش‌های مختلف توسط گروه‌های تحقیقاتی گوناگونی بررسی و مشاهده شده است که موش‌های واکسینه شده با این نواحی، بعد از چالش با ویروس، بیماری خفیفتر و مرگ و میر کمتری خواهند داشت (۱۷-۲۰).

پژوهش‌های صورت گرفته نشان داده است که با وجود پوشیده شدن HA2 توسط HA1 در ویروس طبیعی، هنگام مواجهه‌ی انسان و موش با عفونت انفلوآنزا، آنتی‌بادی‌های ضد HA2 نیز تولید می‌شوند (۲۱). و همکاران نشان دادند که با حذف سر گلوبولار HA1، اینمی‌زایی گلیکوپروتئین HA2 افزایش می‌یابد؛ به طوری که واکسیناسیون موش‌ها با هماگلوتینین فاقد سر، باعث ایجاد آنتی‌بادی‌های

استفاده گردید. مطالعات نشان داده است که ناحیه‌ی کد کننده‌ی اسید آمینه‌های ۲۲۱-۶۰۴ پروتئین Leishmania major HSP70 و N ترمینال آن باعث القای بهتر پاسخ‌های ایمنی همورال می‌شود (۲۶). پروتئین‌های شوک حرارتی با ارایه کردن آنتیژن از طریق گیرنده‌های CD91 به سلول‌های ارایه کننده‌ی آنتیژن، در کنار عمل (Major histocompatibility complex-I) MHC-I باعث تحریک CD8⁺ T-Cell‌ها و پاسخ آنتی‌بادی می‌شود. همچنین، HSP می‌تواند از طریق CD40، TLR2 و TLR4 و نیز القای ترشح سایتوکاین، ایمنی ذاتی را تحریک نماید.

نتایج نشان داد میزان آنتی‌بادی اختصاصی تولید شده در موش‌های دریافت کننده‌ی Freund و یا پروتئین HSP70 به عنوان ادجوانت همراه با پروتئین HA2 نسبت به گروه دریافت کننده‌ی HA2، بیشتر بود.

اثر حفاظت‌بخشی پروتئین HA2 تولید شده در این پژوهش به تهایی و یا در همراهی با ادجوانت‌های Freund و HSP70 در چالش با ویروس کشنده‌ی PR8 مورد ارزیابی قرار گرفت. این ویروس سویه‌ی H1N1 از ویروس انفلوآنزا است و اولین بار در سال ۱۹۳۴ میلادی در منطقه‌ی پورتوریکو (Puerto Rico) آمریکا از بیمار مبتلا به انفلوآنزا جداسازی شده است. تکثیر بالا در تخم مرغ (Madin-Darby canine kidney) MDCK و سلول تحقیقات آزمایشگاهی به خصوص در طراحی

پروتئین در pH ~ ۸/۵ پیشترین حلalیت را دارد. بنا بر این، جهت دیالیز پروتئین مورد نظر از این pH استفاده گردید.

به منظور ارزیابی ایمنی زایی پروتئین تولید شده، از مدل موشی استفاده شد. نتایج ایمن‌سازی موش‌های BALB/c نشان داد که پروتئین نوترکیب HA2 به تنها‌ی قادر است به خوبی سیستم ایمنی را تحریک کند و القای آنتی‌بادی‌های ویژه را راهاندازی نماید. هدف از واکسیناسیون، ایجاد ایمنی حفاظتی است؛ در برخی از واکسن‌ها به ویژه واکسن‌های پیتیدی، همراهی یک ادجوانت مناسب، باعث افزایش ایمنی می‌شود. ادجوانت‌ها در بسیاری از واکسن‌ها استفاده می‌شوند، اما مکانیسم عمل آن‌ها به طور کامل شناخته نشده است (۲۵). در این پژوهش، میزان تولید آنتی‌بادی اختصاصی و افزایش ایمنی زایی پروتئین HA2 با همراه کردن Freund و پروتئین HSP70 به عنوان ادجوانت، بررسی گردید.

ادجوانت Freund یک امولسیون آب در روغن است که آنتی‌ژن را در شکل مایع به کمک یک ماده‌ی امولسیون‌ساز وارد روغن پارافین سبک وزن می‌کند و با ایجاد ذخیره‌ی کوتاه مدت آنتی‌ژن در محل تزریق، تولید مداوم آنتی‌بادی‌های قوی را تحریک می‌کند (۲۶-۲۷). کاربرد این ادجوانت، به دلیل اثرات جانبی زیاد آن، در واکسن‌های انسانی امکان پذیر نیست و در این مطالعه، از این ادجوانت به عنوان شاهد مثبت استفاده شد.

ادجوانت دیگر مورد استفاده در این پژوهش، پروتئین نوترکیب Leishmania major HSP70₂₂₁₋₆₀₄ بود که در بخش انفلوآنزا ایستیتو پاستور ایران استخراج و تخلیص شد و برای پژوهش حاضر

نتایج به دست آمده در این پژوهش، با مطالعات دیگر انجام شده در این راستا همخوانی دارد (۲۸، ۲۳، ۲۲-۲۳، ۱۶، ۱۴). گرچه به کارگیری این پروتئین در راستای تولید واکسن واحد، مستلزم انجام آزمایش‌های مکمل و گسترده‌تری است.

تشکر و قدردانی

این مقاله، برگرفته از پایان‌نامه‌ی سعیده صادقی نشاط دانشجوی کارشناسی ارشد زیست‌شناسی سلولی و مولکولی، دانشگاه آزاد اسلامی واحد علوم و تحقیقات تهران بوده است و تمامی بودجه‌ی این پژوهش از محل طرح شماره‌ی ۶۱۱ انسٹیتو پاستور ایران تأمین گردیده است. لازم است از خانم حدیثه شکوهی و کلیه‌ی همکاران آزمایشگاه تحقیقات انفلوآنزای انسٹیتو پاستور ایران که در به ثمر رسیدن این پژوهش ما را یاری نمودند، تقدیر و تشکر می‌گردد.

واکسن، از سویه‌ی PR8 به عنوان سویه‌ی چالش استفاده می‌گردد.

نتایج نشان داد، گروه‌های موشی واکسینه شده با پروتئین HA2 به تنهایی و یا به همراه ادجوانات‌های HSP70 و یا Freund، هنگام رویارویی با دوز کشنده‌ی ویروس H1N1، به ترتیب ۲۰، ۴۰ و ۸۰ درصد بقا داشتند. در حالی که تمام موش‌های گروه‌های شاهد اعم از PBS و یا HSP، در چالش با ویروس از بین رفتند. در ضمن، بررسی‌های وزنی موش‌های چالش شده، یک روند رو به بهبود را در گروه‌های واکسینه شده با HA2 و HA2-HSP نشان می‌دهد. بنابراین، می‌توان نتیجه گرفت که پروتئین نوترکیب HA2 قابلیت ایجاد ایمنی‌زایی در موش BALA/c را دارد و این ایمنی‌زایی، در اثر همراهی با ادجوانات‌های Freund و HSP70 افزایش می‌یابد. همچنین، پروتئین HA2 می‌تواند حیوانات را در مقابل چالش با ویروس کشنده حفاظت نماید. البته،

References

1. Lambert LC, Fauci AS. Influenza vaccines for the future. *N Engl J Med* 2010; 363(21): 2036-44.
2. Hara K, Shiota M, Kido H, Ohtsu Y, Kashiwagi T, Iwahashi J, et al. Influenza virus RNA polymerase PA subunit is a novel serine protease with Ser624 at the active site. *Genes Cells* 2001; 6(2): 87-97.
3. Okuda K, Ihata A, Watabe S, Okada E, Yamakawa T, Hamajima K, et al. Protective immunity against influenza A virus induced by immunization with DNA plasmid containing influenza M gene. *Vaccine* 2001; 19(27): 3681-91.
4. Kim CS, Epand RF, Leikina E, Epand RM, Chernomordik LV. The final conformation of the complete ectodomain of the HA2 subunit of influenza hemagglutinin can by itself drive low pH-dependent fusion. *J Biol Chem* 2011; 286(15): 13226-34.
5. Kim JI, Lee I, Park S, Park MS. Surface glycoproteins determine the feature of the 2009 pandemic H1N1 virus. *BMB Rep* 2012; 45(11): 653-8.
6. Reichert T, Chowell G, Nishiura H, Christensen RA, McCullers JA. Does Glycosylation as a modifier of Original Antigenic Sin explain the case age distribution and unusual toxicity in pandemic novel H1N1 influenza? *BMC Infect Dis* 2010; 10: 5.
7. Peiris JS, Tu WW, Yen HL. A novel H1N1 virus causes the first pandemic of the 21st century. *Eur J Immunol* 2009; 39(11): 2946-54.
8. Fujiyoshi Y, Kume NP, Sakata K, Sato SB. Fine structure of influenza A virus observed by electron cryo-microscopy. *EMBO J* 1994; 13(2): 318-26.
9. Cox NJ, Subbarao K. Global epidemiology of influenza: past and present. *Annu Rev Med* 2000; 51: 407-21.
10. Hilleman MR. Realities and enigmas of human viral influenza: pathogenesis, epidemiology and control. *Vaccine* 2002; 20(25-26): 3068-87.

11. Ebrahimi SM, Tebianian M. Influenza A viruses: why focusing on M2e-based universal vaccines. *Virus Genes* 2011; 42(1): 1-8.
12. Black RA, Rota PA, Gorodkova N, Klenk HD, Kendal AP. Antibody response to the M2 protein of influenza A virus expressed in insect cells. *J Gen Virol* 1993; 74 (Pt 1): 143-6.
13. Nicholson KG, Wood JM, Zambon M. Influenza. *Lancet* 2003; 362(9397): 1733-45.
14. Stanekova Z, Vareckova E. Conserved epitopes of influenza A virus inducing protective immunity and their prospects for universal vaccine development. *Virol J* 2010; 7: 351.
15. Fouchier RA, Munster V, Wallensten A, Bestebroer TM, Herfst S, Smith D, et al. Characterization of a novel influenza A virus hemagglutinin subtype (H16) obtained from black-headed gulls. *J Virol* 2005; 79(5): 2814-22.
16. Stanekova Z, Mucha V, Sladkova T, Blaskovicova H, Kostolansky F, Vareckova E. Epitope specificity of anti-HA2 antibodies induced in humans during influenza infection. *Influenza Other Respir Viruses* 2012; 6(6): 389-95.
17. Vareckova E, Mucha V, Kostolansky F. HA2 glycopolyptide of influenza A virus and antiviral immunity. *Acta Virol* 2013; 57(2): 247-56.
18. Horvath A, Toth GK, Gogolak P, Nagy Z, Kurucz I, Pecht I, et al. A hemagglutinin-based multipeptide construct elicits enhanced protective immune response in mice against influenza A virus infection. *Immunol Lett* 1998; 60(2-3): 127-36.
19. Okuno Y, Matsumoto K, Isegawa Y, Ueda S. Protection against the mouse-adapted A/FM/1/47 strain of influenza A virus in mice by a monoclonal antibody with cross-neutralizing activity among H1 and H2 strains. *J Virol* 1994; 68(1): 517-20.
20. Sui J, Hwang WC, Perez S, Wei G, Aird D, Chen LM, et al. Structural and functional bases for broad-spectrum neutralization of avian and human influenza A viruses. *Nat Struct Mol Biol* 2009; 16(3): 265-73.
21. Kostolansky F, Mucha V, Slovakova R, Vareckova E. Natural influenza A virus infection of mice elicits strong antibody response to HA2 glycopolyptide. *Acta Virol* 2002; 46(4): 229-36.
22. Steel J, Lowen AC, Wang TT, Yondola M, Gao Q, Haye K, et al. Influenza virus vaccine based on the conserved hemagglutinin stalk domain. *MBio* 2010; 1(1): e00018-10.
23. To KK, Zhang AJ, Chan AS, Li C, Cai JP, Lau CC, et al. Recombinant influenza A virus hemagglutinin HA2 subunit protects mice against influenza A(H7N9) virus infection. *Arch Virol* 2015; 160(3): 777-86.
24. Kang SM, Song JM, Compans RW. Novel vaccines against influenza viruses. *Virus Res* 2011; 162(1-2): 31-8.
25. Awate S, Babiuk LA, Mutwiri G. Mechanisms of action of adjuvants. *Front Immunol* 2013; 4: 114.
26. Rafati S, Gholami E, Hassani N, Ghaemimansh F, Taslimi Y, Taheri T, et al. Leishmania major heat shock protein 70 (HSP70) is not protective in murine models of cutaneous leishmaniasis and stimulates strong humoral responses in cutaneous and visceral leishmaniasis patients. *Vaccine* 2007; 25(21): 4159-69.
27. Foumani M, Asadpour L, Azizi Saraji A, Sharifat Salmani A, Aghasadeghi MR. Adjuvants and their mechanisms of action. *J Ardabil Univ Med Sci* 2012; 12(3): 276-91. [In Persian].
28. Janulikova J, Stanekova Z, Mucha V, Kostolansky F, Vareckova E. Two distinct regions of HA2 glycopolyptide of influenza virus hemagglutinin elicit cross-protective immunity against influenza. *Acta Virol* 2012; 56(3): 169-76.

Immunogenesity Enhancement of Influenza Virus Stalk Domain Using Leishmania Major Heat Shock Protein, One Step Closer to Universal Vaccine

Saeideh Sadeghi Neshat MSc¹, Behrokh Farahmand PhD², Zahra Kianmehr PhD³, Somayeh Zamani MSc³, Maryam Saleh MSc³, Fatemeh Fotouhi PhD²

Original Article

Abstract

Background: Influenza viruses cause acute respiratory infections in humans, which can often be accompanied by pandemics with varying rates of illness and even a fetal end. Current vaccines target the variable globular part of hemagglutinin (HA); so, their effectiveness is limited and they need perpetual updating. To prepare universal vaccine, scientists' effort is focused on conserved antigenic parts of influenza virus such as hemagglutinin stalk domain which is more conserved compare to its globular head. The aim of this study was evaluating the immunogenicity of influenza A (H1N1) HA2 peptide in mouse model.

Methods: To prepare HA2 protein, the expression vector encoding the gene of interest (PET-28a/HA2), was transformed into Escherichia coli BL21-DE3 competent cells. Recombinant HA2 protein was extracted and purified using Ni-TED columns under denaturing conditions, refolded and desalted via step-wise dialysis. The HA2 concentration was determined via using Bradford protein assay. Six-week-old BALB/c mice in different groups were immunized intradermally with HA2 alone or supplemented with Freund or Lm.HSP70₂₂₁₋₆₀₄ as adjuvants. Two groups were injected with HSP70 and phosphate buffered saline (PBS) as negative controls. Humeral immunity in vaccinated mice was measured using the enzyme-linked immunosorbent assay (ELISA); and finally, mice were challenged with one lethal dose (LD90) of PR8 virus.

Findings: The protein expression, extraction and purification stages were confirmed using sodium dodecyl sulfate polyacrylamide gel (SDS-PAGE) electrophoresis. The highest antibody response was measured in mice vaccinated with HA2-Freund, as expected. Specific antibody response in group received HA2-HSP70 was of higher titer than HA2 alone. More over HA2-HSP70 group surprisingly showed higher level of protection against lethal H1N1 (PR8) challenge compared to other groups.

Conclusion: It has been proved that HSP70 can induce specific response and innate immunity via stimulating CD8+ T-Cells, CD40, TLR2, TLR4 and cytokine secretion. Our results showed that HA2 alone or supplemented with HSP70 protected mice against lethal influenza challenge and could be considered as a universal vaccine.

Keywords: Influenza virus, Hemagglutinin, HA2 peptide, Freund adjuvant, Leishmania major HSP70

Citation: Sadeghi Neshat S, Farahmand B, Kianmehr Z, Zamani S, Saleh M, Fotouhi F. Immunogenesity Enhancement of Influenza Virus Stalk Domain Using Leishmania Major Heat Shock Protein, One Step Closer to Universal Vaccine. J Isfahan Med Sch 2015; 33(349): 1475-86

1- Department of Biology, School of Basic Sciences, Science and Research Branch, Islamic Azad University, Tehran, Iran

2- Assistant Professor, Influenza Research Lab, Pasteur Institute of Iran, Tehran, Iran

3- Influenza Research Lab, Pasteur Institute of Iran, Tehran, Iran

Corresponding Author: Fatemeh Fotouhi PhD, Email: fotouhi@pasteur.ac.ir

وضعیت نظام مراقبت بیماری سرخک در کشور ایران در سال ۱۳۹۳

سلمان خزایی^۱، حمید صالحی‌نیا^۲، رضا پاکزاد^۳، عبدالله محمدیان هفچجانی^۴

نامه به سردبیر

یکی از مهم‌ترین اهداف نظام مراقبت بیماری‌ها، شناسایی اپیدمی‌ها، پایش روند بیماری‌ها و شناسایی گروه‌های در معرض خطر می‌باشد. از این‌رو، حساسیت بالای نظام مراقبت به منظور شناسایی تمام موارد بیماری، حائز اهمیت است و موارد مظنون به بیماری نیز می‌باشد گزارش گردند (۳). بر اساس تعریف سازمان جهانی بهداشت، هر فرد بیمار با تب و راش پوستی و یکی از سه علامت سرفه، آبریزش بینی و کوئنژکتیویت به عنوان مورد مشکوک به سرخک تلقی می‌شود که به منظور انجام آزمایش‌های تکمیلی می‌باشد پیگیری شود (۴). از جمله شاخص‌های نظام مراقبت بیماری سرخک در مرحله‌ی حذف بیماری، کشف و گزارش‌دهی حداقل ۲ مورد مشکوک به ازای هر ۱۰۰۰۰ نفر جمعیت می‌باشد.

همچنین، جهت تأیید آزمایشگاهی بیماری، باید حداقل از ۸۰ درصد موارد مشکوک شناسایی شده، نمونه (خون، گلو و ادرار) تهیه و بررسی گردد. در

سردبیر محترم مجله دانشکده‌ی پزشکی اصفهان

سرخک یکی از بیماری‌های حاد و بسیار مسرب است که در سطح جهان یکی از عوامل عمده‌ی مرگ و میر در کودکان به ویژه کودکان دچار سوء تغذیه است. هر چند این بیماری قابل پیشگیری با واکسن است، اما به دلیل عوارض ناشی از عفونت به عنوان پنجمین علت مرگ در کودکان زیر ۵ سال مطرح می‌باشد (۱).

در ایران قبل از اجرای برنامه‌ی ایمن‌سازی همگانی، موارد سالانه‌ی سرخک تا ۱۵۰۰۰ نفر در سال‌های غیر اپیدمی و ۵۰۰۰۰ نفر در سال‌های اپیدمی گزارش شده است. اطلاعات سیستم مراقبت بیماری سرخک در کشور، بیانگر کاهش شدید موارد بروز بیماری در کشور بوده است؛ به نحوی که میزان بروز بیماری از ۱۲ در ۱۰۰۰۰ نفر جمعیت در سال‌های قبل از انجام واکسیناسیون سراسری سرخک و سرخجه، به میزان ۱/۴ در ۱۰۰۰۰ نفر در سال ۱۳۸۶ رسیده است (۲).

۱- کارشناس ارشد، گروه اپیدمیولوژی و آمار زیستی، دانشکده‌ی بهداشت، دانشگاه علوم پزشکی همدان، همدان، ایران

۲- پژوهشگر، مرکز تحقیقات جراحی‌های کم تهاجمی، دانشگاه علوم پزشکی ایران، تهران و دانشجوی دکتری، گروه اپیدمیولوژی و آمار زیستی، دانشکده‌ی بهداشت، دانشگاه علوم پزشکی تهران، تهران، ایران

۳- دانشجوی دکتری، گروه اپیدمیولوژی و آمار زیستی، دانشکده‌ی بهداشت، دانشگاه علوم پزشکی تهران، تهران، ایران

۴- اپیدمیولوژیست، گروه پزشکی اجتماعی، دانشکده‌ی پزشکی، دانشگاه علوم پزشکی رفسنجان، رفسنجان و دانشجوی دکتری، گروه اپیدمیولوژی و آمار زیستی، دانشکده‌ی بهداشت، دانشگاه علوم پزشکی اصفهان، اصفهان، ایران

نویسنده‌ی مسؤول: عبدالله محمدیان هفچجانی

Email: amohamadii1361@gmail.com

دستیابی به هدف حذف بیماری سرخک است، اما باید توجه شود که سطح پایین پوشش برنامه‌های ایمن‌سازی در کشورهای همسایه‌ی شرقی و تردد بالای اتباع این کشورها به کشور ایران، از چالش‌های اصلی برنامه‌ی حذف سرخک در کشور محسوب می‌شود.

تجمع تدریجی افراد حساس به بیماری در اثر عدم واکسیناسیون مناسب و یا شکست پاسخ به ایمن‌سازی، می‌تواند زمینه‌ساز ایجاد طغیان‌های بیماری سرخک شود^(۵). در کشور ایران، در بهمن و اسفند ماه سال ۱۳۹۳ در تعدادی از استان‌های کشور، طغیان بیماری سرخک در بین کارگران افغانی که وضعیت پوشش واکسیناسیون در آن‌ها پایین بود، مشاهده گردید. البته طغیان بیماری سرخک در سال‌های اخیر، پدیده‌ی دور از انتظاری نمی‌باشد و در کشورهای دیگر جهان نیز مشاهده شده است؛ به گونه‌ای که در سال‌های ۲۰۰۷-۰۸ میلادی، در کشورهای قطر، عربستان، کویت و عمان (۶-۷) و در دسامبر ۲۰۱۴ تا فوریه‌ی ۲۰۱۵ در ایالت کالیفورنیا در کشور آمریکا مشاهده شده است^(۸).

بنابراین، باید به بیماری‌بایی و واکسیناسیون و همچنین، کترول ورود و خروج اتباع خارجی به ویژه اتباع کشورهای با وضعیت نامناسب پوشش ایمن‌سازی، توجه بیشتری معطوف گردد و این برنامه‌ها در رأس برنامه‌های سیاست‌گذاران بهداشتی در زمینه‌ی بیماری سرخک و بیماری‌های مشابه قرار گیرد.

مرحله‌ی حذف بیماری سرخک، باید موارد تأیید شده‌ی بیماری، به کمتر از ۱ مورد در ۱۰۰۰۰۰ نفر (به استثنای موارد تأیید شده‌ی وارد) برسد^(۲). عملکرد نظام مراقبت کشور در خصوص بیماری سرخک در سال ۱۳۹۳، شامل جمعیت کشور ۷۷۸۴۱۵۱۱ نفر، تعداد موارد تب و بشورات مورد انتظار سالانه ۱۵۵۷ مورد، تعداد موارد تب و بشورات گزارش شده ۳۷۹۳ مورد، تعداد موارد تب و بشورات با نمونه‌ی سرم تهیه شده ۳۶۴۹ مورد، تعداد کل سرخک تایید شده ۹۹ مورد، شاخص موارد سرخک تایید شده ۱/۲۷ و درصد نمونه‌گیری ۹۶/۲ بوده است.

با در نظر گرفتن موارد انتظار، گزارش ۲ مورد مشکوک به ازای هر ۱۰۰۰۰۰ نفر جمعیت در کشور، نشان می‌دهد بیش از دو برابر مورد انتظار، موارد مشکوک گزارش شده است. در ۹۶/۲ درصد موارد نیز نمونه‌ی سرم تهیه شده است که بالاتر از استاندارد کشوری (تهیه‌ی نمونه از حداقل ۸۰ درصد موارد) می‌باشد. به ازای هر ۱۰۰۰۰۰ نفر جمعیت کشور طی سال ۱۳۹۳، تعداد ۱/۲۷ مورد بیمار تأیید شده مبتلا به سرخک گزارش شده است، که تعدادی از این موارد ابتلا در جمعیت افغانی مهاجر، به ویژه در کارگران افغانی که به صورت غیر قانونی به کشور وارد شده‌اند مشاهده می‌شود.

تحلیل یافته‌های نظام مراقبت بیماری‌ها نشان دهنده‌ی موفقیت چشمگیر نظام سلامت کشور در

ارجاع: خزایی سلمان، صالحی‌نیا حمید، پاکزاد رضا، محمدیان هف高尚ی عبداله. وضعیت نظام مراقبت بیماری سرخک در کشور ایران در سال ۱۳۹۳. مجله دانشکده پزشکی اصفهان - سال ۳۳ / شماره ۳۴۹ / هفته اول آبان ۱۳۹۴ (۳۴۹): ۱۴۸۷-۱۴۹۰

References

1. World Health Organization. Measles [Online]. [cited 2005 Sep 21]; Available from: URL: <http://www.who.int/topics/measles/en/>.
2. Zahraei M, Dadras MN, Sabori A. National guideline for measles surveillance (elimination phase). 2nd ed. Tehran, Iran: Andishmand Publications; 2010. [In Persian].
3. Gouya MM, Tabatabaei SM, Zahraei SM, Ahmadnia H, Ghobbi M. Principle of disease prevention and surveillance. Tehran, Iran: Control Disease Center; 2007. [In Persian].
4. World Health Organization. Report of the Regional Consultation on Measles [Online]. [cited 2009 Aug 25-27]; Available from: URL: www.who.int/immunization/sage/SEARO_Report_consultation_measles.pdf.
5. Takahashi S, Metcalf JE, Ferrari MJ, Moss WJ, Truelove SA, Tatem AJ. Reduced vaccination and the risk of measles and other childhood infections post-Ebola. *Science* 2015; 347(6227): 1240-2.
6. Progress towards reducing measles mortality and eliminating measles, WHO Eastern Mediterranean Region, 1997-2007. *Wkly Epidemiol Rec* 2008; 83(11): 97-104.
7. World Health Organization. The work of WHO in the Eastern Mediterranean Region: Annual report of the Regional Director [Online]. [cited 2007]; Available from: URL: <http://www.emro.who.int/about-who/annual-reports/>
8. Zipprich J, Winter K, Hacker J, Xia D, Watt J, Harriman K. Measles outbreak- California, December 2014-February 2015. *MMWR Morb Mortal Wkly Rep* 2015; 64(6): 153-4.

The Status of Iran Measles Surveillance System in 2014

Salman Khazaei MSc¹, Hamid Salehiniya MSc², Reza Pakzad MSc³,
Abdollah Mohammadian-Hafshejani MSc⁴

Letter to Editor

Abstract

The results showed success of the health system to detect suspected cases of the measles and appropriate sampling from suspected cases that were more than expected. In addition, per every one million population of Iran in 2014, 1.27 of cases of measles were reported; that a numbers of confirmed cases observed in Afghan refugees. Low levels of immunization coverage in eastern neighboring countries and high immigration to Iran, are the main challenge of measles elimination in Iran. The gradual accumulation of susceptible individuals, due to lack of proper vaccination or failure to respond to immunization, may underlie the development of outbreaks of measles in Iran.

Keywords: Measles, Surveillance system, Iran

Citation: Khazaei S, Salehiniya H, Pakzad R, Mohammadian-Hafshejani A. **The Status of Iran Measles Surveillance System in 2014.** J Isfahan Med Sch 2015; 33(349): 1487-90

1- Department of Epidemiology and Biostatistics, School of Public Health, Hamadan University of Medical Sciences, Hamadan, Iran

2- Researcher, Minimally Invasive Surgery Research Center, Iran University of Medical Sciences AND PhD Student, Department of Epidemiology and Biostatistics, School of Public Health, Tehran University of Medical Sciences, Tehran, Iran

3- PhD Student, Department of Epidemiology and Biostatistics, School of Public Health, Tehran University of Medical Sciences, Tehran, Iran

4- Epidemiologist, Department of Social Medicine, School of Medicine, Rafsanjan University of Medical Sciences, Rafsanjan AND PhD Candidate, Department of Epidemiology and Biostatistics, School of Public Health, Tehran University of Medical Sciences, Tehran, Iran

Corresponding Author: Abdollah Mohammadian-Hafshejani MSc, Email: amohamadii1361@gmail.com

errors author should verify references against the original documents. The Reference should provide the following information as stated in the presented models as follows:

- a. **Article:** Rose ME, Huerbin MB, Melick J, Marion DW, Palmer AM, Schiding JK, et al. Regulation of interstitial excitatory amino acid concentrations after cortical contusion injury. *Brain Res.* 2002;935(1-2):40-6.
 - b. **Chapter in a book:** Meltzer PS, Kallioniemi A, Trent JM. Chromosome alterations in human solid tumors. In: Vogelstein B, Kinzler KW, editors. *The genetic basis of human cancer*. New York: McGraw-Hill; 2002. p. 93-113.
 - c. **Book:** Murray PR, Rosenthal KS, Kobayashi GS, Pfaller MA. *Medical microbiology*. 4th ed. St. Louis: Mosby; 2002.
14. **Proof Reading:** A computer prints out is sent to the corresponding author for proof reading before publication in order to avoid any mistakes. Corrections should be marked clearly and sent immediately to the Journal office.
 15. **Abbreviations and symbols:** Use only standard abbreviations. **Avoid using them in the title and abstract.** The full term for which an abbreviation stands should precede its first use in the text unless it is a standard unit of measurement.
 16. The **corresponding author:** Will be supplied with 1 free issue.
 17. **Ethical guidelines:** Ethical considerations must be addressed in the Materials and Methods. Please state that **informed consent** was obtained from all human adult participants and from the parents or legal guardians of minors. Include the name of the appropriate institutional review board that approved the project. Indicate in the text that the maintenance and care of experimental animals complies with National Institutes of Health guidelines for the humane use of laboratory animals, or those of your Institute or agency.
 18. **Conflicts of interest:** Authors must acknowledge and declare any sources of funding and potential conflicting interest, such as receiving funds or fees by, or holding stocks and shares in, an organization that may profit or lose through publication of your paper. Declaring a competing interest will not lead to automatic rejection of the paper, but we would like to be made aware of it.
 19. **Page charges:** There are no charges for publication in this Journal.
 20. **Copyright:** The entire contents of the Journal of Isfahan Medical School are protected under international copyrights. This Journal is for your personal noncommercial use. You may not modify copy, distribute, transmit, display, or publish any materials contained on the Journal without the prior written permission of it or the appropriate copyright owner.
 21. **Peer review process:** All manuscripts are considered to be confidential. They are peer-reviewed by at least 3 anonymous reviewers selected by the Editorial Board. The corresponding author is notified as soon as possible of the editor decision to accept, reject, or require modifications. If the manuscript is completely acceptable according to the criteria set forth in these instructions, it is scheduled for the next available issue.
 22. Journal has entire right for accept or reject any of received manuscripts.
 23. The editors, editorial board, sponsoring organization, and publisher do not accept responsibility for the statements expressed by authors in their contributions.
 24. **Communicating with the Editorial Office:** We encourage you to communicate with the JIMS Editorial Office and to check on the status of a manuscript via journal site: (<http://journals.mui.ac.ir/jims>) only. For more in formations you can contact with JIMS office via E-mail address (jims@med.mui.ac.ir).

INSTRUCTION TO AUTHORS

1. **Aims and Scope:** The Journal of Isfahan Medical School is the official scientific **weekly** publication of the Faculty of Medicine in Isfahan Medical Sciences University.
This Journal accepts Original Papers, Review Articles, Case Reports, Short Communications, Educational Medical Video Clips and Letters to the Editor on all aspects of medicine.
2. **Manuscript Submission is acceptable only via Journal URL: <http://journals.mui.ac.ir/jims>**
Manuscript must be accompanied by a covering letter to the Editor-in-Chief, including title and author(s) name and undertaking that it has not been published or submitted elsewhere. In case the manuscript was earlier submitted to some other Journal and was rejected, the authors must provide full information for proper analysis. Manuscript should be typed in double space of the A-4 size paper with clear margins on both sides. The text should be submitted in Microsoft Word format only. Tables as well as illustrations should be typed and drawn on a separate pages. Do not submit tables as photographs.
The figures should be sent in a format of JPEG or GIF which will produce high quality images in the online edition of the journal. Authors must declare that it is being exclusively contributed to the Journal of Isfahan Medical School.
3. The manuscript should include: **Title page, the Abstract** (in both Farsi and English), **Introduction, Materials & Methods, Results, Discussion, Acknowledgement and References.**
4. **The title page:** The complete title of the manuscript, the name of all the authors with their highest qualifications, the department or institution to which they are attached, address for correspondence with telephone numbers, e-mail, and Fax number.
5. The **Abstract:** All original articles must accompany a structured abstract up to 250 words. It should be structured as **Background, Methods, Results** and **Conclusion** followed by **3 to 5 Keywords**. Keywords will assist indexers in cross indexing the article as they are published with abstract. Use terms from the Medical Subject Headings (MeSH) list of index medicus (<http://www.nlm.nih.gov/mesh/MBrowser.html>). Authors need to be careful that the abstract reflects the content of the article accurately.
6. **Introduction:** This should summarize the purpose and the rationale for the study. It should neither review the subject extensively nor should it have data or conclusions of the study.
7. **Materials & Methods:** This should include exact method or observation or experiment. If an apparatus is used, its manufacturer's name and address should be given in parenthesis. If the method is established, give reference but if the method is new, give enough information so that another author is able to perform it. If a drug is used, its generic name, dose and route of administration must be given. For patients, age, sex with mean age ± standard deviation must be given. Statistical method must be mentioned and specify any general computer program used.
8. **Results:** It must be presented in the form of text, tables and illustrations. The contents of the tables should not be all repeated in the text. Instead, a reference to the table number may be given. Long articles may need sub-headings within some sections (especially the Results and Discussion parts) to clarify their contents.
9. **Discussion:** This should emphasize the present findings and the variations or similarities with other work done in the field by other workers. The detailed data should not be repeated in the discussion again. Emphasize the new and important aspects of the study and the conclusions that follow from them. It must be mentioned whether the hypothesis mentioned in the article is true, false or no conclusions can be derived.
10. **Acknowledgement:** All contributors who do not meet the criteria for authorship should be covered in the acknowledgement section. It should include persons who provided technical help, writing assistance and departmental head who only provided general support. Financial and material support should also be acknowledged.
11. **Tables:** In limited numbers should be submitted with the **captions placed above**. Do not submit tables as photograph. Place explanatory matters in footnotes, not in the heading.
12. **Figures:** Should be in limited numbers, with high quality art work and mounted on separate pages. The captions **should be placed below**. The same data should not be presented in tables, figures and text, simultaneously.
13. **References:** Should be as **Vancouver style**. All manuscripts should be accompanied by relevant references. The author should ensure reference to locally published studies by doing proper literature search. It may not be possible for the editor and reviewers to check the accuracy of all reference citations. To minimize such

Editorial Board (In alphabetical order)

1. **Mojtaba Abtahi** MD, Associate Professor of Otolaryngology, Isfahan University of Medical Sciences, Isfahan, Iran
2. **Khosrow Adeli** PhD, Professor of Clinical Biochemistry, University of Toronto, Toronto, Canada
3. **Mohammad Esmaeil Akbari** MD, Professor of Thoracic Surgery, Tehran University of Medical Sciences, Tehran, Iran
4. **Reza Amin** MD, Professor of Pediatrics, Shiraz University of Medical Sciences, Shiraz, Iran
5. **Babak Amra** MD, Professor of Pulmonology, Isfahan University of Medical Sciences, Isfahan, Iran
6. **Saeid Andalib Jortani** MD, Professor of Pathology, Leuis Weil University, USA
7. **Gholam Reza Askari** MD, PhD of Nutrition, Isfahan University of Medical Sciences, Isfahan, Iran
8. **Reza Bagherian-Sararoudi** PhD, Assistant Professor of Psychiatry, Isfahan University of Medical Sciences, Isfahan, Iran
9. **Majid Barekatain** MD, Professor of Psychiatry, Isfahan University of Medical Sciences, Isfahan, Iran
10. **Ken Bassett** MD, Professor of Dermatology, Dermatology and Leshmaniosis Research Center, Canada
11. **Ahmad Chitsaz** MD, Associate Professor of Neurology, Isfahan University of Medical Sciences, Isfahan, Iran
12. **Afsoon Emami** MD, Associate Professor of Nephrology, Isfahan University of Medical Sciences, Isfahan, Iran
13. **Ali Reza Emami** MD, Associate Professor of Infectious Diseases, Isfahan University of Medical Sciences, Isfahan, Iran
14. **Shahin Emami** Biochemistry and Endocrinology, Saint Antoine Hospital, France
15. **Ebrahim Esfandiary** MD, PhD, Professor of Medical Anatomy, Isfahan University of Medical Sciences, Isfahan, Iran
16. **Faramarz Esmaeil beigi** MD, Professor of Internal Medicine, School of Medicine, USA
17. **Ziba Farajzadegan** MD, Associate Professor of Community Medicine, Isfahan University of Medical Sciences, Isfahan, Iran
18. **Hamid Fesharaki** Associate Professor of Ophthalmology, Isfahan University of Medical Sciences, Isfahan, Iran
19. **Marjane Foladi** PhD of Nursing, University of Flourida, USA
20. **Aziz Gahari** MD, Professor of Dermatology, Dermatology and Leshmaniosis Research Center, Canada
21. **Ali Gheisari** MD, Professor of Cardiovascular Surgery, California, USA
22. **Jafar Golshahi** MD, Associate Professor of Cardiology, Isfahan University of Medical Sciences, Isfahan, Iran
23. **Ali Mohammad Hanjani** MD, Professor of Cardiology, Shiraz University of Medical Sciences, Shiraz, Iran
24. **Mina Hasanzadeh** MD, NeuroImmunology, School of Pharmacy, USA
25. **Saeid Morteza Heidari** MD, Associate Professor of Anesthesiology, Isfahan University of Medical Sciences, Isfahan, Iran
26. **Mansour karamooz** MD, Professor of Urology, California, USA
27. **Roya Kelishadi** MD, Professor of Pediatrics, Isfahan University of Medical Sciences, Isfahan, Iran
28. **Behnaz Khani** MD, Associate Professor of Obstetrics & Gynecology, Isfahan University of Medical Sciences, Isfahan, Iran
29. **Majid Khazaie** MD, PhD, Associate Professor of Medical Physiology, Isfahan University of Medical Sciences, Isfahan, Iran
30. **Parvin Mahzooni** MD, Associate Professor of Pathology, Isfahan University of Medical Sciences, Isfahan, Iran
31. **Majid Maleki** MD, Professor of Cardiology, Shahid Beheshti University of Medical Sciences, Tehran, Iran
32. **Mohammad Mardani** MD, Associate Professor of Medical Anatomy, Isfahan University of Medical Sciences, Isfahan, Iran
33. **Atiye Moghisi** MD, Professor of Endocrinology, Endocrine and Metabolism Research Center, USA
34. **Mehdi Modares** MD, Professor of Ophthalmology, Tehran University of Medical Sciences, Tehran, Iran
35. **Hoshang Moein** MD, Professor of Neurosurgery, Isfahan University of Medical Sciences, Isfahan, Iran
36. **Fereydoun Nouhi** MD, Professor of Cardiology, Tehran University of Medical Sciences, Tehran, Iran
37. **Mohammadreza Nourbakhsh** Associate Professor of Physiotherapy, USA
38. **Farzin Pourfarzad** Department of Cell Biology and Genetics, Erasmus University MC Rotterdam, The Netherlands
39. **Masoud Pourmoghadass** MD, Professor of Cardiology, Isfahan University of Medical Sciences, Isfahan, Iran
40. **Hassan Razmjoo** MD, Professor of Ophthalmology, Isfahan University of Medical Sciences, Isfahan, Iran
41. **Mohammad Reza Safavi** MD, Assistant Professor of Anesthesiology, Isfahan University of Medical Sciences, Isfahan, Iran
42. **Reza Rouzbahani** MD, MPH, Assistant Professor of Community Medicine, Isfahan University of Medical Sciences, Isfahan, Iran
43. **Mansour Sholevar** MD, Associate Professor of Cardiology, Isfahan University of Medical Sciences, Isfahan, Iran
44. **Masoud Soheilian.** MD, Professor of Ophthalmology, Shahid Beheshti University of Medical Sciences, Tehran, Iran



JOURNAL OF ISFAHAN MEDICAL SCHOOL

Vol. 33, No. 349, 1st Week, November 2015

Isfahan University of Medical Sciences

Responsible: Mansour Sholehvar MD

Emerita Editor-in-Chief: Roya Kelishadi MD

Editor-in-Chief: Majid Barekatain MD

Associate Editor: Reza Rouzbahani MD, MPH

Published by:

Isfahan University of Medical Sciences
E-mail: publications@mui.ac.ir

Office:

P.O. Box 81744-176, Isfahan, I.R. IRAN
Telefax: +98 31 37922291
E-mail: jims@med.mui.ac.ir
Website: <http://www.journals.mui.ac.ir/jims>

Office Secretary: Golnaz Rajabi

Copy edit, Layout edit, Design and Print:

Farzanegan Radandish Co.
P.O. Box 81465-1798, Isfahan, I.R. IRAN
Telefax: +98 31 36686302
E-mail: esfahanfarzanegan@yahoo.com
f.radandish@gmail.com
www.farzaneganco.ir
Circulation: 500

This journal is indexed in the following international indexers

- Scopus
- Chemical Abstracts
- Islamic World Science Citation Center (ISC)
- Academic Search Complete EBSCO Publishing databases
- WHO/EMRO/Index Medicus
- Google Scholar
- Index Copernicus
- Directory of Open Access Journal (DOAJ)
- Index Academicus
- Scientific Information Database (www.sid.ir)
- www.iranmedex.com

The online version is available in; IUMS website (www.journals.mui.ac.ir/jims), Iran Publications database (www.magiran.com), Scientific Information Database website (www.sid.ir) and in Health Researchers website (www.iranmedex.com).

Copyright: All rights reserved, no part may be reproduced without the prior permission of the publisher.